

## برقی ادوار

خالد خان یوسفزئی  
کامیٹ انسٹیٹیوٹ آف انفارمیشن ٹیکنالوجی، اسلام آباد  
khalidyousafzai@comsats.edu.pk



# عنوان

1	1	بنیاد
1	1.1	برقی بار، برقی رو اور برقی دباؤ . . . . .
6	1.2	قانون اوہم . . . . .
8	1.3	توانائی اور طاقت . . . . .
15	1.4	برقی پڑے . . . . .
15	1.4.1	غیر تابع منبع . . . . .
17	1.4.2	تابع منبع . . . . .
39	2	مزا جتنی ادوار
39	2.1	قانون اوہم . . . . .
47	2.2	قوانین کرخوف . . . . .
63	2.3	سلسلہ وار جڑے پڑوں میں رو . . . . .
64	2.4	تقسیم دباؤ . . . . .
67	2.5	متعدد سلسلہ وار مزاحمتوں کا مساوی مزاحمت . . . . .
70	2.6	سلسلہ وار متعدد منبع دباؤ اور مزاحمت . . . . .
71	2.7	متوازی جڑے مزاحمت پر یکساں دباؤ پایا جاتا ہے . . . . .
73	2.8	تقسیم رو اور متعدد متوازی مزاحمتوں کا مساوی مزاحمت . . . . .
80	2.9	سلسلہ وار اور متوازی مزاحمت . . . . .
85	2.10	تخصیص مزاحمت . . . . .
88	2.11	سلسلہ وار اور متوازی مزاحمتوں کے ادوار کا حل . . . . .
96	2.12	ستارہ-تکون تبادلہ . . . . .
103	2.13	تابع منبع استعمال کرنے والے ادوار . . . . .
127	3	ترکیب جوڑ اور دائری ترکیب
127	3.1	تجزیہ جوڑ . . . . .
130	3.2	غیر تابع منبع رو استعمال کرنے والے ادوار . . . . .
143	3.3	تابع منبع رو استعمال کرنے والے ادوار . . . . .
149	3.4	غیر تابع منبع دباؤ استعمال کرنے والے ادوار . . . . .

158 . . . . .	تابع منبع دباو استعمال کرنے والے ادوار . . . . .	3.5
165 . . . . .	دائری تجزیہ . . . . .	3.6
166 . . . . .	غیر تابع منبع استعمال کرنے والے ادوار . . . . .	3.7
174 . . . . .	غیر تابع منبع رواستعمال کرنے والے ادوار . . . . .	3.8
180 . . . . .	تابع منبع استعمال کرنے والے ادوار . . . . .	3.9
184 . . . . .	دائری ترکیب اور ترکیب جوڑ کا موازنہ . . . . .	3.10
203	حسابی ایپلیفائر	4
213 . . . . .	کامل حسابی ایپلیفائر . . . . .	4.1
213 . . . . .	منفی ایپلیفائر . . . . .	4.2
216 . . . . .	مثبت ایپلیفائر . . . . .	4.3
218 . . . . .	مستقام کار . . . . .	4.4
218 . . . . .	منفی کار . . . . .	4.5
220 . . . . .	جمع کار . . . . .	4.6
223 . . . . .	متوازن اور غیر متوازن صورت . . . . .	4.7
227 . . . . .	موازنہ کار . . . . .	4.8
227 . . . . .	آلاتی ایپلیفائر . . . . .	4.9
241	مسئلے	5
241 . . . . .	مساوی دور . . . . .	5.1
241 . . . . .	مسئلہ خطیت . . . . .	5.2
245 . . . . .	مسئلہ نفاذ . . . . .	5.3
255 . . . . .	مساوی ادوار . . . . .	5.4
260 . . . . .	مسئلہ تھون، مسئلہ نارٹن اور مسئلہ متبادلہ منبع . . . . .	5.5
279 . . . . .	تابع منبع استعمال کرنے والے ادوار . . . . .	5.6
285 . . . . .	تابع منبع اور غیر تابع منبع دونوں استعمال کرنے والے ادوار . . . . .	5.7
293 . . . . .	زیادہ سے زیادہ طاقت منتقل کرنے کا مسئلہ . . . . .	5.8
313	برق گیر اور امالہ گیر	6
313 . . . . .	برق گیر . . . . .	6.1
327 . . . . .	امالہ گیر . . . . .	6.2
336 . . . . .	برق گیر اور امالہ گیر کے خصوصیات . . . . .	6.3
339 . . . . .	سلسلہ وار جڑے برق گیر . . . . .	6.4
343 . . . . .	متوازی جڑے برق گیر . . . . .	6.5
347 . . . . .	سلسلہ وار امالہ گیر . . . . .	6.6
349 . . . . .	متوازی امالہ گیر . . . . .	6.7
353 . . . . .	حسابی ایپلیفائر کے RC ادوار . . . . .	6.8
354 . . . . .	تفرق کار . . . . .	6.9
371	عارضی رد عمل	7
371 . . . . .	تعارف . . . . .	7.1
371 . . . . .	ایک درجی ادوار . . . . .	7.2

373	7.2.1 رد عمل کی عمومی مساوات
399	7.3 دھڑکن
406	7.4 دو درجی ادوار
451	8 تجزیہ برقرار حال
451	8.1 مخلوط اعداد
456	8.2 سائن نمائندگی
465	8.3 سائن نما اور مخلوط جبری تفاعل
473	8.4 دوری سمتیہ
478	8.5 مزاحمت، امالہ گیر اور برقی گیر کے انفرادی دوری سمتیہ تعلق
488	8.6 برقی رکاوٹ اور برقی فراوانی
501	8.7 دوری سمتیہ کے اشکال
511	8.8 کرخوف مساوات
516	8.9 تجزیاتی تراکیب
551	9 برقرار برقی طاقت
551	9.1 لمبائی طاقت
554	9.2 اوسط طاقت
561	9.3 زیادہ سے زیادہ اوسط طاقت منتقل کرنے کا مسئلہ
571	9.4 موثر قیمت
580	9.5 جزو طاقت
584	9.6 مخلوط طاقت
592	9.7 جزو طاقت کی درستی
597	9.8 برقی چھٹکا
599	9.9 نم زمین
600	9.10 ایک دور کا نظام
605	9.11 حفاظتی تدابیر
617	10 مقناطیسی جڑے ادوار
617	10.1 مشترکہ امالہ
635	10.2 مشترکہ امالہ میں توانائی کا ذخیرہ
641	10.3 کامل ٹرانسفارمر
675	11 تین دوری نظام
675	11.1 تین دوری ستارہ دیاو
681	11.2 ستارہ ستارہ (YY) جوڑ
689	11.3 تین دوری ٹیکونی (Δ) دیاو
694	11.4 ٹیکونی بوجھ
699	11.5 طاقت کے کلیات
708	11.6 جزو طاقت کی درستی

719	12	تعددی رد عمل
730	12.1	جال
732	12.2	صفر اور قطب
735	12.3	سائن نما تعددی تجزیہ
735	12.3.1	بوڈا خطوط
756	12.4	گنگی ادوار
790	12.5	جھلنی
803	13	لاپلاس بدل
803	13.1	تعریف
804	13.2	تفاعل یکنائی
811	13.3	لاپلاس بدل کی جوڑیاں
815	13.4	خواص البدل
820	13.5	الٹ لاپلاس بدل کا حصول
821	13.5.1	جزوی کسری پھیلاؤ
832	13.6	تکمل الجھاؤ
836	13.7	مسئلہ ابتدائی قیمت اور مسئلہ اختتامی قیمت
841	14	ادوار کا حل بذریعہ لاپلاس بدل
841	14.1	ادوار کا حل
843	14.2	پرزوں کے مساوی لاپلاسی ادوار
847	14.3	تجزیاتی ترکیب
867	14.4	تبادلہ تفاعل جال
879	14.5	ترسیم قطبین و صفر اور بوڈا خط
881	14.6	برقرار حال رد عمل
891	15	فوریز تجزیہ
917	15.1	تشاکل تفاعل
917	15.1.1	جفت تفاعل تشاکل
919	15.1.2	طاق تفاعل تشاکل
921	15.2	منتقلی وقت
923	15.3	تخلیقی موج
924	15.4	تعددی طیف
929	15.5	برقرار حال برقی جال
929	15.5.1	اوسط طاقت
934	15.6	فوریز بدل
941	15.7	فوریز بدل کے خواص
944	15.8	مسئلہ پارسیوال
957	16	چار سر ادوار کے ریاضی نمونے

962 . . . . .	رکاوٹی نمونہ	16.1
967 . . . . .	دوغلانی نمونہ	16.2
969 . . . . .	ترسیلی نمونہ	16.3
971 . . . . .	چار سرا دوار کے باہمی جوڑ	16.4





## باب 12

### تعددی رد عمل

گزشتہ بابوں میں ہم RLC ادوار کو حل کر چکے ہیں جہاں تعدد غیر متغیر تھی۔ اس باب میں تعدد تبدیل کرتے ہوئے ادوار کا رد عمل بالمقابل تعدد دیکھا جائے گا۔ آئیں شروع میں سادہ ترین پرزوں کا تعددی رد عمل دیکھیں۔ سادہ ترین پرزے مزاحمت، امالہ اور برق گیر ہیں۔ تعددی رد عمل دیکھتے ہوئے سائن نما اشارات زیر استعمال لائے جائیں گے۔

شکل 12.1- الف میں مزاحمت دکھایا گیا ہے۔ مزاحمت کی رکاوٹ درج ذیل ہے۔

$$(12.1) \quad Z_R = R/0^\circ$$

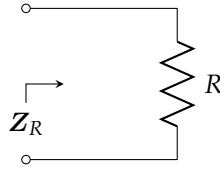
یوں مزاحمت کی رکاوٹ پر تعدد  $\omega$  کا کوئی اثر نہیں پایا جاتا۔ مزاحمت کے رکاوٹ کی حتمی قیمت  $|Z_R|$  تمام تعدد پر R کے برابر ہے جبکہ اس کا زاویائی ہٹاؤ  $\angle Z_R$  تمام تعدد پر صفر درجے رہتا ہے۔ یہ حقائق شکل 12.1-ب اور شکل 12.1-پ میں دکھائے گئے ہیں۔

امالہ گیر کو شکل 12.2- الف میں دکھایا گیا ہے۔ امالہ گیر کی رکاوٹ درج ذیل ہے۔

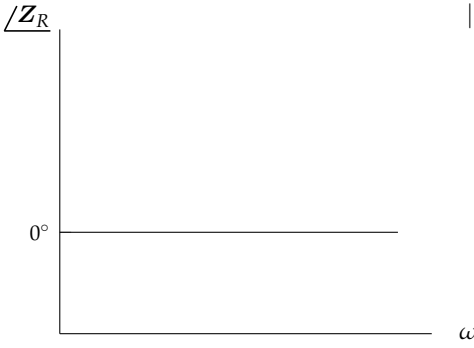
$$(12.2) \quad Z_L = j\omega L = \omega L/90^\circ$$

اس طرح امالہ گیر کے رکاوٹ کی حتمی قیمت تعدد بڑھانے سے بڑھتی ہے۔ رکاوٹ کی مقدار کا تعدد کے ساتھ راست تنابلی رشتہ ہے۔

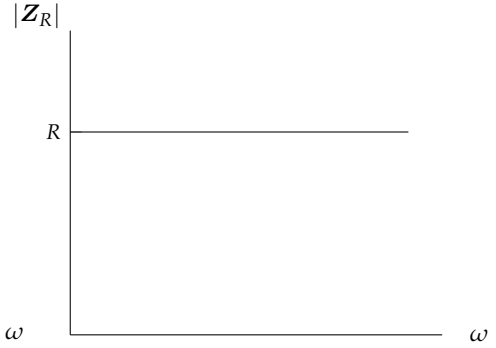
$$(12.3) \quad |Z_L| = \omega L$$



(الف) مزاحمت کی رکاوٹ۔

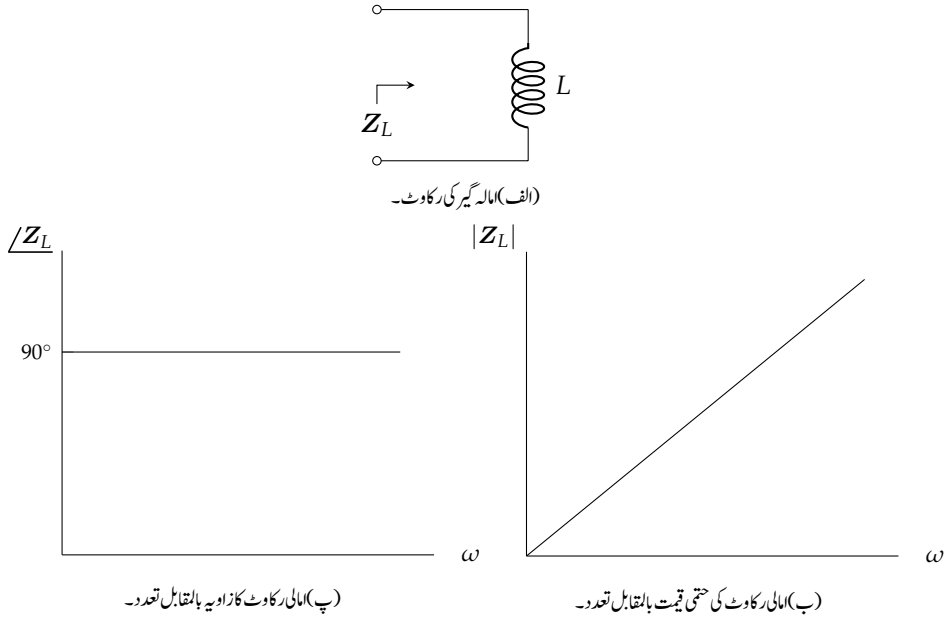


(پ) مزاحمتی رکاوٹ کا زاویہ بالمقابل تعدد۔



(ب) مزاحمتی رکاوٹ کی حتمی قیمت بالمقابل تعدد۔

شکل 12.1: مزاحمتی رکاوٹ کا تعدد رد عمل۔



شکل 12.2: امالی رکاوٹ کا تعدد رد عمل۔

صفر تعدد پر امالہ گیر کی رکاوٹ  $0 \Omega$  ہو جاتی ہے اور یہ قصر دور خاصیت رکھتا ہے جبکہ لامتناہی تعدد پر رکاوٹ کی مقدار لامتناہی ہو جاتی ہے اور امالہ گیر بطور کھلا دور عمل کرتا ہے۔ امالی رکاوٹ کا زاویہ تمام تعدد پر  $90^\circ$  رہتا ہے۔

$$\angle Z_L = 90^\circ \quad (12.4)$$

شکل 12.2-ب اور شکل 12.2-پ میں ان حقائق کو دکھایا گیا ہے۔

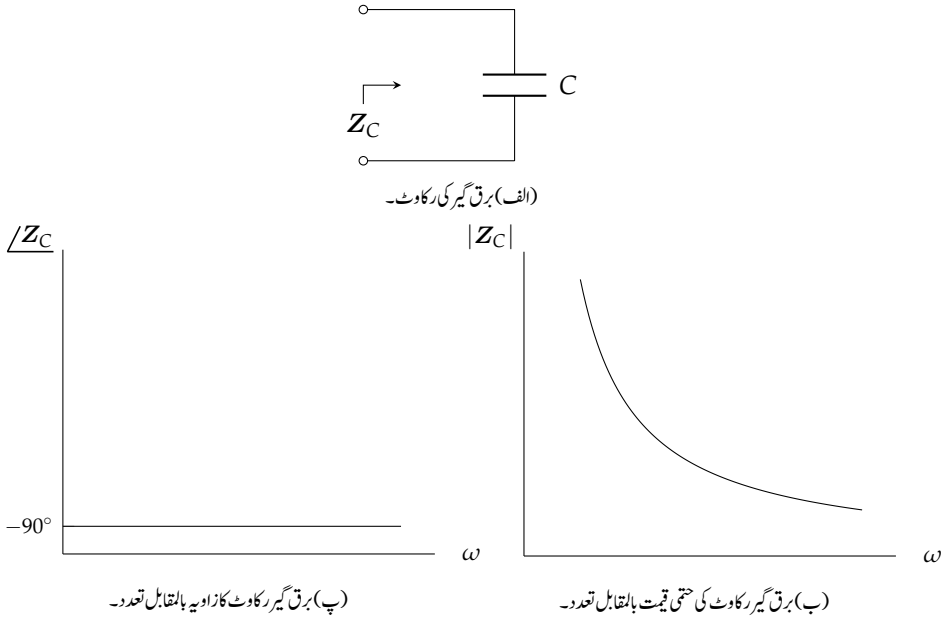
برق گیر کو شکل 12.3-الف میں دکھایا گیا ہے۔ برق گیر کی رکاوٹ درج ذیل ہے۔

$$Z_C = \frac{1}{j\omega C} = \frac{1}{\omega C} \angle -90^\circ \quad (12.5)$$

اس طرح برق گیر کے رکاوٹ کی مقدار کا تعدد کے ساتھ بالعکس متناسب کا رشتہ ہے جبکہ اس کا زاویہ تمام تعدد پر  $-90^\circ$  رہتا ہے۔

$$|Z_C| = \frac{1}{\omega C} \quad (12.6)$$

$$\angle Z_C = -90^\circ \quad (12.7)$$



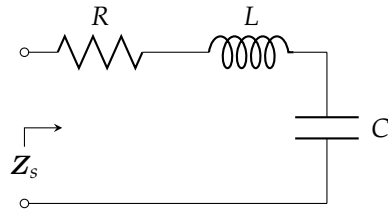
شکل 12.3: برق گیر رکاوٹ کا تعدد رد عمل۔

ان تعلقات کو شکل 12.3-ب اور شکل 12.3-پ میں دکھایا گیا ہے۔ صفر تعدد پر برق گیر کی رکاوٹ لامتناہی ہو جاتی ہے لہذا یہ بطور کھلا دور عمل کرتا ہے جبکہ لامتناہی تعدد پر رکاوٹ کی مقدار صفر ہو جاتی ہے اور یہ قصر دور کردار ادا کرتا ہے۔ سادہ ترین پرزوں کو نپٹانے کے بعد ذرہ مشکل ادوار دیکھتے ہیں۔ شکل میں مزاحمت، امالہ گیر اور برق گیر سلسلہ وار جڑے دکھائے گئے ہیں۔ ان کی کل رکاوٹ  $Z_s$  لکھتے ہیں

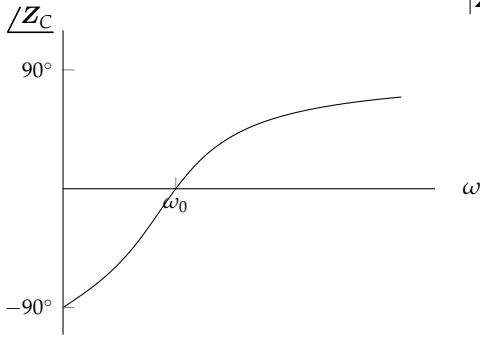
$$\begin{aligned} Z_s &= Z_R + Z_L + Z_C \\ &= R + j\omega L + \frac{1}{j\omega C} \\ &= R + j \left( \omega L - \frac{1}{\omega C} \right) \end{aligned}$$

اس تفاعل کو شکل 12.4-ب اور شکل 12.4-پ میں دکھایا گیا ہے۔

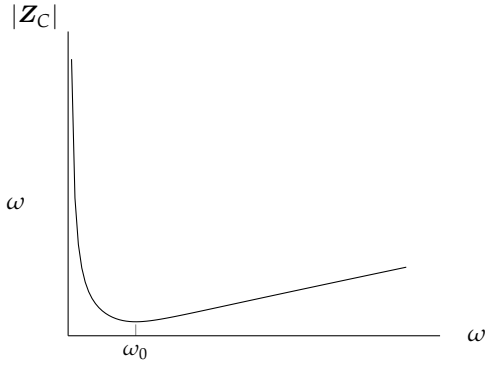
مثال 12.1: شکل 12.5-الف میں مزاحمت پر دبا و حاصل کریں۔ اس کے مقدار بالمقابل تعدد اور زاویہ بالمقابل تعدد کے



(الف) سلسلہ وار دور۔



(پ) زاویہ بالمقابل تعدد۔



(ب) مقدار بالمقابل تعدد۔

شکل 12.4: سلسلہ وار جڑے مزاحمت، امالہ گیر اور برق گیر کا تعدد رد عمل۔

خط کھینچیں۔

حل: دور سے مزاحمت کا دباؤ درج ذیل لکھا جاسکتا ہے

$$\hat{V}_R = \frac{(4)(20/0^\circ)}{4 + j(2\pi f 0.15 - \frac{1}{2\pi f 0.004})}$$

جو مخلوط تفاعل ہے۔ اس کی حتمی مقدار  $\hat{V}_R$  بالمقابل تعدد  $f$  کو شکل-ب میں دکھایا گیا ہے۔ اس ترسیم میں دونوں محور کی پیمائش لاگ<sup>1</sup> میں ہے۔ اس طرز کے ترسیم کو لاگ لاگ<sup>2</sup> ترسیم کہا جاتا ہے۔ مقدار بالمقابل تعدد کے خط عموماً لاگ لاگ محور پر دکھائے جاتے ہیں۔ زاویہ دباؤ  $\angle \hat{V}_R$  بالمقابل تعدد کو شکل-پ میں نیم لاگ<sup>3</sup> محور پر دکھایا گیا ہے۔ کم تعدد پر دباؤ کا زاویہ  $+90^\circ$  جبکہ بلند تعدد پر زاویہ  $-90^\circ$  ہے۔

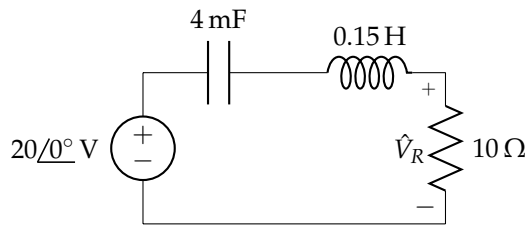
یہاں لاگ لاگ اور نیم لاگ محور پر قیمتیں پڑھنا سیکھ لیں چونکہ اس باب میں انہیں کا استعمال ہو گا۔ یوں شکل 12.5-ب میں حتمی مقدار کی چوٹی  $10^1$  یعنی دس ہرٹز پر پائی جاتی ہے۔ یہ چوٹی  $10^1$  یعنی دس وولٹ کو ظاہر کرتی ہے۔ اسی طرح  $10^2$  Hz یعنی سو ہرٹز پر دباؤ تقریباً  $1.6$  V ہے۔

سمعی<sup>4</sup> اشارات کو عددی صورت<sup>5</sup> میں تبدیل کرتے ہوئے کمپیوٹر میں ذخیرہ کیا جاتا ہے۔ انہیں کو دوبارہ مماثل صورت<sup>6</sup> میں تبدیل کرتے ہوئے سنا جاسکتا ہے۔ آئیں ان اشارات پر ایک مثال دیکھیں۔

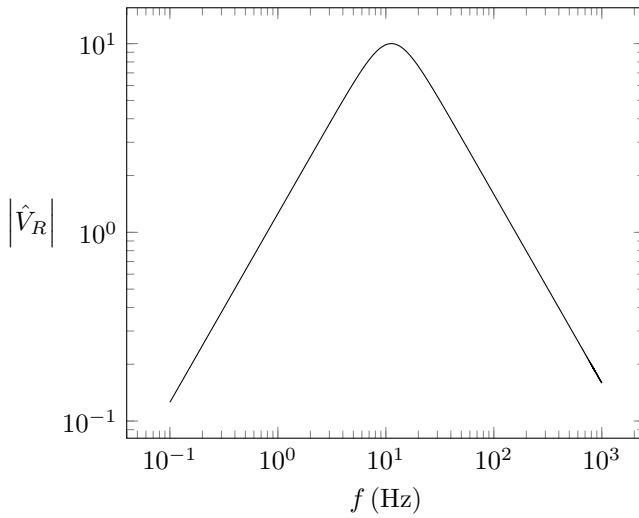
کمپیوٹر سے حاصل موسیقی کے مماثل اشارات کی چوٹی  $1.5$  V ہے۔ ہم چاہتے ہیں کہ سمعی دباؤ ایمپلیفائر<sup>7</sup> استعمال کرتے ہوئے  $8 \Omega$  کے سپیکر<sup>8</sup> کو  $10$  W طاقت فراہم کی جائے۔ ان حقائق سے ایمپلیفائر کے داخلی مماثل اشارہ کی موثر قیمت حاصل کرتے ہیں۔

$$v_m = \frac{1.5}{\sqrt{2}} = 1.061 \text{ V rms}$$

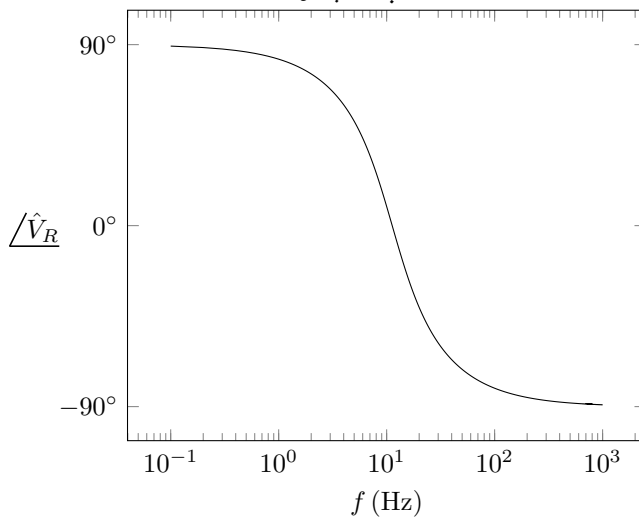
- log<sup>1</sup>
- log-log<sup>2</sup>
- semilog<sup>3</sup>
- audio<sup>4</sup>
- digital form<sup>5</sup>
- analog form<sup>6</sup>
- voltage amplifier<sup>7</sup>
- loud speaker<sup>8</sup>



(الف)



(ب) مقدار بالمقابل تعدد کا خط۔



(پ) زاویہ بالمقابل تعدد کا خط۔

شکل 12.5: مثال 12.1 کا دور۔

طاقت کے لیے  $P = \frac{V_{rms}^2}{R}$  سے آٹھ اوہم کے سپیکر کو دس واٹ طاقت کے لئے درکار موثر دباؤ حاصل کرتے ہیں۔

$$v_0 = \sqrt{(10)(8)} = 8.944 \text{ V rms}$$

یوں ایمپلیفائر کی درکار افزائش دباؤ درج ذیل ہے۔

$$A_v = \frac{v_0}{v_m} = \frac{8.944}{1.061} = 8.43 \text{ V V}^{-1}$$

شکل 12.6- الف میں ایمپلیفائر اور سپیکر دکھائے گئے ہیں جہاں  $v_m$  کمپیوٹر سے حاصل ممال سمعی اشارہ ہے اور  $A_v = 10.53 \text{ V V}^{-1}$  - انسان 20 Hz تا 20 kHz کے سمعی اشارات سن سکتا ہے لہذا ہمارے ایمپلیفائر کو اس تعددی پٹی کے اشارات کا حیطہ بڑھانا ہوگا۔ حیطہ بڑھاتے ہوئے اصل آواز کی خاصیت تبدیل نہیں ہونی چاہیے۔ اگر پوری تعددی پٹی پر ایمپلیفائر کی افزائش کی قیمت یکساں ہو تب آواز کی خاصیت برقرار رہے گی۔ یوں ہم چاہیں گے 20 Hz تا 20 kHz پر ایمپلیفائر کی افزائش  $8.43 \text{ V V}^{-1}$  رہے۔ ایمپلیفائر کے افزائش بالمتقابل تعددی خط کو شکل-پ میں دکھایا گیا ہے۔

برق گیر کی رکاوٹ  $Z_C = \frac{1}{j\omega C}$  لکھی جاتی ہے جس میں  $j\omega = s$  پر کرتے ہوئے  $Z_C = \frac{1}{sC}$  لکھا جاسکتا ہے۔ ایسا ہی کرتے ہوئے ایمپلیفائر کو دوبارہ شکل-پ میں دکھایا گیا ہے۔ آپ میں سے کچھ طلبہ  $s$  کو پہچان گئے ہوں گے۔ یہ لاپلاس بدل<sup>10</sup> کا متغیر ہے۔

آئیں شکل-ب کو حل کریں۔ داخلی جانب بالائی جوڑ پر کر خوف مساوات رو لکھتے ہیں

$$\frac{v_i - v_m}{R_m} + sC_i v_i + \frac{v_i}{R_i} = 0$$

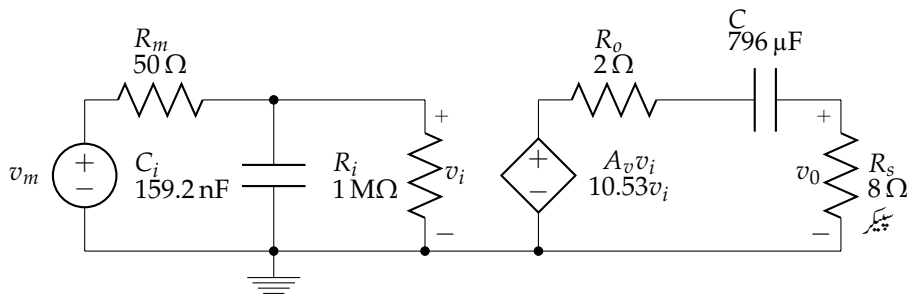
جس کو درج ذیل لکھا جاسکتا ہے۔

$$v_i \left( \frac{1}{R_m} + sC_i + \frac{1}{R_i} \right) = \frac{v_m}{R_m}$$

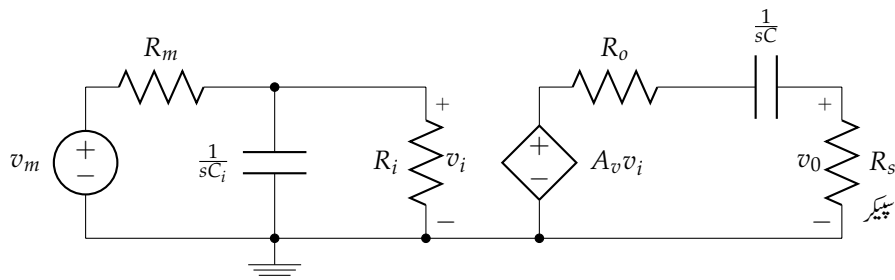
اس میں قوسین کے اندر مزاحمتوں کو قریب قریب لکھتے ہوئے  $v_i$  کے لئے حل کرتے ہیں۔

$$v_i = \frac{v_m}{R_m \left( \frac{1}{R_m} + \frac{1}{R_i} + sC_i \right)}$$

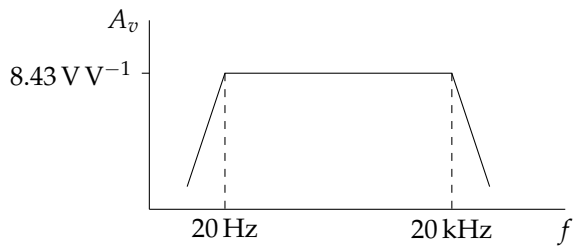




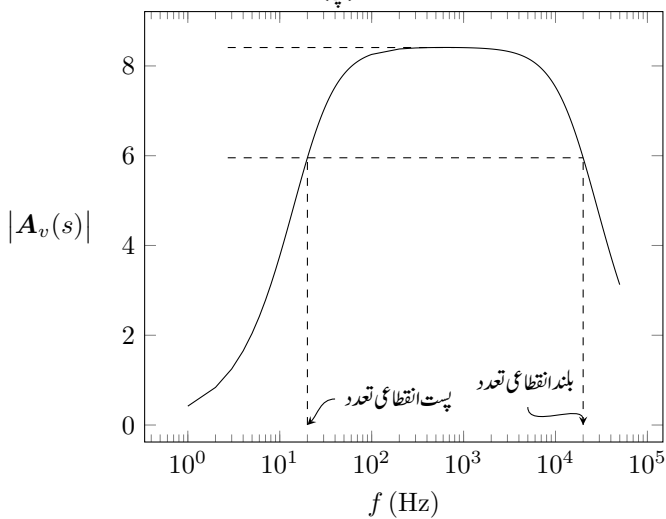
(الف)



(ب)



(پ)



(ت) ایسیپلیٹار کی افزائش بالمقابل تعددی خط۔

شکل 12.6: ایسیپلیٹار اور اس کی افزائش بالمقابل تعددی خط۔

شکل 12.6-ب کے دائیں جانب تقسیم دباؤ کے کلیے سے  $v_0$  لکھتے ہیں۔

$$v_0 = \frac{A_v v_i R_s}{R_o + R_s + \frac{1}{sC}}$$

اس میں  $v_i$  کی قیمت پر کرتے ہیں

$$\begin{aligned} v_0 &= \left( \frac{A_v R_s}{R_o + R_s + \frac{1}{sC}} \right) \frac{v_m}{R_m \left( \frac{1}{R_m} + \frac{1}{R_i} + sC_i \right)} \\ &= \left[ \frac{sC R_s A_v}{1 + sC(R_o + R_s)} \right] \frac{v_m}{R_m \left( \frac{1}{R_m} + \frac{1}{R_i} \right) \left( 1 + \frac{sC_i}{\frac{1}{R_m} + \frac{1}{R_i}} \right)} \\ &= \frac{R_s A_v v_m}{R_m \left( \frac{1}{R_m} + \frac{1}{R_i} \right)} \left[ \frac{sC}{1 + sC(R_o + R_s)} \right] \frac{1}{\left( 1 + \frac{sC_i}{\frac{1}{R_m} + \frac{1}{R_i}} \right)} \end{aligned}$$

جہاں دوسری قدم پر دائیں بچی توسین سے  $\frac{1}{R_m} + \frac{1}{R_i}$  باہر نکالا گیا اور تیسری قدم پر اسی کو پہلی توسین کا حصہ بنایا گیا۔ اس مساوات میں

$$\begin{aligned} \omega_{p1} &= \frac{1}{C(R_o + R_s)} \\ \omega_{p2} &= \frac{1}{C_i} \left( \frac{1}{R_m} + \frac{1}{R_i} \right) \end{aligned}$$

لکھتے ہوئے درج ذیل صاف ستھرا مساوات حاصل ہوتا ہے جہاں  $\omega_{p1}$  اور  $\omega_{p2}$  مساوات کے قطب<sup>11</sup> کہلاتے ہیں اور انہیں تعدد کی اکائی یعنی ہرٹز Hz یا ریڈین فی سیکنڈ  $\text{rad s}^{-1}$  میں ناپا جاتا ہے۔

$$(12.8) \quad A_v(s) = \frac{v_0}{v_m} = \frac{R_s A_v}{R_m \left( \frac{1}{R_m} + \frac{1}{R_i} \right)} \frac{sC}{\left( 1 + \frac{s}{\omega_{p1}} \right) \left( 1 + \frac{s}{\omega_{p2}} \right)}$$

شکل-الف میں دی گئی مزاحمتوں اور برق گیروں کی قیمتیں استعمال کرتے ہوئے درج ذیل ملتا ہے۔

$$\begin{aligned}\omega_{p1} &= \frac{1}{796 \times 10^{-6}(2+8)} = 125.63 \text{ rad s}^{-1} \\ \omega_{p2} &= \frac{1}{159.2 \times 10^{-9} \left( \frac{1}{50} + \frac{1}{1000000} \right)} = 125.634 \text{ krad s}^{-1} \\ \frac{R_s A_v}{R_m \left( \frac{1}{R_m} + \frac{1}{R_i} \right)} &= \frac{8 \times 10.53}{50 \left( \frac{1}{50} + \frac{1}{1000000} \right)} \approx 84.2\end{aligned}$$

یوں درج ذیل لکھا جاسکتا ہے۔

$$(12.9) \quad A_v(s) = 84.2 \frac{sC}{\left(1 + \frac{s}{125.63}\right) \left(1 + \frac{s}{125634}\right)}$$

آئیں اس میں واپس  $s = j\omega = j2\pi f$  پر کرتے ہیں۔

$$\begin{aligned}(12.10) \quad A_v(s) &= 84.2 \frac{j2\pi f \times 796 \times 10^{-6}}{\left(1 + \frac{j2\pi f}{125.63}\right) \left(1 + \frac{j2\pi f}{125634}\right)} \\ &= \frac{j0.421f}{\left(1 + \frac{jf}{20}\right) \left(1 + \frac{jf}{20000}\right)}\end{aligned}$$

اس کے حتمی قیمت  $|A_v(s)|$  بالمقابل تعدد  $f$  کو شکل 12.6-ت میں دکھایا گیا ہے۔

$$|A_v(s)| = \frac{0.421f}{\sqrt{1 + \left(\frac{f}{20}\right)^2} \sqrt{1 + \left(\frac{f}{20000}\right)^2}}$$

شکل-ب میں 20 Hz کو پست انقطاعی تعدد<sup>12</sup> اور 20 kHz کو بلند انقطاعی تعدد<sup>13</sup> کہتے ہیں۔ انہیں خط کے کونے کی تعدد<sup>14</sup> بھی کہا جاتا ہے۔

شکل 12.6-ت میں انقطاعی تعدد کے مابین درمیانی تعدد خطے<sup>15</sup> میں ایسپلیئر کی افزائش  $8.41 \text{ V V}^{-1}$  ہے جو ہمیں درکار تھی۔ اس کو درمیانی تعدد پر افزائش کہتے ہیں۔ البتہ انقطاعی تعدد کے قریب ایسپلیئر کی افزائش گھٹ جاتی

<sup>12</sup> low cut-off frequency  
<sup>13</sup> high cut-off frequency  
<sup>14</sup> corner frequencies  
<sup>15</sup> mid-frequency range

ہے۔ یوں پست اور بلند انقطاعی تعدد پر افزائش  $5.95 \text{ V V}^{-1}$  ہے۔ جس تعدد پر افزائش کی قیمت درمیانی تعدد کے افزائش کے  $\frac{1}{\sqrt{2}}$  گنا رہ جاتی ہے اس کو انقطاعی تعدد کہتے ہیں۔ چونکہ طاقت  $P = \frac{V_{\text{rms}}^2}{R}$  کے برابر ہے لہذا دباؤ کی قیمت  $\frac{1}{\sqrt{2}}$  گنا ہو جانے سے طاقت کی قیمت نصف ہو جاتی ہے۔ یوں انقطاعی تعدد اس تعدد کو کہتے ہیں جس پر اشارے کی طاقت نصف رہ جاتی ہے۔ ہمارے ایمپلیفائر کی درمیانی تعدد پر افزائش  $8.41 \text{ V V}^{-1}$  ہے۔ اس کا  $\frac{1}{\sqrt{2}}$  گنا  $8.4 \times \frac{1}{\sqrt{2}} = 5.95 \text{ V V}^{-1}$  ہے۔

حقیقت میں پرزوں کی قیمتیں یوں رکھی جائیں گی کہ پست انقطاعی تعدد  $20 \text{ Hz}$  سے کئی گنا کم ہو اور اسی طرح بلند انقطاعی تعدد  $20 \text{ kHz}$  سے کئی گنا زیادہ ہو۔ یوں حقیقی ایمپلیفائر میں آپ انقطاعی تعدد کو  $2 \text{ Hz}$  اور  $200 \text{ kHz}$  رکھیں گے تاکہ پوری تعددی پٹی پر ایمپلیفائر سے درکار افزائش میسر ہو۔

مساوات 12.10 میں درمیانی تعددی پٹی پر انقطاعی تعدد سے دور تعدد

$$20 \text{ Hz} \ll f \ll 20000 \text{ Hz}$$

کی صورت میں  $1 \ll \frac{f}{20000}$  اور  $\frac{f}{20} \gg 1$  ہو گا۔ یوں مساوات 12.10 کے بائیں قوسین میں  $1 + \frac{jf}{20} = \frac{jf}{20}$  اور دائیں قوسین میں  $1 + \frac{jf}{20000} = 1$  لکھتے ہوئے درج ذیل لکھا جاسکتا ہے جو درمیانی تعدد پر افزائش ہے۔

$$A_v(s) \approx \frac{j0.421f}{\left(\frac{jf}{20}\right)(1)} = 8.42 \quad (20 \text{ Hz} \ll f \ll 20 \text{ kHz})$$

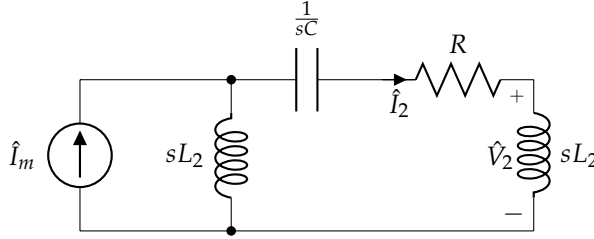
## 12.1 جال

کسی بھی دور میں متعدد پرزے اور تار پائے جاتے ہیں جسے پرزوں اور تاروں کا جال تصور کیا جاسکتا ہے۔ یوں دور کو بروقی جال یا صرف جال<sup>16</sup> بھی کہا جاتا ہے۔ گزشتہ حصے میں ایمپلیفائر کی افزائش دباؤ  $A_v(s)$  کی بات کی گئی جو جال کے مختلف تفاعل  $H(s)$  میں سے ایک ہے۔ جال میں کسی مقام پر رد عمل اور داخلی اشارے کی تناسب کو  $H(s)$  لکھا جاتا ہے۔ چونکہ جال میں عموماً رد عمل کو اس مقام پر نہیں ناپا جاتا جس پر داخلی اشارہ لاگو کیا گیا ہو لہذا  $H(s)$  کو تبدیلی تفاعل<sup>17</sup> کہا جاتا ہے۔ داخلی اشارہ دباؤ یا رد عمل بھی دباؤ یا رد عمل کی صورت میں ممکن ہے لہذا تبدیلی تفاعل کے چار اقسام ممکنہ پائے جاتے ہیں جنہیں جدول 12.1 میں پیش کیا گیا ہے۔

<sup>16</sup> network transfer function  
<sup>17</sup>

جدول 12.1: حبال کے تبادلہ تفاعل

علامت	تبادلہ تفاعل	خارجی	داخلی
$A_v(s)$	افزائش دباؤ	دباؤ	دباؤ
$A_i(s)$	افزائش رو	رو	رو
$A_g(s)$	موصول نما افزائش	رو	دباؤ
$A_r(s)$	دباؤ نما افزائش	دباؤ	رو



شکل 12.7: مثال 12.2 کا دورہ۔

مثال 12.2: شکل 12.7 میں تبادلہ تفاعل  $A_i(s) = \frac{\hat{I}_2}{\hat{I}_m}$  اور  $A_r(s) = \frac{\hat{V}_2}{\hat{I}_m}$  حاصل کریں۔

حل: تقسیم رو کے کلیے سے درج ذیل لکھتے ہیں

$$\hat{I}_2 = \frac{sL_1 \hat{I}_m}{sL_1 + \frac{1}{sC} + R + sL_2}$$

جس سے افزائش رو کی تفاعل لکھتے ہیں۔

$$A_i(s) = \frac{\hat{I}_2}{\hat{I}_m} = \frac{s^2 L_1 C}{s^2 (L_1 + L_2) C + sRC + 1}$$

رو  $\hat{I}_2$  جانتے ہوئے  $\hat{V}_2$  لکھتے ہیں

$$\begin{aligned} \hat{V}_2 &= sL_2 \hat{I}_2 \\ &= \frac{s^3 L_1 L_2 C \hat{I}_m}{s^2 (L_1 + L_2) C + sRC + 1} \end{aligned}$$

جس سے مزاحمت نما افزائش لکھتے ہیں۔

$$A_r(s) = \frac{\hat{V}_2}{\hat{I}_m} = \frac{s^3 L_1 L_2 C}{s^2 (L_1 + L_2) C + sRC + 1}$$

## 12.2 صفرا اور قطب

درج بالا مثال میں ہم نے دیکھا کہ تبدیلی تفاعل کو دو سلسلوں کا تناسب  $\frac{A(s)}{B(s)}$  لکھا جاسکتا ہے جن کا متغیر  $s$  ہے۔ چونکہ ادوار میں پرزوں کی قیمت اور تابع یا غیر تابع منبع کی قیمت حقیقی اعداد ہوتے ہیں لہذا ان سلسلوں کے سر حقیقی اعداد ہوں گے۔ یوں کسی بھی جال کا تبدیلی تفاعل درج ذیل لکھا جاسکتا ہے

$$(12.11) \quad H(s) = \frac{A(s)}{B(s)} = \frac{a_m s^m + a_{m-1} s^{m-1} + \dots + a_2 s^2 + a_1 s + a_0}{b_n s^n + b_{n-1} s^{n-1} + \dots + b_2 s^2 + b_1 s + b_0}$$

جہاں شمار کنندہ کثیر رکنی  $m$  درجے کا ہے جبکہ نسب نما کثیر رکنی  $n$  درجے کا ہے۔ مساوات 12.11 کو بذریعہ تجزیہ درج ذیل لکھا جاسکتا ہے

$$(12.12) \quad H(s) = \frac{K(s + z_1)(s + z_2) \dots (s + z_m)}{(s + p_1)(s + p_2) \dots (s + p_n)}$$

یہاں غور کریں کہ اگر  $s = -z_1$  ہو تب  $H(s) = 0$  ہو گا۔ اسی طرح اگر  $s = -z_2$  یا  $s = -z_3$  ہو تو  $H(s) = 0$  ہو گا۔ یہی وجہ ہے کہ  $-z_1$  تا  $-z_m$  تفاعل کے صفر<sup>18</sup> کہلاتے ہیں۔ اس کے برعکس اگر  $s = -p_1$  ہو یا  $s = -p_2$  ہو تب  $H(s)$  کی قیمت لامتناہی ہوگی۔ اسی لئے  $-p_1$  تا  $-p_n$  تفاعل کے قطب<sup>19</sup> کہلاتے ہیں۔ تفاعل کے صفر اور قطب مخلوط اعداد ہو سکتے ہیں۔ مخلوط اعداد کی صورت میں ان کی جوڑیاں پائی جاتی ہیں جہاں جوڑی کے دونوں اعداد ایک دوسرے کے جوڑی دار مخلوط<sup>20</sup> ہوتے ہیں۔ ایسی جوڑی کے قوسین ضرب کرنے سے حقیقی سروالے کثیر رکنی دیتے ہیں جو ادوار کو ظاہر کر سکتے ہیں۔ مساوات 12.12 کسی بھی خطی اور وقت کے

<sup>18</sup> zeroes

<sup>19</sup> poles

<sup>20</sup> complex conjugate

ساتھ نہ بدلنے والے نظام کے تبادلی تفاعل لکھنے کا انتہائی اہم طریقہ ہے چونکہ اس کے قطبین کو دیکھ کر تفاعل کی خاصیت کے بارے میں جانا جاسکتا ہے۔ ایسے نظام کے تبادلی تفاعل کو عموماً اسی صورت میں لکھا جاتا ہے۔

مساوات 12.12 میں شمار کنندہ سے  $z_1$  تا  $z_m$  اور نسب نما سے  $p_1$  تا  $p_n$  باہر نکالتے اور ترتیب دیتے ہوئے ذیل ملتا ہے

$$H(s) = \frac{K(z_1 z_2 \cdots z_m)(1 + \frac{s}{z_1})(1 + \frac{s}{z_2}) \cdots (1 + \frac{s}{z_m})}{(p_1 p_2 \cdots p_n)(1 + \frac{s}{p_1})(1 + \frac{s}{p_2}) \cdots (1 + \frac{s}{p_n})}$$

جس میں  $K_0 = \frac{K(z_1 z_2 \cdots z_m)}{(p_1 p_2 \cdots p_n)}$  لکھتے ہوئے مساوات کی معیاری شکل ملتی ہے۔

$$(12.13) \quad H(s) = \frac{K_0(1 + \frac{s}{z_1})(1 + \frac{s}{z_2}) \cdots (1 + \frac{s}{z_m})}{(1 + \frac{s}{p_1})(1 + \frac{s}{p_2}) \cdots (1 + \frac{s}{p_n})}$$

مثال 12.3: درج ذیل تفاعل کو اجزائے ضربی کی صورت میں لکھیں۔

$$H(s) = \frac{5s + 2}{2s^2 + 5s + 3}$$

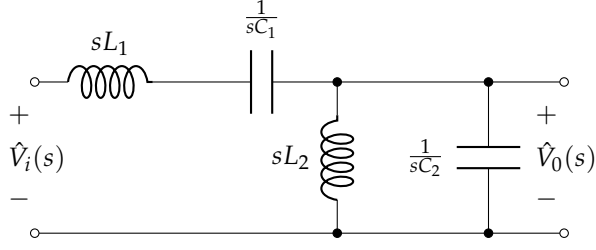
حل: نسب نما  $2s^2 + 5s + 3$  کے جذر  $s_1 = -1$  اور  $s_2 = -\frac{3}{2}$  ہیں۔ آپ یہاں غلط فہمی<sup>21</sup> سے درج بالا  $\frac{5s+2}{s^2+\frac{5}{2}s+\frac{3}{2}}$  کو لکھ سکتے ہیں لیکن قوسین کو ضرب دیتے ہوئے واپس اصل تفاعل حاصل کرتے ہوئے  $\frac{5s+2}{(s+1)(s+\frac{3}{2})}$  حاصل ہوتا ہے جو درج بالا مساوات سے مختلف ہے۔ ایسی غلطی سے بچنے کی خاطر پہلے دئے گئے تفاعل کے نسب نما اور شمار کنندہ کو یوں لکھیں کہ ان کے بلند تر درجہ  $s$  کا عددی سر اکائی کے برابر ہو۔

$$H(s) = \frac{5(s + \frac{2}{5})}{2(s^2 + \frac{5}{2}s + \frac{3}{2})}$$

نسب نما میں  $s^2 + \frac{5}{2}s + \frac{3}{2}$  کے جذر اب بھی  $s_1 = -1$  اور  $s_2 = -\frac{3}{2}$  ہیں لہذا درج بالا مساوات کو ذیل لکھ سکتے ہیں۔

$$H(s) = \frac{5(s + \frac{2}{5})}{2(s+1)(s+\frac{3}{2})}$$

<sup>21</sup> میں یہ غلطی بار بار کرچکا ہوں۔



شکل 12.8: مثال 12.3 کا دور۔

مشق 12.1: شکل 12.6-الف کا تبدیلی تفاعل مساوات 12.9 میں دیا گیا ہے۔ اس کے صفر اور قطب دریافت کریں۔  
جوابات:  $-p_2 = -20 \text{ kHz}$  ،  $-p_1 = -20 \text{ Hz}$  ،  $-z_1 = 0 \text{ Hz}$

مشق 12.2: شکل 12.6-الف میں داخلی اشارے کو درپیش رکاوٹ دریافت کریں۔

جواب:  $R_m + \frac{R_i}{1+sR_iC_i}$

مشق 12.3: شکل 12.8 میں تبدیلی تفاعل  $\frac{\hat{V}_0(s)}{\hat{V}_i(s)}$  حاصل کریں۔

جواب:

$$\frac{\hat{V}_0(s)}{\hat{V}_i(s)} = \frac{s^2 L_2 C_1}{s^4 L_1 L_2 C_1 C_2 + s^2 (L_1 C_1 + L_2 C_2 + L_2 C_1) + 1}$$



## 12.3 سائن نمائندگی تجزیہ

بعض اوقات ہم جال کو کسی مخصوص تعدد پر چلاتے ہیں۔ اس کی مثال 50 Hz پر چلنے والا واپڈا کا نظام ہے۔ اس کے برعکس کئی ادوار بدلتی تعدد پر استعمال کئے جاتے ہیں۔ سمعی ایمپلیفائر ایسا دور ہے جو 20 Hz تا 20 kHz کے تعدد پر چلایا جاتا ہے۔ ہم یہاں ادوار کی کارکردگی بالمقابل تعدد میں دلچسپی رکھتے ہیں۔ تبادلی تفاعل مخلوط عدد ہے لہذا اس کو زاویائی طرز میں لکھا جاسکتا ہے

$$(12.14) \quad H(\omega) = |H(\omega)| e^{j\phi(\omega)}$$

جہاں حتمی مقدار کا تفاعل  $|H(\omega)|$  اور زاویائی تفاعل  $\phi(\omega)$  دونوں تعدد پر منحصر ہیں۔ حتمی مقدار بالمقابل تعدد کے خط کو مقداری خصلت<sup>22</sup> اور زاویہ بالمقابل تعدد کے خط کو زاویائی خصلت<sup>23</sup> کہتے ہیں۔

## 12.3.1 بوڈا خطوط

افقی محور پر  $\log_{10} \omega$  اور عمودی محور پر  $20 \log_{10} |H(\omega)|$  رکھنے سے مقداری بوڈا خط<sup>24</sup> ملتا<sup>25</sup> ہے۔ جیسے آپ آگے جا کر دیکھیں گے، تبادلی تفاعل کو دیکھ کر بوڈا خط کھینچا جاتا ہے۔ یہی بوڈا خطوط کی مقبولیت کی وجہ ہے۔ تعدد تابع<sup>26</sup> ادوار مثلاً ایمپلیفائر، چھلنی وغیرہ کے تجزیے اور تخلیق میں بوڈا خطوط نہایت اہم ثابت ہوتے ہیں۔ مقداری بوڈا خط کے عمودی محور کی پیمائش ڈیسی بیل<sup>27</sup> dB میں کی جاتی ہے۔ ڈیسی بیل کو بنیادی طور پر آواز کے طاقت کی تناسب ناپنے کے لئے استعمال کیا جاتا تھا جہاں دو طاقتوں کے تناسب کے لاگ  $\log_{10} \frac{P_2}{P_1}$  کو بیل<sup>28</sup> میں ناپا جاتا تھا۔ جیسے ایک میٹر 1 m میں دس ڈیسی میٹر 10 dm ہوتے ہیں، اسی طرح ایک بیل میں دس ڈیسی بیل ہوتے ہیں لہذا ڈیسی بیل کا کلیہ درج ذیل لکھا جائے گا۔

$$(12.15) \quad 10 \log_{10} \frac{P_2}{P_1} = \text{ڈیسی بیل میں طاقت کے تناسب کی پیمائش}$$

magnitude characteristic<sup>22</sup>phase characteristic<sup>23</sup>Bode plots<sup>24</sup>پیٹرک واڈوڈنے اس طرز کو دریافت کیا۔<sup>25</sup>frequency dependent<sup>26</sup>decibel<sup>27</sup>Bell<sup>28</sup>

اگر دونوں طاقت یکساں قیمت کے مزاحمت  $R$  کو مہیا کی جائے تب  $P = I^2 R$  اور  $P = \frac{V^2}{R}$  استعمال کرتے ہوئے درج ذیل لکھا جاسکتا ہے۔

$$(12.16) \quad \begin{aligned} \text{ڈیسی بیل میں طاقت کے تناسب کی پیمائش} &= 10 \log_{10} \frac{|\hat{I}_2|^2 R}{|\hat{I}_1|^2 R} = 20 \log_{10} \left| \frac{\hat{I}_2}{\hat{I}_1} \right| \\ \text{ڈیسی بیل میں طاقت کے تناسب کی پیمائش} &= 10 \log_{10} \frac{|\hat{V}_2|^2 / R}{|\hat{V}_1|^2 / R} = 20 \log_{10} \left| \frac{\hat{V}_2}{\hat{V}_1} \right| \end{aligned}$$

مساوات 12.16 میں دیے ڈیسی بیل کے کلیے اتنے مقبول ہوئے ہیں کہ غیر یکساں مزاحمت کی صورت میں بھی دباؤ کی تناسب یارو کی تناسب کو انہیں کلیوں سے ڈیسی بیل میں ناپا جاتا ہے۔

مشق 12.4: ایک ایمپلیفائر کو  $P_i = 10 \text{ mW}$  طاقت کا داخلی اشارہ فراہم کیا جاتا ہے جبکہ ایمپلیفائر خارجی جانب سپیکر کو  $P_o = 15 \text{ W}$  طاقت فراہم کرتا ہے۔ ایمپلیفائر کی افزائش طاقت  $A_p = \frac{P_o}{P_i}$  کو ڈیسی بیل میں حاصل کریں۔

جواب:  $A_p = 31.76 \text{ dB}$

مشق 12.5: ایک ایمپلیفائر کی افزائش دباؤ  $A_v = 22 \text{ V V}^{-1}$  ہے۔ اس کی افزائش دباؤ کو ڈیسی بیل میں لکھیں۔

جواب:  $A_v = 26.85 \text{ dB}$

مشق 12.6: سلسلہ وار جڑے  $414 \Omega$  اور  $1000 \Omega$  مزاحمتوں کو  $\hat{V}_i = 100 \text{ V rms}$  کا داخلی اشارہ مہیا کیا جاتا ہے جبکہ  $1 \text{ k}\Omega$  پر خارجی اشارہ  $\hat{V}_0$  ناپا جاتا ہے۔ جال کی انفرانس دباؤ کو ڈیسی بیل میں دریافت کریں۔

جواب: خارجی دباؤ  $\hat{V}_0 = \frac{100 \times 1000}{1000 + 414} = 70.72 \text{ V rms}$  ہے جو داخلی دباؤ کے  $0.7072$  گنا ہے۔ دباؤ کی قیمت  $0.7072$  گنا ہونے سے طاقت کی قیمت  $0.5$  گنا رہ جاتی ہے جو  $-3 \text{ dB}$  کے برابر ہے۔

بوڈا مقداری خط کھینچنا چند مثالوں سے سیکھتے ہیں۔ پہلی مثال میں تبدیلی تفاعل درج ذیل لیتے ہیں جس میں ایک عدد صفر پایا جاتا ہے۔

$$(12.17) \quad H(\omega) = K(j\omega + z_1)$$

اس کو ترتیب دیتے ہوئے معیاری شکل میں لکھتے ہیں جہاں دوسری قدم پر  $Kz_1 = K_0$  لکھا گیا ہے۔

$$(12.18) \quad \begin{aligned} H(\omega) &= Kz_1 \left( 1 + j\frac{\omega}{z_1} \right) \\ &= K_0 \left( 1 + j\frac{\omega}{z_1} \right) \end{aligned}$$

اس کی حتمی قیمت

$$(12.19) \quad |H(\omega)| = K_0 \sqrt{1 + \frac{\omega^2}{z_1^2}}$$

کا  $20 \log_{10} |H(\omega)|$  لیتے ہیں

$$(12.20) \quad 20 \log_{10} |H(\omega)| = 20 \log_{10} K_0 + 20 \log_{10} \sqrt{1 + \frac{\omega^2}{z_1^2}}$$

جس میں  $\log_{10} xy = \log_{10} x + \log_{10} y$  کا استعمال کیا گیا ہے۔

مساوات 12.20 پر غور کریں۔ اس کا پہلا جزو ایک مستقل ہے جو تعدد پر منحصر نہیں ہے۔ اس کو شکل 12.9-الف میں دکھایا گیا ہے۔ مساوات کے دوسرے جزو کو دو مختلف تعدد کے بیٹوں پر دیکھتے ہیں۔ اگر تعدد کی قیمت  $z_1$  سے بہت کم ہو

یعنی  $\omega \ll z_1$  تب  $\frac{\omega^2}{z_1^2} \ll 1$  ہوگا لہذا دوسرے جزو میں  $\frac{\omega^2}{z_1^2}$  کو نظر انداز کیا جاسکتا ہے۔ ایسا کرنے سے دوسرا جزو درج ذیل لکھا جاسکتا ہے جہاں  $\log_{10} 1 = 0$  کا استعمال کیا گیا ہے۔

$$20 \log_{10} \sqrt{1 + \frac{\omega^2}{z_1^2}} \approx 20 \log_{10} \sqrt{1 + 0} = 0 \text{ dB}$$

شکل 12.9-الف میں  $z_1$  سے بہت کم تعدد پر دوسرا جزو 0 dB کے برابر ہوگا۔ نقطہ  $a$  پر  $\omega = \frac{z_1}{100}$  ہے لہذا اس نقطے پر دوسرا جزو صفر ڈیسی بیل دکھایا گیا ہے۔ اس نقطے کی نشاندہی دائرے سے کی گئی ہے۔ اسی طرح نقطہ  $b$  پر  $\omega = \frac{z_1}{10}$  ہے لہذا یہاں بھی دوسرا جزو صفر ڈیسی بیل کے برابر ہے۔

آئیں اب مساوات 12.20 کے دوسرے جزو کو  $z_1$  سے بہت زیادہ تعدد پر دیکھیں۔ اگر  $\omega \gg z_1$  ہو تب اس جزو میں  $\frac{\omega^2}{z_1^2} \gg 1$  ہوگا لہذا اس کو درج ذیل لکھا جاسکتا ہے

$$20 \log_{10} \sqrt{1 + \frac{\omega^2}{z_1^2}} \approx 20 \log_{10} \sqrt{\frac{\omega^2}{z_1^2}} = 20 \log_{10} \frac{\omega}{z_1}$$

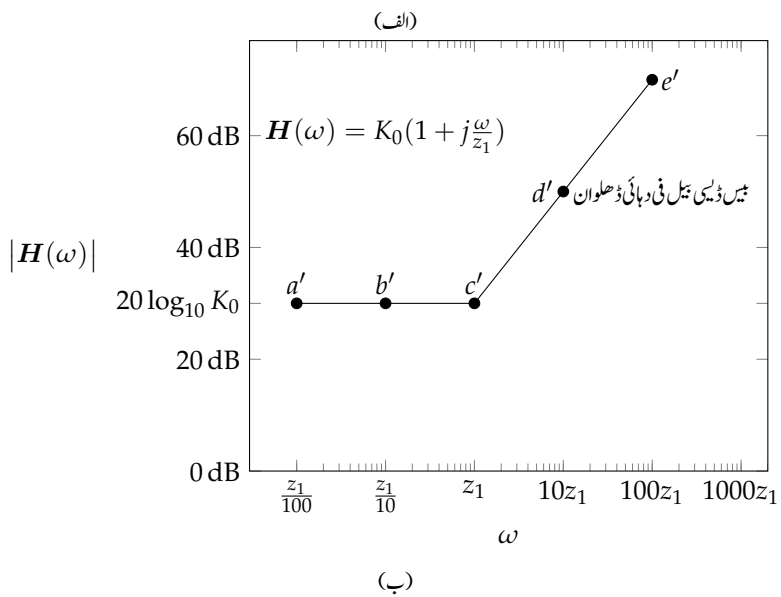
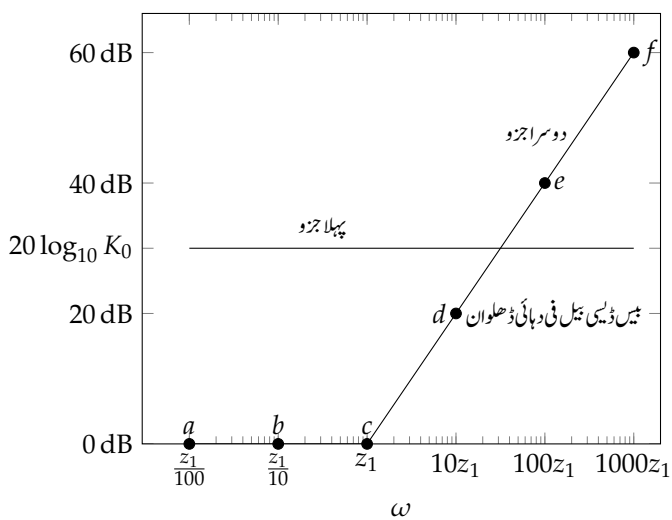
جس کی قیمت  $\omega = z_1$  پر

$$20 \log_{10} \frac{\omega}{z_1} = 20 \log_{10} \frac{z_1}{z_1} = 20 \log_{10} 1 = 0 \text{ dB}$$

اور  $\omega = 10z_1$  پر

$$20 \log_{10} \frac{\omega}{z_1} = 20 \log_{10} \frac{10z_1}{z_1} = 20 \log_{10} 10 = 20 \text{ dB}$$

حاصل ہوتی ہے۔ ان قیمتوں کو شکل 12.9-الف میں نقطہ  $c$  اور  $d$  ظاہر کرتی ہیں۔ اسی طرح  $\omega = 100z_1$  اور  $\omega = 1000z_1$  پر اس جزو کی قیمتیں 40 dB اور 60 dB حاصل ہوتی ہیں جنہیں شکل میں نقطہ  $e$  اور  $f$  ظاہر کرتے ہیں۔ آپ دیکھ سکتے ہیں کہ  $\omega = z_1$  سے سیدھا خط نکلتا ہے جس کی قیمت  $10z_1$  تعدد پر بڑھ کر 20 dB ہو جاتی ہے۔ یوں نقطہ  $c$  پر تعدد  $z_1$  کے برابر ہے اور مساوات 12.20 کے دوسرے جزو کی قیمت 0 dB ہے۔ تعدد دس گنا یعنی  $\omega = 10z_1$  کرنے سے اس جزو کی قیمت 20 dB ہو جاتی ہے جسے نقطہ  $d$  ظاہر کرتا ہے۔ تعدد مزید دس گنا بڑھانے  $\omega = 100z_1$  سے اس جزو کی قیمت مزید 20 dB بڑھ کر 40 dB ہو جاتی ہے جس سے نقطہ  $e$  حاصل ہوتا ہے۔ ہم کہتے ہیں کہ  $\omega = z_1$  تعدد سے شروع ہوتے اس خط کی ڈھلوان بیس ڈیسی بیل فی دہائی کے برابر ہے۔



شکل 12.9: ایک عدد صفر والے تبادلی تفاعل کا مقدار یو ڈا خط۔

مساوات 12.20 کے اجزاء کا مجموعہ لیتے ہوئے شکل 12.9-ب حاصل ہوتا ہے۔ شکل-الف میں  $\omega = \frac{z_1}{100}$  تعدد پر پہلا جزو  $20 \log_{10} K_0$  اور دوسرا جزو  $0 \text{ dB}$  کے برابر ہے لہذا ان کا مجموعہ  $20 \log_{10} K'_0$  کے برابر ہو گا جسے شکل-ب میں نقطہ  $a'$  دکھایا گیا ہے۔ اسی طرح بقایا تعدد پر مجموعہ لیتے ہوئے  $b'$ ،  $c'$ ،  $d'$  اور  $e'$  نقطے حاصل کئے جاتے ہیں۔

شکل 12.9-ب کو دیکھتے ہوئے درج بالا تمام قصبے کا نچوڑ یہ ہے۔ صفر تعدد سے  $z_1$  تعدد تک مساوات 12.18 کے تبادلی تفاعل کی مقدار  $20 \log_{10} K_0$  رہتی ہے جبکہ  $z_1$  تعدد سے اس کی مقدار بیس ڈیسی بیل فی دہائی بڑھنے شروع ہو جاتی ہے اور مسلسل اسی شرح سے بڑھتی ہے۔ یوں مساوات 12.20 سے  $K_0$  اور  $z_1$  حاصل کرتے ہوئے مقداری بوڈاخط کھینچا جاسکتا ہے۔

شکل 12.10 میں مساوات 12.20 کے دوسرے جزو  $20 \log_{10} \sqrt{1 + \frac{\omega^2}{z_1^2}}$  کو ہلکی سیاہی میں کھینچا گیا ہے اور ساتھ ہی اس کا بوڈاخط گہری سیاہی میں دکھایا گیا ہے۔ آئیں دونوں کی قیمتیں کونے پر حاصل کریں۔ کونا  $\omega = z_1$  پر پایا جاتا ہے جس پر اس جزو کی اصل قیمت درج ذیل ہے

$$(12.21) \quad 20 \log_{10} \sqrt{1 + \frac{\omega^2}{z_1^2}} = 20 \log_{10} \sqrt{1 + \frac{z_1^2}{z_1^2}} = 20 \log_{10} \sqrt{2} = 3 \text{ dB}$$

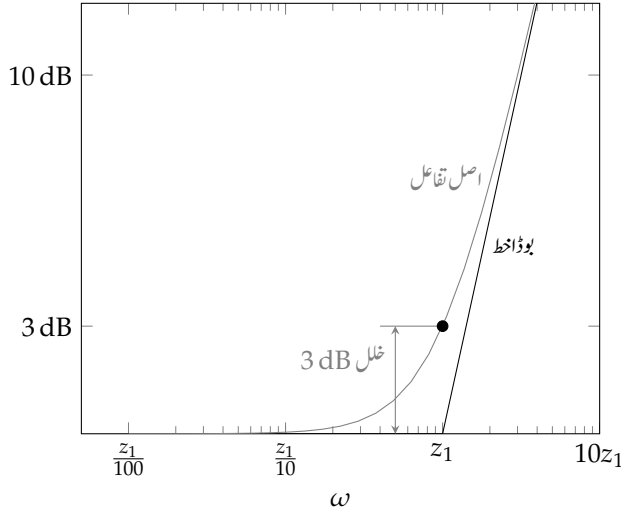
جبکہ بوڈاخط کی قیمت اس تعدد پر  $0 \text{ dB}$  ہے۔ یوں بوڈاخط کے قیمت میں کونے پر  $3 \text{ dB}$  کا خلل پایا جاتا ہے جو بوڈاخط اور اصل تفاعل کے قیمت میں زیادہ سے زیادہ فرق ہے۔ شکل 12.10 میں اس خلل کی وضاحت کی گئی ہے۔ اس شکل میں یہ بھی دیکھا جاسکتا ہے کہ کونے سے دس گنا کم تعدد  $\omega = \frac{z_1}{10}$  یا دس گنا زیادہ تعدد  $\omega = 10z_1$  پر اصل تفاعل اور بوڈاخط میں فرق قابل نظر انداز ہوتا ہے۔

آئیں اب درج ذیل تبادلی تفاعل لیتے ہیں جس میں ایک قطب پایا جاتا ہے۔

$$(12.22) \quad H(\omega) = \frac{K}{j\omega + p_1}$$

اس کو ترتیب دے کر لکھتے ہیں جہاں  $\frac{K}{p_1} = K_0$  لکھا گیا ہے۔

$$(12.23) \quad H(\omega) = \frac{K}{p_1 \left(1 + j\frac{\omega}{p_1}\right)} = \frac{K_0}{1 + j\frac{\omega}{p_1}}$$



شکل 12.10: کوئے پر بوڈا خط میں 3 dB خلل پایا جاتا ہے۔

اس کی حتمی قیمت حاصل کرتے ہیں

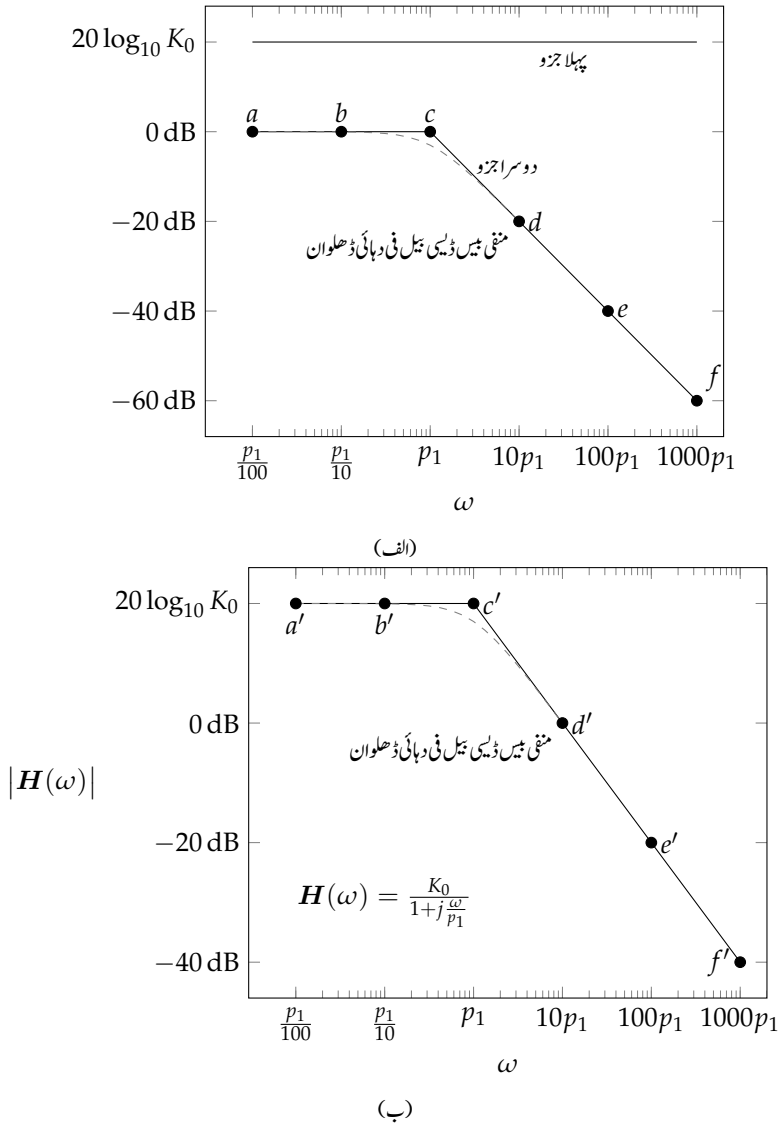
$$(12.24) \quad |H(\omega)| = \frac{K_0}{\sqrt{1 + \frac{\omega^2}{p_1^2}}}$$

جس کو  $20 \log_{10} |H(\omega)|$  صورت میں لکھتے ہیں

$$(12.25) \quad 20 \log_{10} |H(\omega)| = 20 \log_{10} K_0 - 20 \log_{10} \sqrt{1 + \frac{\omega^2}{p_1^2}}$$

جہاں  $\log_{10} \frac{x}{y} = \log_{10} x - \log_{10} y$  کا استعمال کیا گیا ہے۔

مساوات 12.25 کے دو اجزاء پائے جاتے ہیں جنہیں شکل 12.11-الف میں دکھایا گیا ہے جبکہ ان کے مجموعے کو شکل-ب میں دکھایا گیا ہے۔ آپ دیکھ سکتے ہیں کہ  $p_1$  سے کم تعدد پر تبادلہ تفاعل کی حتمی قیمت  $20 \log_{10} K_0$  رہتی ہے جبکہ  $p_1$  تعدد سے شروع ہو کر اس کی قیمت مسلسل منفی بیس ڈیسی بیل فی دہائی تبدیل ہوتی ہے۔ شکل-الف میں ہلکی سیاہی میں نقطہ دار لکیر سے اصل دوسرا جزو بھی دکھایا ہے جہاں بوڈا خط میں -3 dB کا خلل واضح ہے۔ شکل-ب میں پورا تفاعل اور پورے تفاعل کا بوڈا خط دکھائے گئے ہیں۔ بوڈا خط میں کوئے پر منفی بیس ڈیسی بیل کا خلل پایا جاتا ہے۔ بوڈا



شکل 12.11: ایک عدد قطب والے تبادلی تفاعل کا مقدار کی بوڈا خط۔



خط اور اصل تفاعل میں زیادہ سے زیادہ خلل کوٹنے پر پایا جاتا ہے۔ اگر کوٹنا تفاعل کے صفر پر ہو تب خلل 3 dB ہوتا ہے اور اگر کوٹنا تفاعل کے قطب کی وجہ سے ہو تب خلل -3 dB ہوتا ہے۔

مثال 12.4: تبادلہ تفاعل  $H(\omega) = 10(j\omega + 10)$  کا بوڈا خط کھینچیں۔

حل: اس کو ترتیب دیتے ہوئے معیاری شکل میں لکھتے ہیں۔

$$H(\omega) = 100 \left( 1 + j \frac{\omega}{10} \right)$$

یوں نیم لاگ محور پر خط کھینچتے ہوئے  $10 \text{ rad s}^{-1}$  سے کم تعدد پر تفاعل کی حتمی قیمت  $20 \log_{10} 100 = 40 \text{ dB}$  ہو گی جبکہ اس تعدد سے زیادہ تعدد پر حتمی قیمت بتدریج بیس ڈیسی بیل فی دہائی بڑھے گی۔ ان نتائج کو شکل 12.12 میں دکھایا گیا ہے۔ نقطہ  $a$  پر تعدد  $10 \text{ radian/s}$  اور تفاعل کی حتمی قیمت  $40 \text{ dB}$  ہے۔ تعدد کو دس گنا کرنے سے  $\omega = 100 \text{ rad s}^{-1}$  حاصل ہوتا ہے جس پر تفاعل کی حتمی مقدار بڑھ کر  $40 \text{ dB} + 20 \text{ dB} = 60 \text{ dB}$  ہو جاتی ہے جسے نقطہ  $b$  سے ظاہر کیا گیا ہے۔ ان دو نقطوں سے گزرتی سیدھی خط کھینچی گئی ہے جس کی ڈھلوان بیس ڈیسی بیل فی دہائی ہو گی۔

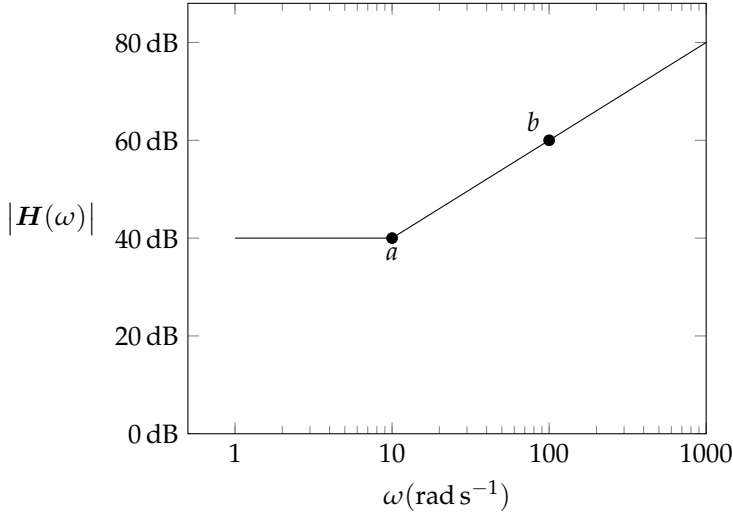
مثال 12.5: تبادلہ تفاعل  $H(\omega) = \frac{1000(j\omega + 100)}{j\omega + 10000}$  کا مقداری بوڈا خط کھینچیں۔

حل: اس کو معیاری شکل میں لکھتے ہوئے

$$H(\omega) = 10 \left( \frac{1 + j \frac{\omega}{100}}{1 + j \frac{\omega}{10000}} \right)$$

حتمی قیمت کو ڈیسی بیل میں لکھتے ہیں۔

$$20 \log_{10} |H(\omega)| = 20 \log_{10} 10 + 20 \log_{10} \sqrt{1 + \frac{\omega^2}{100^2}} - 20 \log_{10} \sqrt{1 + \frac{\omega^2}{10000^2}}$$



شکل 12.12: مثال 12.4 کا دور۔

درج بالا مساوات کے تینوں اجزاء کو شکل 12.13-الف میں اور ان کے مجموعے کو شکل 12.13-ب میں دکھایا گیا ہے۔ درج بالا مساوات کو دیکھ کر بوڈا مقداری خط کھینچا جاتا ہے جہاں  $\omega = 100 \text{ rad s}^{-1}$  سے کم تعدد پر مقدار  $20 \log_{10} 10 = 20 \text{ dB}$  ہے، ٹھیک  $20 \log_{10} 10 = 20 \text{ dB}$  تعدد پر مقدار کی قیمت بیس ڈیسی بیل فی دہائی بڑھنا شروع ہو جاتی ہے۔ تعدد  $\omega = 10 \text{ rad s}^{-1}$  سے زیادہ تعدد پر دوسرے جزو کے مثبت بیس ڈیسی بیل فی دہائی کو تیسرے جزو کا منفی بیس ڈیسی بیل فی دہائی مکمل طور پر ختم کرتا ہے لہذا بوڈا خط اسی قیمت پر برقرار رہتا ہے۔ شکل میں ہلکی سیاہی میں نقطہ دار لکیر سے اصل تفاعل کا خط بھی دکھایا گیا ہے جہاں بوڈا خط کے کونوں پر  $\pm 3 \text{ dB}$  خلل واضح ہے۔

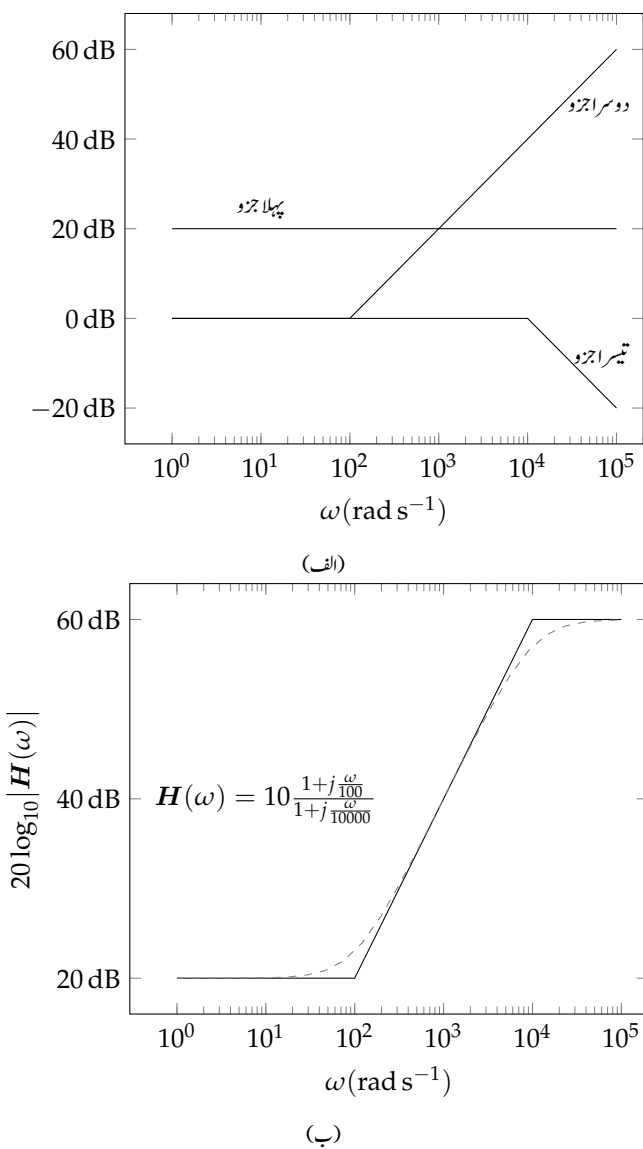
آئیں اب تبادلی تفاعل کے زاویائی بوڈا خط<sup>29</sup> کھینچنا سیکھیں۔ ہم درج ذیل تفاعل کو مثال بناتے ہیں

$$(12.26) \quad H(\omega) = K_0 \left( 1 + j \frac{\omega}{z_1} \right)$$

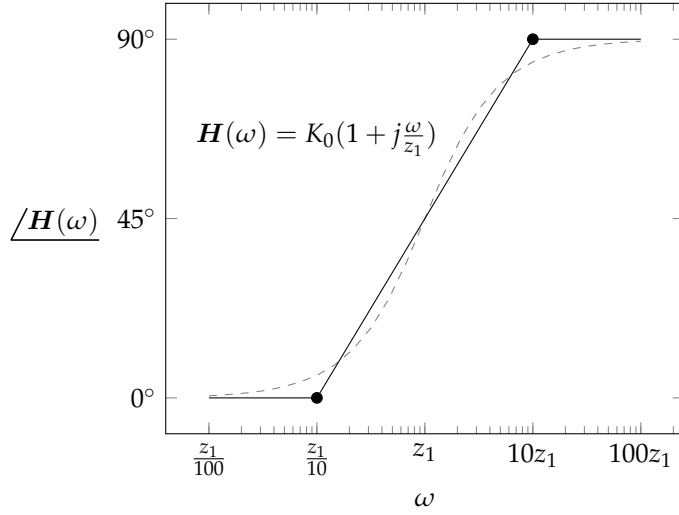
جس کا زاویہ ذیل ہے

$$(12.27) \quad \angle H(\omega) = \angle \tan^{-1} \frac{\omega}{z_1}$$

Bode phase plot<sup>29</sup>



شکل 12.13: مثال 12.5 کا پوڈ انعطاف۔



شکل 12.14: ایک صفر والے تفاعل کا زاویائی بوڈا خط۔

جس کو شکل 12.14 میں ہلکی سیاہی سے نقطہ دار لکیر سے دکھایا گیا ہے۔ عین کونے  $(\omega = z_1)$  پر زاویہ

$$\angle H(z_1) = \angle \tan^{-1} \frac{\omega}{z_1} = \angle \tan^{-1} \frac{z_1}{z_1} = \angle 45^\circ$$

حاصل ہوتا ہے جبکہ کونے سے دس گنا زیادہ تعدد  $(\omega = 10z_1)$  پر

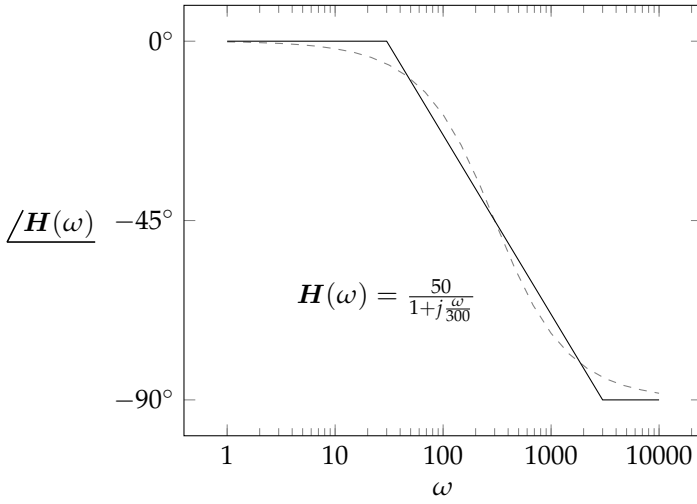
$$\angle H(10z_1) = \angle \tan^{-1} \frac{10z_1}{z_1} = \angle 84.3^\circ$$

اور کونے سے دس گنا کم تعدد  $(\omega = \frac{z_1}{10})$  پر

$$\angle H(\frac{z_1}{10}) = \angle \tan^{-1} \frac{\frac{z_1}{10}}{z_1} = \angle 5.7^\circ$$

زاویے حاصل ہوتے ہیں۔ بوڈا زاویائی خط میں اس حقیقت کو استعمال کرتے ہوئے کونے سے دس گنا کم تعدد  $(\omega = \frac{z_1}{10})$  پر  $0^\circ$  اور کونے سے دس گنا زیادہ تعدد  $(\omega = 10z_1)$  پر  $90^\circ$  چنتے ہوئے انہیں سیدھی لکیر سے ملایا جاتا ہے جبکہ  $0^\circ < \omega < \frac{z_1}{10}$  پر زاویہ  $0^\circ$  اور  $\omega > 10z_1$  پر زاویہ  $90^\circ$  رکھا جاتا ہے۔ شکل 12.14 میں سیدھے خطوط پر مبنی بوڈا زاویائی خط کو گہری سیاہی میں دکھایا گیا ہے۔

مثال 12.6: تبدیلی تفاعل  $H(\omega) = \frac{50}{1 + j\frac{\omega}{300}}$  کا زاویائی بوڈا خط کھینچیں۔



شکل 12.15: ایک قطب والے تفاعل کا بوڈا زاویائی خط۔

حل: اس تفاعل کا زاویہ ذیل ہے جہاں کونا  $\omega = 300 \text{ rad s}^{-1}$  پر پایا جاتا ہے۔

$$(12.28) \quad \angle H(\omega) = \frac{1}{\angle \tan^{-1} \frac{\omega}{300}} = \angle -\tan^{-1} \frac{\omega}{300}$$

اس تفاعل کو شکل 12.15 میں ہلکی سیاہی میں نقطہ دار لکیر سے دکھایا گیا ہے۔

بوڈا خط میں کونے سے دس گنا کم تعدد پر زاویہ  $0^\circ$  اور کونے سے دس گنا زیادہ تعدد پر زاویہ  $-90^\circ$  چنتے ہوئے ان نقطوں کو سیدھے خط سے ملایا جاتا ہے۔ یوں  $\omega = 30 \text{ rad s}^{-1}$  پر  $0^\circ$  اور  $\omega = 3000 \text{ rad s}^{-1}$  پر  $90^\circ$  چنتے ہوئے انہیں سیدھے لکیر سے ملایا گیا ہے۔ مزید  $\omega = 30 \text{ rad s}^{-1}$  سے کم تعدد پر زاویہ  $0^\circ$  ہی رکھا جاتا ہے جبکہ  $\omega = 3000 \text{ rad s}^{-1}$  سے زیادہ تعدد پر زاویہ  $-90^\circ$  رکھا جاتا ہے۔ بوڈا زاویائی خط کو شکل 12.15 میں گہری سیاہی میں دکھایا گیا ہے۔

یوں کونے  $(\omega = 300 \text{ rad s}^{-1})$  پر، کونے سے دس گنا زیادہ تعدد  $(\omega = 3000 \text{ rad s}^{-1})$  پر اور کونے سے دس گنا کم تعدد  $(\omega = 30 \text{ rad s}^{-1})$  پر زاویے درج ذیل حاصل ہوتے ہیں۔

$$\begin{aligned} \angle H(200) &= \angle -\tan^{-1} \frac{300}{300} = \angle -45^\circ \\ \angle H(2000) &= \angle -\tan^{-1} \frac{3000}{300} = \angle -84.3^\circ \\ \angle H(20) &= \angle -\tan^{-1} \frac{30}{300} = \angle -5.7^\circ \end{aligned}$$

مثال 12.7: تبدلی تفاعل  $H(\omega) = \frac{j20\omega(1+j\frac{\omega}{200})}{1+j\frac{\omega}{30000}}$  کا زاویائی بوڈا خط کھینچیں۔

حل: اس تفاعل کا زاویہ لکھتے ہیں۔

$$\angle H(\omega) = \angle 90^\circ + \angle \tan^{-1} \frac{\omega}{200} - \angle \tan^{-1} \frac{\omega}{30000}$$

شمار کنندہ میں  $j20\omega = 0 + j20\omega$  لکھتے ہوئے زاویہ  $\tan^{-1} \frac{j20\omega}{0} = 90^\circ$  حاصل ہوتا ہے۔ دوسرا رکن  $20 \text{ rad s}^{-1}$  پر  $0^\circ$  اور  $2 \text{ krad s}^{-1}$  پر  $90^\circ$  جبکہ تیسرا رکن  $300 \text{ rad s}^{-1}$  پر  $0^\circ$  اور  $300 \text{ krad s}^{-1}$  پر  $-90^\circ$  ہے۔ ان تمام ارکان کو شکل 12.16 میں دکھایا گیا ہے۔

مثال 12.8: تبدلی تفاعل  $H(\omega) = \frac{j10\omega}{(1+j\frac{\omega}{100})(1+j\frac{\omega}{10000})}$  کا مقداری بوڈا خط کھینچیں۔

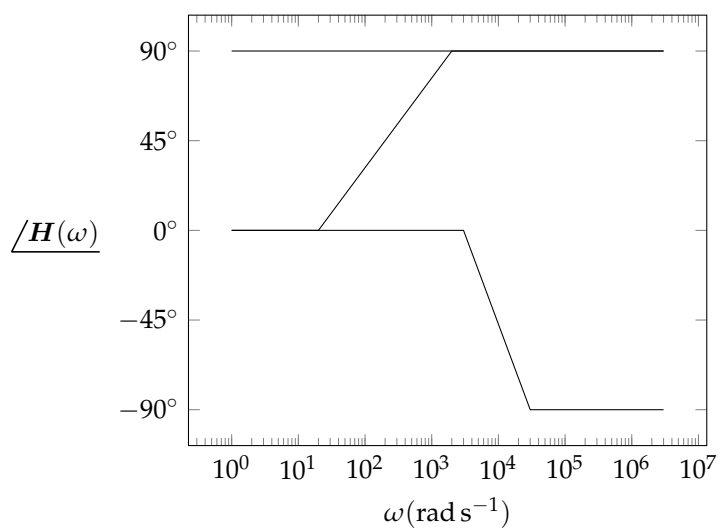
حل: اس تفاعل کی حتمی قیمت

$$|H(\omega)| = \frac{10\omega}{\sqrt{1 + \frac{\omega^2}{100^2}} \sqrt{1 + \frac{\omega^2}{10000^2}}}$$

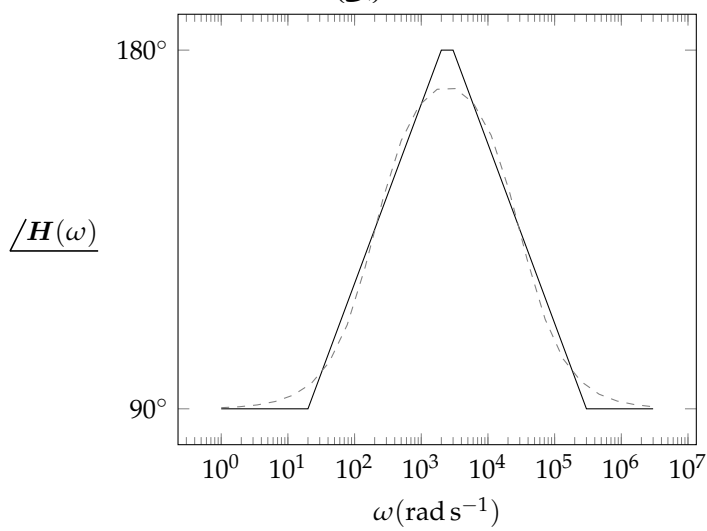
کو ڈیسی بیل میں لکھتے ہیں۔

$$(12.29) \quad 20 \log_{10} 10 + 20 \log_{10} \omega - 20 \log_{10} \sqrt{1 + \frac{\omega^2}{100^2}} - 20 \log_{10} \sqrt{1 + \frac{\omega^2}{10000^2}}$$

مساوات 12.29 کا پہلا رکن 20 dB کا مستقل ہے۔ اس کا دوسرا رکن  $\omega = 1 \text{ rad s}^{-1}$  پر 0 dB کے برابر ہے جبکہ اس تعدد سے زیادہ تعدد پر بتدریج بیس ڈیسی بیل فی دہائی بڑھتا ہے۔ تیسرے اور چوتھے ارکان کے بوڈا خط بالترتیب

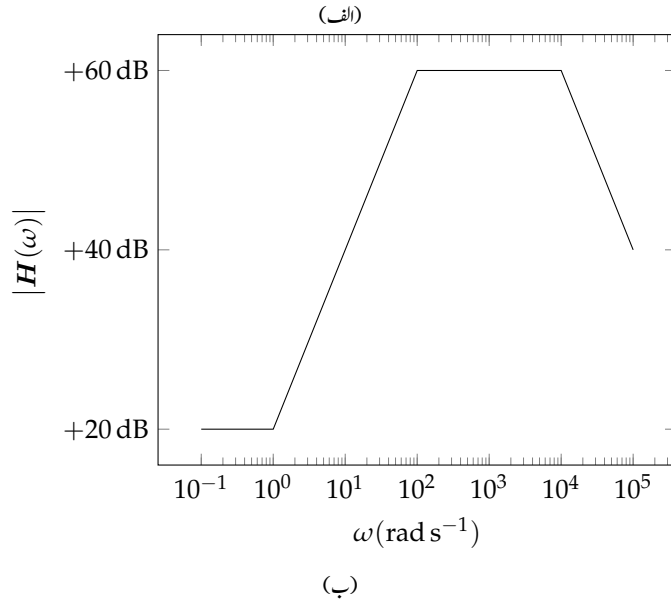
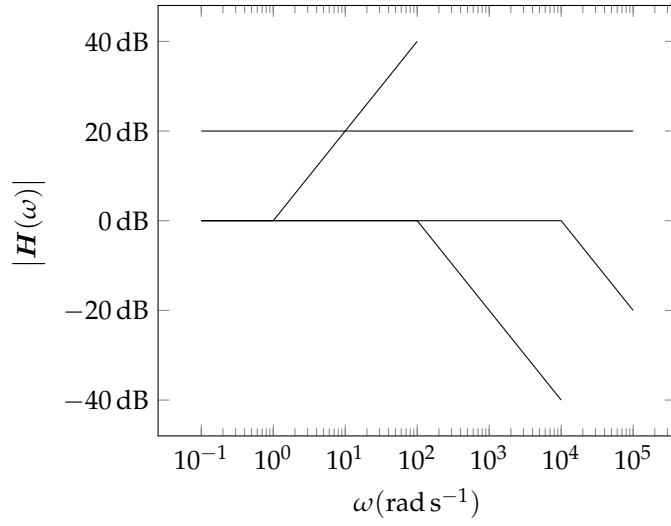


(الف)



(ب)

شکل 12.16: مثال 12.7 کا زاویائی پوزٹراٹ



شکل 12.17: ایک صفر اور دو قطب والے تفاعل کا بوڈا مقدار کی خط۔



12.17- الف اور ان کا مجموعہ شکل-ب میں دکھایا گیا ہے۔  
 $100 \text{ rad s}^{-1}$  اور  $10 \text{ krad s}^{-1}$  تعدد پر منفی بیس ڈیسی بیل فی دہائی گھٹنا شروع ہوتے ہیں۔ ان تمام ارکان کو شکل

ہمیں عموماً درمیانی تعدد پر بوڈا خط میں زیادہ دلچسپی ہوتی ہے۔ ایسی صورت میں بوڈا مقداری خط درمیانی تعدد ( $100 \text{ rad s}^{-1} <$ ) سے شروع کرنا بہتر ثابت ہوتا ہے۔ دونوں کونوں سے دور یعنی  $\omega < 10 \text{ krad s}^{-1}$  اور  $\omega \gg 100 \text{ rad s}^{-1}$  پر  $1 + \frac{\omega^2}{100^2} \approx \frac{\omega^2}{100^2}$  اور  $1 + \frac{\omega^2}{10000^2} = 1$  لکھتے ہوئے درج ذیل لکھا جاسکتا ہے

$$|H(\omega)| = \frac{10\omega}{\left(\sqrt{\frac{\omega^2}{100^2}}\right) (\sqrt{1})} = 1000$$

لہذا درمیانی تعدد پر پٹی پر ڈیسی بیل میں مقدار درج ذیل ہوگی

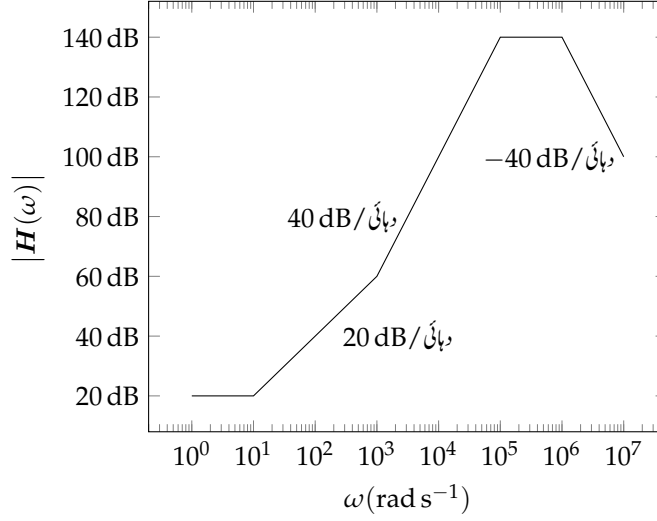
$$20 \log_{10} |H(\omega)| = 20 \log_{10} 1000 = 60 \text{ dB}$$

جسے شکل 12.17-ب میں  $\omega = 100 \text{ rad s}^{-1}$  تا  $10 \text{ krad s}^{-1}$  دکھایا گیا ہے۔ چونکہ حقیقت میں پست تعدد کو نے سے کم تعدد پر مقدار مسلسل بیس ڈیسی بیل فی دہائی بڑھتے ہوئے عین  $\omega = 100 \text{ rad s}^{-1}$  پر 60 dB تک پہنچتی ہے لہذا پست تعدد کو نے سے بیس ڈیسی بیل فی دہائی ڈھلوان کا خط کھینچیں۔ اسی طرح بلند تعدد کو نے پر بھی بیس ڈیسی بیل فی دہائی ڈھلوان کا خط کھینچیں۔ یوں مکمل بوڈا خط حاصل ہوگا۔

مثال 12.9: تبادلی تفاعل  $H(\omega) = \frac{10(1+j\frac{\omega}{10})(1+j\frac{\omega}{1000})}{(1+j\frac{\omega}{10000})^2(1+j\frac{\omega}{100000})}$  کا مقداری بوڈا خط کھینچیں۔

حل: تفاعل کی مقدار کو ڈیسی بیل میں لکھتے ہیں۔ ان کا مجموعہ شکل 12.18 میں دکھایا گیا ہے۔

$$20 \log_{10} |H(\omega)| = 20 \log_{10} 10 + 20 \log_{10} \sqrt{1 + \frac{\omega^2}{10^2}} + 20 \log_{10} \sqrt{1 + \frac{\omega^2}{100^2}} \\ - 40 \log_{10} \sqrt{1 + \frac{\omega^2}{1000^2}} - 40 \log_{10} \sqrt{1 + \frac{\omega^2}{10000^2}}$$



شکل 12.18: مثال 12.9 کا مقداری بوڈا خط۔

یہاں  $10 \text{ rad s}^{-1}$  پر درج بالا مساوات کا دوسرا جزو بیس ڈیسی بیل فی دہائی بڑھنا شروع ہو جاتا ہے جبکہ تیسرا جزو اسی شرح سے  $1000 \text{ rad s}^{-1}$  پر بڑھنا شروع ہوتا ہے۔ یوں ان کا مجموعہ لیتے ہوئے  $1000 \text{ rad s}^{-1}$  تعدد سے خط کی ڈھلوان  $40 \text{ dB}$  فی دہائی ہو گی۔ اسی طرح  $100 \text{ krad s}^{-1}$  پر چھوٹا جزو  $40 \text{ dB}$  فی دہائی سے گھٹنا شروع ہوتا ہے جو دوسرے اور تیسرے اجزاء کو ختم کرتا ہے لہذا بوڈا خط برقرار  $140 \text{ dB}$  پر رہتا ہے۔ آخر کار  $1 \text{ Mrad s}^{-1}$  پر پانچواں جزو چالیس ڈیسی بیل فی دہائی سے گھٹنا شروع ہوتا ہے۔

تبادلہ تفاعل کے صفر اور قطب مخلوط اعداد بھی ہو سکتے ہیں۔ ایسی صورت میں ان کے جوڑی دار جوڑے پائے جاتے ہیں۔ انہیں ان پر غور کریں۔ تبادلہ تفاعل

$$H(s) = \frac{K}{(s+a)(s+b)}$$

کے قوسین کو ضرب دیتے ہوئے ترتیب دیتے ہیں۔

$$H(s) = \frac{K}{s^2 + s(a+b) + ab}$$

$$= \frac{K}{ab[1 + \frac{s(a+b)}{ab} + \frac{s^2}{ab}]}$$

اس کو درج ذیل معیاری صورت میں لکھا جاسکتا ہے

$$(12.30) \quad H(s) = \frac{K_0}{1 + 2\zeta(s\tau) + (s\tau)^2}$$

جہاں

$$\tau = \frac{1}{\sqrt{ab}}$$

$$\zeta = \frac{a+b}{2\sqrt{ab}}$$

کے برابر ہیں۔ مساوات 12.30 میں  $\zeta$  کو تقصیری تناسب<sup>30</sup> کہتے ہیں۔

فرض کریں کہ ہمیں مساوات 12.30 دی گئی ہے اور ہم اس کے قطب جاننا چاہتے ہیں۔ قطب جاننے کے لئے نسب نما کے جذر حاصل کرنے ہوں گے جنہیں دو درجی مساوات کے کلیے سے حاصل کیا جاسکتا ہے۔

$$s = \frac{-2\zeta\tau \pm \sqrt{4\zeta^2\tau^2 - 4\tau^2}}{2\tau^2}$$

جذر کی علامت کے اندر مقدار کی قیمت صفر سے زیادہ، صفر کے برابر یا صفر سے کم ممکن ہے یعنی

$$4\zeta^2\tau^2 - 4\tau^2 > 0$$

$$4\zeta^2\tau^2 - 4\tau^2 = 0$$

$$4\zeta^2\tau^2 - 4\tau^2 < 0$$

جن سے بالترتیب درج ذیل شرائط حاصل ہوتے ہیں۔

$$\zeta > 1 \quad \text{حقیقی دو عدد مختلف قطب}$$

$$\zeta = 1 \quad \text{حقیقی دو عدد یکساں قطب}$$

$$\zeta < 1 \quad \text{جوڑی دار مخلوط قطب}$$

(12.31)

تقصیری تناسب کی قیمت اکائی سے زیادہ یا اکائی کے برابر ہونے کی صورت میں حقیقی قطب پائے جاتے ہیں جن پر ہم غور کر چکے ہیں۔ آئیں مخلوط قطب پر غور کریں۔

مشق 12.7: تبادلی تفاعل  $H(s) = \frac{35}{4s^2 + 2s + 1}$  کا  $\tau$  اور  $\zeta$  حاصل کریں۔ اس تفاعل کے قطب بھی دریافت کریں۔ تفاعل کو اجزائے ضربی کی صورت میں لکھیں۔

جواب:  $\tau = 2$  ،  $\zeta = 0.5$  ،  $p_1 = -s_1 = \frac{1}{4} + j\frac{\sqrt{3}}{4}$  ،  $p_2 = -s_2 = \frac{1}{4} - j\frac{\sqrt{3}}{4}$  ،

$$H(s) = \frac{35}{(s + \frac{1}{4} + j\frac{\sqrt{3}}{4})(s + \frac{1}{4} - j\frac{\sqrt{3}}{4})}$$

مساوات 12.30 میں  $s = j\omega$  پر کر کے ترتیب دیتے ہوئے

$$H(\omega) = \frac{K_0}{1 + 2\zeta(j\omega\tau) + (j\omega\tau)^2}$$

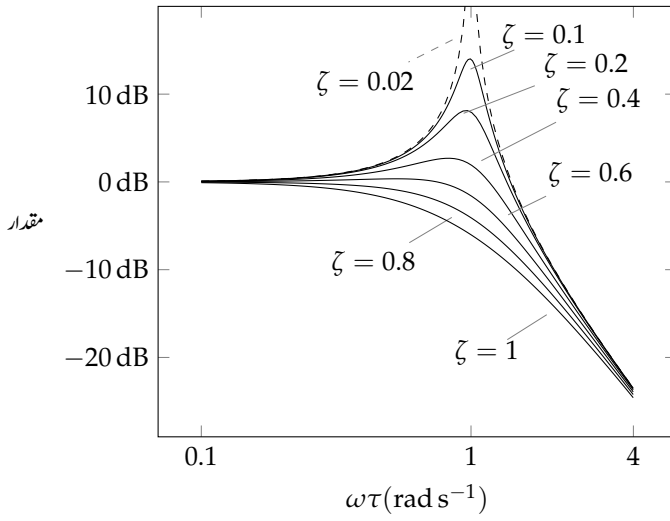
$$= \frac{K_0}{1 - \omega^2\tau^2 + j2\zeta\omega\tau}$$

اس کی حتمی مقدار کو ڈیسی بیل میں لکھتے ہیں۔

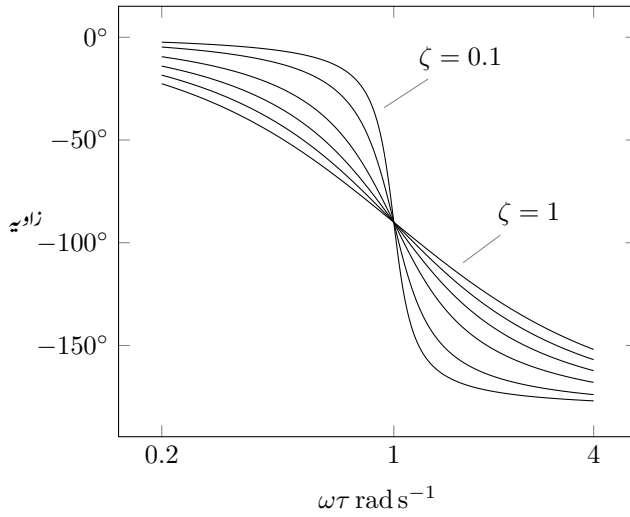
$$(12.32) \quad 20 \log_{10} |H(\omega)| = 20 \log_{10} K_0 - 20 \log_{10} \sqrt{(1 - \omega^2\tau^2)^2 + (2\zeta\omega\tau)^2}$$

مساوات 12.32 کا پہلا جزو مستقل ہے جبکہ دوسرے جزو کی مقدار کا دار و مدار تعدد کے علاوہ تقصیری تناسب پر بھی منحصر ہے۔ شکل 12.19-الف میں مختلف  $\zeta$  کے لئے مساوات 12.32 کے دوسرے جزو کے خطوط دکھائے گئے ہیں۔ اب تک ہم دیکھتے آرہے ہیں کہ قطب پر مقداری خط گھٹنے شروع ہوتا ہے لیکن یہاں ایسا نہیں ہو رہا ہے۔ مخلوط قطبین کی صورت میں مقداری خط گھٹنے سے پہلے بڑھتا ہے۔ بڑھنے کی مقدار کا دار و مدار  $\zeta$  پر ہے۔ تقصیری تناسب کی قیمت صفر ( $\zeta = 0$ ) ہونے کی صورت میں  $\omega\tau = 1$  پر تفاعل بے قابو بڑھتا ہے۔ شکل میں  $\zeta = 0.02$  کے خط کو نقطہ دار لکیر سے دکھایا گیا ہے۔ تقصیری تناسب کی قیمت صفر ہونا دور میں گونج یا گمک<sup>31</sup> کو ظاہر کرتی ہے۔

شکل 12.19-ب میں تبادلی تفاعل کا زاویائی خط  $\zeta = 0.1, 0.2, 0.4, 0.6, 0.8, 1$  کے لئے دکھایا گیا ہے۔



(الف)



(ب)

شکل 12.19: مختلف تقصیری تناسب کے لئے مخلوط جوڑی دار قطب کے تقابل کے خط۔

## 12.4 گمکی ادوار

## سلسلہ وار گمک

شکل 12.20 میں سلسلہ وار دور دکھایا گیا ہے جس کی رکاوٹ

$$(12.33) \quad Z(\omega) = R + j\omega L + \frac{1}{j\omega C} = R + j(\omega L - \frac{1}{\omega C})$$

ہے۔ قوسین کی قیمت صفر ہونے کی صورت میں اس دور کی رکاوٹ حقیقی مقدار

$$(12.34) \quad Z(\omega) = R$$

یعنی مزاحمتی ہوگی۔ ایسا ایک مخصوص تعدد  $\omega_0$  پر ممکن ہے جسے قوسین صفر کے برابر پر کرنے

$$\omega L - \frac{1}{\omega C} = 0$$

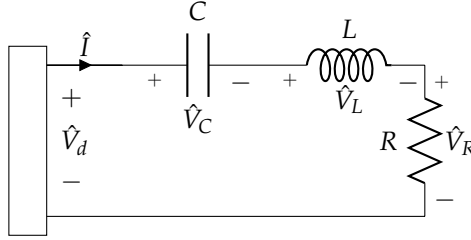
سے حاصل کیا جاسکتا ہے۔

$$(12.35) \quad \omega_0 = \frac{1}{\sqrt{LC}} \quad \text{گمکی تعدد}$$

اس تعدد ( $\omega_0$ ) کو دور کی گمکی تعدد<sup>32</sup> کہتے ہیں اور اس تعدد پر دور گونجتا یا گمکتا ہے۔ ایسا دور جو گونج سکتا ہو کو گمکی دور<sup>33</sup> کہتے ہیں۔

گمکی تعدد پر امالی متعاملیت اور برق گیر متعاملیت برابر ہوتے ہیں۔ چونکہ سلسلہ وار دور میں یکساں رو پائی جاتی ہے لہذا گمکی تعدد پر امالی دباو اور برق گیر دباو مقدار میں برابر لیکن آپس میں  $180^\circ$  زاویے پر ہوں گے۔ زاویائی طور پر آپس میں بالکل الٹ ہونے کی بنا ان کا مجموعہ صفر کے برابر ہو گا اور یوں شکل 12.20 میں داخلی دباو  $\hat{V}_d$  اور مزاحمتی دباو  $\hat{V}_R$  برابر ہوں گے۔

resonant frequency<sup>32</sup>  
resonant circuit<sup>33</sup>



شکل 12.20: سلسلہ وار RLC دور۔

گمکی تعدد سے ہٹ کر کسی بھی تعدد پر مساوات 12.33 کا خیالی جزو صفر کے برابر نہیں ہو گا لہذا رکاوٹ کی حتمی قیمت  $R$  سے زیادہ ہو گی۔ آپ دیکھ سکتے ہیں کہ گمکی تعدد پر رکاوٹ کی قیمت کم سے کم ہو گی اور رو کی قیمت زیادہ سے زیادہ ہو گی۔ گمکی تعدد پر دور میں رو اور داخلی دباؤ ہم زاویہ ہوں گے۔ گمکی تعدد سے کم تعدد پر برق گیر متعاملیت کی مقدار امالی متعاملیت کے مقدار سے زیادہ ہو گی لہذا سلسلہ وار رکاوٹ برق گیر خاصیت رکھے گا اور داخلی دباؤ سے رو آگے پائی جائے گی۔ اس کے برعکس گمکی تعدد سے زیادہ تعدد پر امالی متعاملیت کی مقدار برق گیر متعاملیت کی مقدار سے زیادہ ہو گی لہذا کل رکاوٹ امالی ہو گا اور داخلی دباؤ سے رو پیچھے ہو گی۔ رکاوٹ کی مقدار بالمقابل تعدد کو شکل 12.21 میں دکھایا گیا ہے۔

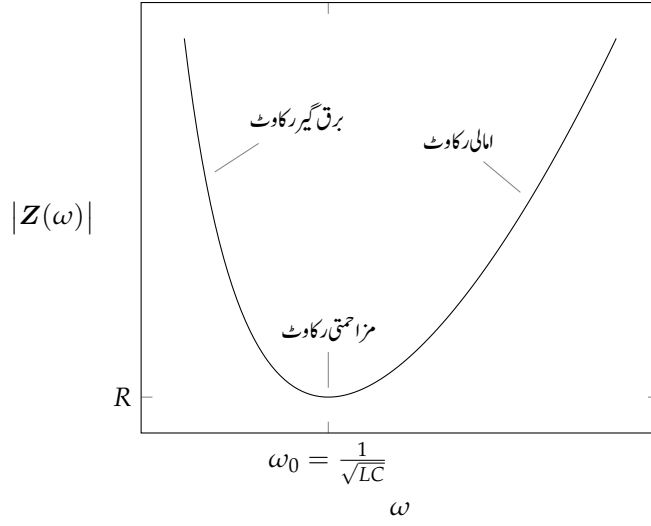
رو کے حوالے سے تینوں پروزوں کے دباؤ کے دوری سمتیات شکل 12.22 میں دکھائے گئے ہیں۔ گمکی تعدد سے کم تعدد پر برق گیر کا دباؤ امالہ گیر کے دباؤ سے زیادہ ہے لہذا داخلی دباؤ  $V_d$  سے رو آگے ہے۔ گمکی تعدد پر داخلی دباؤ اور رو ہم زاویہ ہیں جبکہ گمکی تعدد سے زیادہ تعدد پر امالہ کی متعاملیت برق گیر کے متعاملیت سے زیادہ ہے لہذا امالی دباؤ کی قیمت برق گیر دباؤ سے زیادہ ہے اور یوں داخلی دباؤ سے رو پیچھے ہے۔ داخلی دباؤ اور رو کے مابین زاویہ  $\theta_z$  مساوات 12.33 میں دیے رکاوٹ کا زاویہ ہے۔

$$(12.36) \quad \theta_z = \tan^{-1} \frac{\omega L - \frac{1}{\omega C}}{R}$$

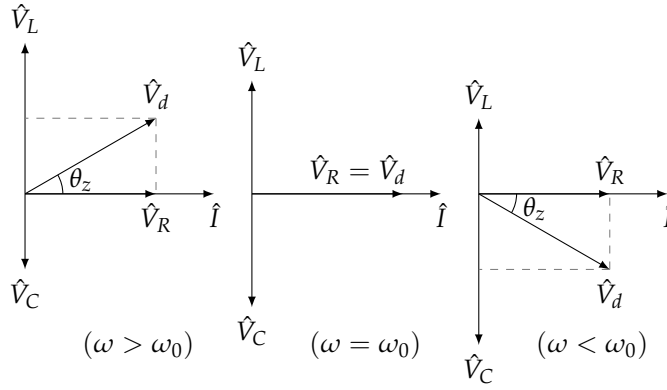
سلسلہ وار RLC دور کا معیاری مستقل  $Q$ <sup>34</sup> نہایت اہم مقدار ہے جس کی تعریف درج ذیل مساوات دیتی ہے۔

$$(12.37) \quad Q = \frac{\omega_0 L}{R} = \frac{1}{\omega_0 C R} = \frac{1}{R} \sqrt{\frac{L}{C}}$$

quality factor<sup>34</sup>



شکل 12.21: سلسلہ وار RLC کی رکاوٹ بالمتقابل تعدد کا خط۔



شکل 12.22: سلسلہ وار RLC کے دوری سمتیات۔



گمکی تعدد پر  $\omega_0 L = \frac{1}{\omega_0 C}$  ہوتا ہے لہذا رکاؤٹ

$$Z = R + j \left( \omega_0 L - \frac{1}{\omega_0 C} \right) = R$$

ہو گا جس سے

$$\hat{I} = \frac{\hat{V}_d}{Z} = \frac{\hat{V}_d}{R}$$

اور

$$\hat{V}_L = j\omega_0 L \hat{I} = \frac{j\omega_0 L \hat{V}_d}{R}$$

$$\hat{V}_C = \frac{\hat{I}}{j\omega_0 C} = \frac{\hat{V}_d}{j\omega_0 RC}$$

$$\hat{V}_R = \hat{I}R = \hat{V}_d$$

حاصل ہوتے ہیں۔ درج بالا مساوات میں دونوں جانب حقیقی قیمتیں لیتے ہوئے گمکی تعدد کے لئے درج ذیل لکھا جاسکتا ہے

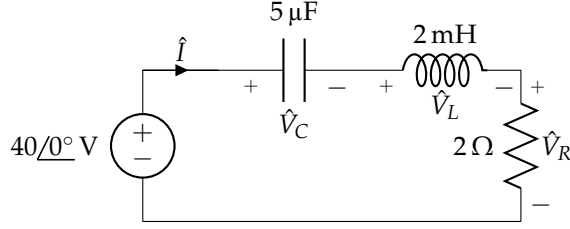
$$\begin{aligned} V_L &= QV_d \\ V_C &= QV_d \\ V_R &= V_d \end{aligned} \quad (12.38)$$

جہاں دباؤ کے حقیقی قیمتوں کو  $V_L$  ،  $V_C$  ،  $V_R$  اور  $V_d$  لکھا گیا ہے۔ مساوات 12.38 کے تحت گمکی تعدد پر امالی دباؤ اور برق گیر دباؤ کی قیمتیں داخلی دباؤ کے  $Q$  گنا ہوں گے۔ یوں  $Q > 1$  کی صورت میں امالی اور برق گیر دباؤ کی قیمت داخلی دباؤ سے زیادہ ہوگی۔

مثال 12.10: شکل 12.23 کے دور کی گمکی تعدد اور معیاری مستقل دریافت کریں۔ گمکی تعدد پر رو حاصل کرتے ہوئے تینوں پروزوں کے دباؤ حاصل کریں۔

حل: گمکی تعدد اور معیاری مستقل دریافت کرتے ہیں۔

$$\begin{aligned} \omega_0 &= \frac{1}{\sqrt{LC}} = \frac{1}{\sqrt{2 \times 10^{-3} \times 5 \times 10^{-6}}} = 10 \text{ krad s}^{-1} \\ Q &= \frac{\omega_0 L}{R} = \frac{10000 \times 2 \times 10^{-3}}{2} = 10 \end{aligned}$$



شکل 12.23: مثال 12.10 کا دور۔

گمکی تعدد پر رو حاصل کرتے ہیں۔

$$\hat{I} = \frac{40/0^\circ}{2 + j10000 \times 2 \times 10^{-3} - \frac{j}{10000 \times 5 \times 10^{-6}}} = 20/0^\circ \text{ A}$$

چونکہ گمکی تعدد پر رکاوٹ مزاحمتی ہوتا ہے لہذا رو کو  $i = \frac{40/0^\circ}{2} = 20/0^\circ \text{ A}$  سے بھی حاصل کیا جاسکتا ہے۔

پرزوں کے دباؤ حاصل کرتے ہیں۔

$$\hat{V}_R = \hat{I}R = (20/0^\circ)(2) = 40/0^\circ \text{ V}$$

$$\hat{V}_L = (j\omega_0 L)\hat{I} = j10000 \times 2 \times 10^{-3} \times 20/0^\circ = 400/90^\circ \text{ V}$$

$$\hat{V}_C = \left( \frac{-j}{\omega_0 C} \right) \hat{I} = \frac{-j \times 20/0^\circ}{10000 \times 5 \times 10^{-6}} = 400/-90^\circ \text{ V}$$

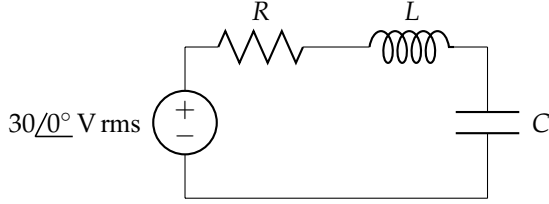
دباؤ کے یہی جوابات مساوات 12.38 کی مدد سے بھی حاصل کئے جاسکتے ہیں یعنی

$$V_R = V_d = 40 \text{ V}$$

$$V_L = QV_d = 10 \times 40 = 400 \text{ V}$$

$$V_C = QV_d = 10 \times 40 = 400 \text{ V}$$

جہاں مزاحمتی دباؤ اور داخلی دباؤ ہم زاویہ ہیں جبکہ امالی دباؤ اور برق گیر دباؤ بالترتیب داخلی دباؤ سے  $90^\circ$  آگے اور پیچھے ہیں۔ اس مثال میں  $Q = 10$  ہے لہذا گمکی تعدد پر امالی اور برق گیر دباؤ کی قیمتیں داخلی دباؤ سے دس گنا زیادہ ہیں۔



شکل 12.24: مثال 12.11 اور مشق 12.8 کا دور۔

مثال 12.11: برق گیر استعمال کرتے ہوئے ضروری ہے کہ برق گیر کی استعداد سے تجاوز نہ کیا جائے۔ برق گیر پر اس کے استعداد سے زیادہ دباؤ ڈالنے سے برق گیر غیر فعال ہو جائے گا۔ برق گیر عموماً غیر فعال ہونے کی صورت میں خوفناک دھماکے سے پھٹتا ہے۔ جزو طاقت درست کرنے والے برق گیر یا کارخانوں میں دیگر استعمال ہونے والے بڑے جسامت کے برق گیر کا پھٹنا جان لیوا ثابت ہو سکتا ہے۔

آپ جانتے ہیں کہ تار لپیٹنے سے امالہ گیر بنایا جاتا ہے۔ یوں نہ چاہتے ہوئے بھی امالہ گیر میں درکار امالی رکاوٹ کے ساتھ ساتھ غیر مطلوب مزاحمتی رکاوٹ بھی پایا جاتا ہے۔ شکل 12.24 میں ایسا ہی امالہ گیر اور برق گیر سلسلہ وار جوڑے گئے ہیں جہاں  $L = 90 \text{ mH}$  اور  $C = 100 \mu\text{F}$  ہیں۔ امالہ گیر کا معیاری مستقل  $Q = 6$  ہے۔ برق گیر پر گمکی تعدد پر دباؤ حاصل کریں۔

حل: معیاری مستقل کی قیمت سے گمکی تعدد پر برق گیر کا دباؤ درج ذیل حاصل ہوتا ہے۔

$$V_C = QV_d = 6 \times 30 = 180 \text{ V rms}$$

یوں اس دور کو استعمال کرنے سے پہلے تسلی کر لیں کہ استعمال ہونے والے برق گیر کی استعداد کم از کم  $180 \text{ V rms}$  ہے۔

مشق 12.8: شکل 12.24 میں  $C = 10 \mu\text{F}$  ہے اور گمکی تعدد پر  $I = 15 \text{ A rms}$  اور  $V_C = 120 \text{ V rms}$  ہیں۔ امالہ اور مزاحمت دریافت کریں۔

جوابت:  $L = 0.64 \text{ mH}$  ،  $R = 2 \Omega$

مشق 12.9: سلسلہ وار  $RLC$  دور میں داخلی دباؤ  $22 \cos \omega t \text{ V}$  ہے۔ مزاحمت  $2 \Omega$  اور  $L = 120 \mu\text{H}$  ہے۔ دور کی گمکی تعدد  $f_0 = 10 \text{ kHz}$  کے لئے درکار برق گیر معلوم کریں۔ دور میں  $f_0$  ،  $\frac{f_0}{2}$  اور  $2f_0$  پر رو دریافت کریں۔

جوابت:  $C = 2.11 \mu\text{F}$  ،  $11 \cos(20000\pi t) \text{ A}$  ،  $1.92 \cos(40000\pi - 80^\circ) \text{ A}$  ،  $1.92 \cos(10000\pi + 80^\circ) \text{ A}$

آئیں شکل 12.20 میں دکھائے گئے سلسلہ وار  $RLC$  دور میں  $\frac{\hat{V}_R}{\hat{V}_d}$  تناسب کے لئے  $Q$  ،  $\omega_0$  اور  $\omega$  پر مبنی عمومی مساوات حاصل کریں۔ مساوات 12.37 سے  $\frac{L}{R} = \frac{Q}{\omega_0}$  اور  $\frac{1}{RC} = Q\omega_0$  کو دور کے رکاوٹ میں پر کرتے ہیں۔

$$\begin{aligned} Z(j\omega) &= R + j\left(\omega L - \frac{1}{\omega C}\right) \\ &= R\left[1 + j\left(\frac{\omega L}{R} - \frac{1}{\omega RC}\right)\right] \\ &= R\left[1 + jQ\left(\frac{\omega}{\omega_0} - \frac{\omega_0}{\omega}\right)\right] \end{aligned}$$

دور میں رو

$$\begin{aligned} \hat{I} &= \frac{\hat{V}_d}{Z} \\ &= \frac{\hat{V}_d}{R\left[1 + jQ\left(\frac{\omega}{\omega_0} - \frac{\omega_0}{\omega}\right)\right]} \end{aligned}$$

سے مزاحمتی دباؤ  $\hat{V}_R = \hat{I}R$  لکھ کر دباؤ کا تناسب لکھتے ہیں

$$\frac{\hat{V}_R}{\hat{V}_d} = \frac{1}{1 + jQ\left(\frac{\omega}{\omega_0} - \frac{\omega_0}{\omega}\right)}$$

جس کی حتمی مقدار  $M(\omega)$  اور زاویہ  $\phi(\omega)$  درج ذیل ہیں جنہیں شکل 12.25 میں دکھایا گیا ہے۔

$$(12.39) \quad M(\omega) = \frac{1}{\sqrt{1 + Q^2\left(\frac{\omega}{\omega_0} - \frac{\omega_0}{\omega}\right)^2}}$$

$$(12.40) \quad \phi(\omega) = -\tan^{-1} Q\left(\frac{\omega}{\omega_0} - \frac{\omega_0}{\omega}\right)$$

مقدار بالمقابل تعدد کا خط پٹی گزار چھلنی<sup>35</sup> کی طرح ہے۔ انہیں اس کے کونے دریافت کرتے ہیں۔ کونوں پر طاقت کی قیمت نصف ہوتی ہے۔ نصف طاقت  $\frac{1}{\sqrt{2}}$  گنارو پر پایا جاتا ہے یوں مساوات 12.39 میں  $M(\omega) = \frac{1}{\sqrt{2}}$  پر کرنے سے کونوں کی تعدد (انقطاعی تعدد) دریافت کئے جاسکتے ہیں۔

$$\frac{1}{\sqrt{1 + Q^2\left(\frac{\omega}{\omega_0} - \frac{\omega_0}{\omega}\right)^2}} = \frac{1}{\sqrt{2}}$$

اس سے

$$Q\left(\frac{\omega}{\omega_0} - \frac{\omega_0}{\omega}\right) = \mp 1$$

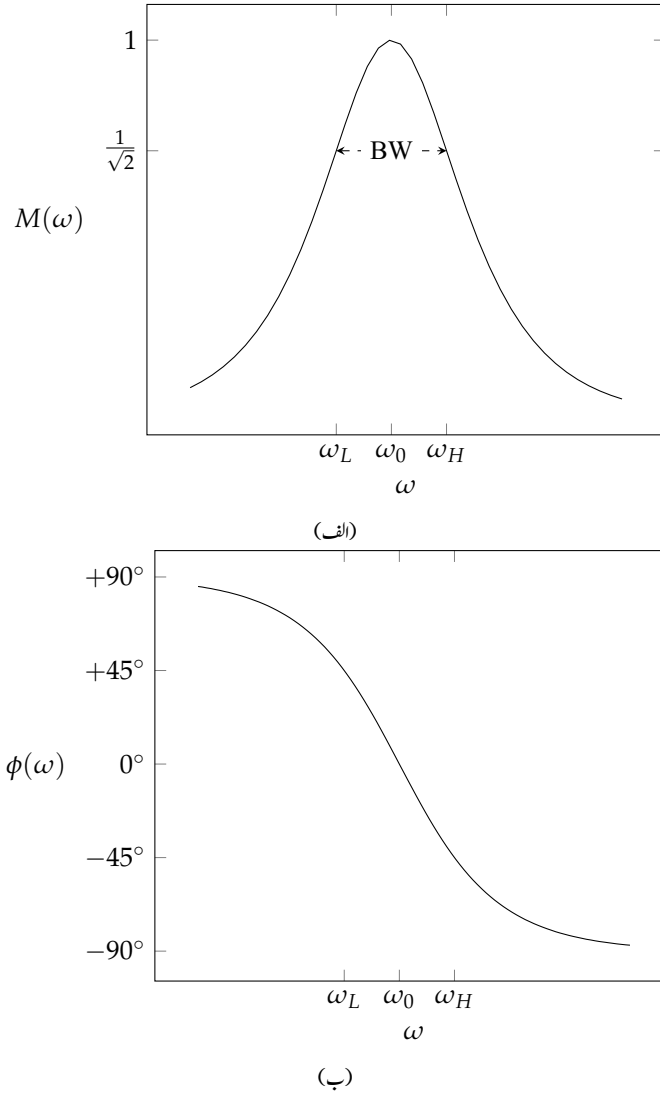
یعنی

$$\omega = \mp \frac{\omega_0}{2Q} \mp \omega_0 \sqrt{\frac{1}{(2Q)^2} + 1}$$

حاصل ہوتا ہے۔ منفی تعدد کے جوابات رد کرتے ہوئے صرف مثبت جوابات تسلیم کرتے ہوئے درج ذیل کونے حاصل ہوتے ہیں۔

$$(12.41) \quad \omega_L = \omega_0 \left[ -\frac{1}{2Q} + \sqrt{\frac{1}{(2Q)^2} + 1} \right]$$

$$(12.42) \quad \omega_H = \omega_0 \left[ +\frac{1}{2Q} + \sqrt{\frac{1}{(2Q)^2} + 1} \right]$$



شکل 12.25: مقدار بالمتقابل تعدد اور زاویہ بالمتقابل تعدد کے خط۔

پست تعددی کو  $\omega_L$  اور بلند تعددی کو  $\omega_H$  کے مابین خطہ عرض پٹی<sup>36</sup> کہلاتا اور BW سے ظاہر کیا جاتا ہے۔

$$(12.43) \quad BW = \omega_H - \omega_L = \frac{\omega_0}{Q} \quad \text{عرض پٹی}$$

عرض پٹی کے مساوات کو درج ذیل بھی لکھا جاسکتا ہے۔

$$(12.44) \quad BW = \frac{\omega_0}{Q} = \frac{\frac{1}{\sqrt{LC}}}{\frac{1}{R} \sqrt{\frac{L}{C}}} = \frac{R}{L}$$

چونکہ کونوں پر طاقت گھٹ کر نصف رہ جاتا ہے اور نصف طاقت 3 dB کہلاتا ہے لہذا تعددی پٹی کو تین ڈیسی بیل پٹی<sup>37</sup> بھی کہتے ہیں۔

کونوں کے تعدد کو ضرب دینے سے درج ذیل حاصل ہوتا ہے لہذا گمکی تعدد دونوں انقطاعی تعدد کا ہندسی اوسط ہے۔

$$(12.45) \quad \omega_H \omega_L = \omega_0^2$$

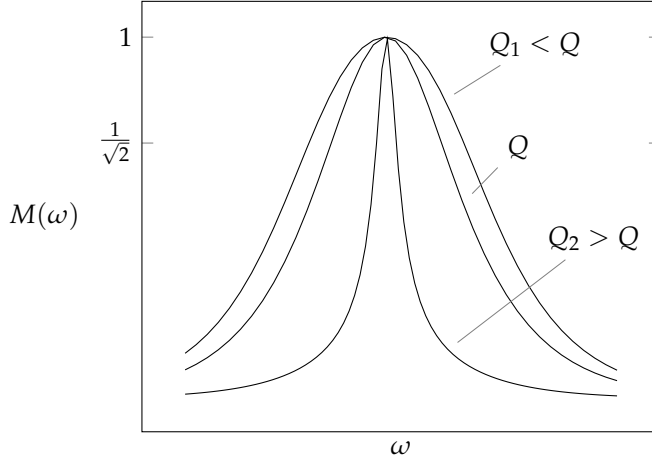
پست انقطاعی کو  $45^\circ$  پر زاویہ، بلند انقطاعی کو  $45^\circ$  پر اور گمکی تعدد پر  $0^\circ$  ہے۔

مشق 12.10: شکل 12.23 کے دور کی پست انقطاعی تعدد  $\omega_L$ ، بلند انقطاعی تعدد  $\omega_H$  اور عرض پٹی BW دریافت کریں۔

جوابات:  $BW = 1000 \text{ rad s}^{-1}$ ،  $\omega_H = 10512 \text{ rad s}^{-1}$ ،  $\omega_L = 9512 \text{ rad s}^{-1}$

مساوات 12.37 کے تحت زیادہ Q کے لئے کم R درکار ہے اور مساوات 12.43 کے تحت تنگ عرض پٹی کے لئے زیادہ Q درکار ہے۔ یوں تنگ Q کم R کی صورت میں حاصل ہوگا۔ تنگ عرض پٹی کا دور نہایت عمدگی سی مخصوص تعدد کو چنے کی صلاحیت رکھتا ہے۔ شکل 12.26 میں مختلف Q کے لئے مساوات 12.39 کو دکھایا گیا ہے۔ داخلی اشارات سے صرف وہ اشارات خارجی جانب پہنچتے ہیں جو عرض پٹی پر پائے جاتے ہوں۔ عرض پٹی سے باہر تعدد کے اشارات گھٹتے ہیں۔ یوں RLC بطور پٹی گزار چھلنی کام کرتا ہے۔

<sup>36</sup> bandwidth  
<sup>37</sup> 3 dB bandwidth



شکل 12.26: عرض پٹی بالقابل معیاری مستقل۔

معیاری مستقل  $Q$  کو توانائی کے نقطہ نظر سے دیکھا جاسکتا ہے۔ شکل 12.27 پر غور کریں جہاں  $RLC$  کو گمکی تعدد کا اشارہ مہیا کیا گیا ہے۔ گمکی تعدد پر رکاوٹ  $Z = R$  ہوتی ہے لہذا  $i(t) = \frac{V_m}{R} \cos \omega_0 t$  اور برق گیر کا دباؤ

$$\hat{V}_C = \frac{1}{j\omega_0 C} \hat{I} = \frac{1}{j\omega_0 C} \frac{V_m}{R} \angle 0^\circ = \frac{V_m}{\omega_0 RC} \angle -90^\circ$$

یعنی

$$v_C(t) = \frac{V_m}{\omega_0 RC} \cos(\omega_0 t - 90^\circ) \text{ V} = \frac{V_m}{\omega_0 RC} \sin \omega_0 t \text{ V}$$

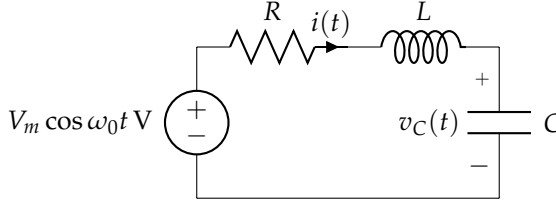
لکھا جائے گا۔ آپ کو یاد ہو گا کہ امالہ گیر میں  $\frac{Li^2}{2}$  اور برق گیر میں  $\frac{Cv^2}{2}$  توانائی ذخیرہ ہوتی ہے لہذا امالہ گیر کی توانائی

$$(12.46) \quad w_L(t) = \frac{1}{2} Li^2(t) = \frac{1}{2} L \left( \frac{V_m}{R} \cos \omega_0 t \right)^2 = \frac{LV_m^2}{2R^2} \cos^2 \omega_0 t \text{ J}$$

اور برق گیر کی توانائی

$$w_C(t) = \frac{1}{2} Cv^2(t) = \frac{1}{2} C \left( \frac{V_m}{\omega_0 RC} \sin \omega_0 t \right)^2 = \frac{V_m^2}{2\omega_0^2 R^2 C} \sin^2 \omega_0 t \text{ J}$$





شکل 12.27: سلسلہ وار RLC کو گمکی تعدد کا اشارہ مہیا کیا گیا ہے۔

لکھی جائے گی۔ گمکی تعدد پر  $\omega_0^2 = \frac{1}{LC}$  ہوتا ہے لہذا برق گیر کی توانائی کو درج ذیل لکھا جاسکتا ہے۔

$$(12.47) \quad w_C(t) = \frac{V_m^2}{2\frac{1}{LC}R^2C} \sin^2 \omega_0 t = \frac{LV_m^2}{2R^2} \sin^2 \omega_0 t \text{ J}$$

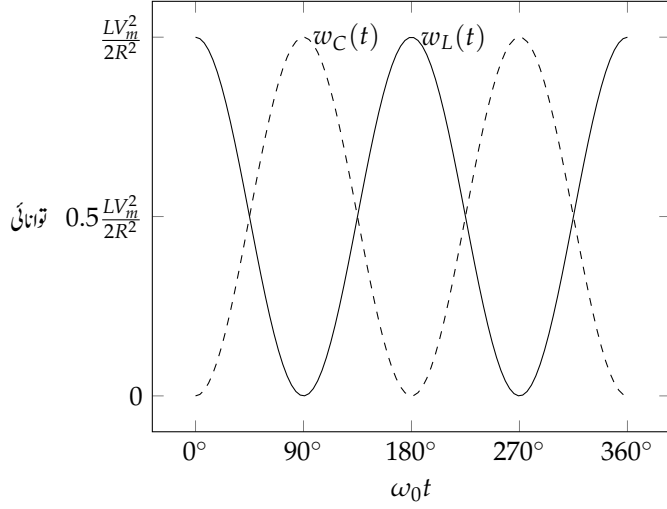
دور میں کل ذخیرہ توانائی ان دونوں کا مجموعہ ہے

$$(12.48) \quad \begin{aligned} w_{\text{ذخیرہ}} &= w_L(t) + w_C(t) \\ &= \frac{LV_m^2}{2R^2} \cos^2 \omega_0 t + \frac{LV_m^2}{2R^2} \sin^2 \omega_0 t \\ &= \frac{LV_m^2}{2R^2} \end{aligned}$$

جہاں آخری قدم پر  $\cos^2 \theta + \sin^2 \theta = 1$  کا استعمال کیا گیا ہے۔ یوں دور میں کل ذخیرہ توانائی وقت کے ساتھ تبدیل نہیں ہوتی اور اس کی مقدار اٹل ہے۔

مساوات 12.46 اور مساوات 12.47 کو شکل 12.28 میں دکھایا گیا ہے۔ ان مساوات کے تحت امالہ گیر اور برق گیر میں ذخیرہ توانائی وقت کے ساتھ تبدیل ہوتی ہے جبکہ مساوات 12.48 کے تحت ان کا مجموعہ اٹل مقدار ہے۔ یہ ایک دلچسپ صورت حال ہے۔ لمحہ  $\omega_0 t = 0^\circ$  پر امالہ گیر کی توانائی زیادہ سے زیادہ جبکہ برق گیر کی توانائی صفر ہوتی ہے۔ اس کے برعکس  $\omega_0 t = 90^\circ$  پر امالہ گیر کی توانائی صفر جبکہ برق گیر کی توانائی زیادہ سے زیادہ ہوتی ہے۔ آپ دیکھ سکتے ہیں کہ جیسے جیسے ایک پرزے میں ذخیرہ توانائی گھٹتی ہے ویسے ویسے دوسرے پرزے میں ذخیرہ توانائی بڑھتی ہے۔ ہر لمحہ ایک پرزے میں توانائی کی کمی دوسرے پرزے میں توانائی کے اضافے کے برابر ہوتی ہے۔

گمکی تعدد پر سلسلہ وار RLC میں کل  $\frac{LV_m^2}{2R^2}$  توانائی ذخیرہ ہوتی ہے۔ انہیں تعدد کے ایک چکر میں توانائی کا ضیاع  $w_{\text{ضیاع}}$



شکل 12.28: گئی دور میں توانائی کا تبادلہ۔

دریافت کریں۔ توانائی صرف مزاحمت میں ضائع ہوتی ہے۔

$$w_{\text{ضیاع}} = \int_0^T i^2(t) R dt = \int_0^T \left( \frac{V_m}{R} \cos \omega_0 t \right)^2 R dt = \frac{V_m^2 T}{2R}$$

کل ذخیرہ توانائی اور فی چکر توانائی کے ضیاع کا تناسب لکھتے ہیں۔

$$\frac{w_{\text{ذخیرہ}}}{w_{\text{ضیاع}}} = \frac{\frac{LV_m^2}{2R^2}}{\frac{V_m^2 T}{2R}} = \frac{L}{RT} = \frac{L}{R \frac{2\pi}{\omega_0}} = \frac{\omega_0 L}{2\pi R}$$

چونکہ  $\frac{\omega_0 L}{R} = Q$  ہے لہذا درج ذیل لکھا جاسکتا ہے جو معیاری مستقل  $Q$  کی عمومی تعریف ہے۔

$$(12.49) \quad Q = 2\pi \frac{w_{\text{ذخیرہ}}}{w_{\text{ضیاع}}} \quad \text{معیاری مستقل کی عمومی تعریف}$$

معیاری مستقل کی عمومی تعریف برقی میدان کے علاوہ میکانیکی میدان اور سمعی میدان میں بھی استعمال ہوتی ہے۔ آپ دیکھ سکتے ہیں کہ کم مزاحمت ضیاع کے دور کا معیاری مستقل زیادہ ہو گا۔

مثال 12.12: سلسلہ وار RLC دور میں  $R = 1 \Omega$  ،  $L = 2 \text{ mH}$  اور  $C = 20 \mu\text{F}$  ہیں۔ دور کی  $\omega_0$  ،  $Q$  اور  $BW$  حاصل کریں۔ مزاحمت کی قیمت  $R = 0.1 \Omega$  کرتے ہوئے تینوں قیمتیں دوبارہ حاصل کریں۔

حل: درکار قیمتیں حاصل کرتے ہیں۔

$$\omega_0 = \frac{1}{\sqrt{LC}} = \frac{1}{\sqrt{2 \times 10^{-3} \times 20 \times 10^{-6}}} = 5000 \text{ rad s}^{-1}$$

$$Q = \frac{1}{R} \sqrt{\frac{L}{C}} = \frac{1}{1} \sqrt{\frac{2 \times 10^{-3}}{20 \times 10^{-6}}} = 10$$

$$BW = \frac{\omega_0}{Q} = \frac{5000}{10} = 500 \text{ rad s}^{-1}$$

مزاحمت کی قیمت دس گنا کم کرنے کے بعد تمام قیمتیں دوبارہ حاصل کرتے ہیں۔ چونکہ گنکی تعدد میں مزاحمت کا کوئی دخل نہیں ہے لہذا اس کی قیمت وہی رہے گی۔

$$Q = \frac{1}{R} \sqrt{\frac{L}{C}} = \frac{1}{0.1} \sqrt{\frac{2 \times 10^{-3}}{20 \times 10^{-6}}} = 100$$

$$BW = \frac{\omega_0}{Q} = \frac{5000}{100} = 50 \text{ rad s}^{-1}$$

مزاحمت کی قیمت دس گنا کم کرنے سے معیاری مستقل کی قیمت دس گنا بڑھتی ہے جبکہ عرض پٹی دس گنا کم ہوتی ہے۔

مشق 12.11: سلسلہ وار RLC دور میں  $R = 2 \Omega$  ،  $L = 1 \text{ mH}$  اور  $C = 2 \mu\text{H}$  ہیں۔ گنکی تعدد، معیاری مستقل اور عرض پٹی دریافت کریں۔

$$\text{جوابات: } \omega_0 = 22361 \text{ rad s}^{-1} , Q = 11.2 , BW = 2000 \text{ rad s}^{-1}$$

مشق 12.12: سلسلہ وار  $RLC$  دور کا  $R = 5 \Omega$  ،  $\omega_0 = 6 \text{ krad s}^{-1}$  اور  $BW = 600 \text{ rad s}^{-1}$  ہیں۔ آپ سے گزارش ہے کہ  $L$  اور  $C$  دریافت کریں۔

جوابات:  $C = 3.33 \mu\text{F}$  ،  $L = 8.33 \text{ mH}$

مثال 12.13: ایسا سلسلہ وار  $RLC$  دور تخلیق دیں کہ  $\omega_0 = 1000 \text{ rad s}^{-1}$  اور  $BW = 80 \text{ rad s}^{-1}$  ہوں۔

حل: گہی تعدد اور عرض پٹی کے مساوات درج ذیل ہیں۔

$$\omega_0 = \frac{1}{\sqrt{LC}}$$

$$BW = \frac{\omega_0}{Q} = \frac{\frac{1}{\sqrt{LC}}}{\frac{1}{R}\sqrt{\frac{L}{C}}} = \frac{R}{L}$$

ہم دیکھتے ہیں کہ درکار متغیرات تین جبکہ مساوات دو عدد ہیں۔ تخلیق کے دوران عموماً ایسی ہی مسائل درپیش آتے ہیں جہاں ممکنہ مساوات سے تمام جوابات حاصل کرنا ممکن نہیں ہوتا۔ ایسے مسائل تجربے سے حل کئے جاتے ہیں۔ تجربے کی بنیاد پر کسی ایک متغیرہ کو چنتے ہوئے بقایا کو مساوات کے ذریعہ حاصل کیا جاتا ہے۔ اگر حاصل جوابات قابل قبول نہ ہوں تب متغیرہ کی قیمت تبدیل کرتے ہوئے دوبارہ حل کیا جاتا ہے۔ یہ سلسلہ اس وقت تک جاری رکھا جاتا ہے جب تک قابل قبول جوابات حاصل نہ ہوں جائے۔

ہم برق گیر کی قیمت ایسی چنتے ہیں جو دستیاب ہو مثلاً  $C = 10 \mu\text{F}$  لہذا درج ذیل قیمتیں حاصل ہوتی ہیں۔

$$L = \frac{1}{\omega_0^2 C} = \frac{1}{1000^2 \times 10 \times 10^{-6}} = 0.1 \text{ H}$$

$$R = (L)(BW) = 0.1 \times 80 = 8 \Omega$$

مساوات 12.38 کے تحت سلسلہ وار RLC دور میں گمکی تعدد پر امالی دباؤ اور برق گیر دباؤ کی قیمتیں داخلی دباؤ کے Q گنا ہوتی ہیں۔ آئیں دیکھیں کہ آیا امالی دباؤ اور برق گیر دباؤ کی زیادہ سے زیادہ قیمت گمکی تعدد پر ہی پائی جاتی ہے یا کہ کسی دوسری تعدد پر۔ شکل 12.29 کو دیکھتے ہوئے برق گیر کا دباؤ لکھتے ہیں

$$\hat{V}_C = \left( \frac{\frac{1}{j\omega C}}{R + j\omega L + \frac{1}{j\omega C}} \right) \hat{V}_m$$

جس کو ترتیب دے کر ذیل لکھا جاسکتا ہے۔

$$(12.50) \quad \hat{V}_C = \frac{\hat{V}_m}{1 - \omega^2 LC + j\omega RC}$$

اس کی حتمی قیمت حاصل کرتے ہیں۔

$$(12.51) \quad |\hat{V}_C| = \frac{|\hat{V}_m|}{\sqrt{(1 - \omega^2 LC)^2 + (\omega RC)^2}}$$

زیادہ سے زیادہ  $|\hat{V}_C|$  پر تعدد بلند تر طاقت  $\omega$  درج ذیل عمل

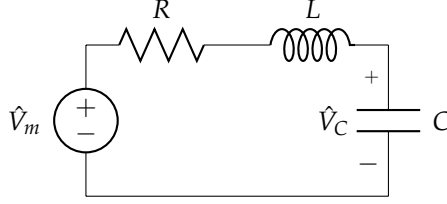
$$\frac{d|\hat{V}_C|}{d\omega} = 0$$

سے

$$(12.52) \quad \omega_{\text{بلند تر طاقت}} = \sqrt{\frac{1}{LC} - \frac{1}{2} \left( \frac{R}{L} \right)^2}$$

حاصل ہوتی ہے جس میں  $\omega_0^2 = \frac{1}{LC}$  اور  $Q = \frac{\omega_0 L}{R}$  پر کرتے ہوئے

$$(12.53) \quad \begin{aligned} \omega_{\text{بلند تر طاقت}} &= \sqrt{\omega_0^2 - \frac{1}{2} \left( \frac{\omega_0}{Q} \right)^2} \\ &= \omega_0 \sqrt{1 - \frac{1}{2Q^2}} \end{aligned}$$



شکل 12.29: برقی گیر پر زیادہ سے زیادہ دباؤ۔

لکھا جاسکتا ہے۔ درج بالا مساوات کے تحت زیادہ سے زیادہ دباؤ گمکی تعدد پر نہیں پایا جاتا اگرچہ  $Q$  کی قیمت زیادہ ہونے کی صورت میں درج بالا تعدد تقریباً گمکی تعدد ہی ہوگی۔ مساوات 12.53 کو مساوات 12.51 میں پر کرتے ہوئے اور  $\omega_0^2 = \frac{1}{LC}$  اور  $\omega_0^2 R^2 C^2 = \frac{1}{Q^2}$  استعمال کرتے ہوئے زیادہ سے زیادہ دباؤ کی قیمت حاصل ہوتی ہے

$$(12.54) \quad |\hat{V}_C|_{\text{بلندتر}} = \frac{Q|\hat{V}_m|}{\sqrt{1 - \frac{1}{4Q^2}}}$$

جو  $Q \gg 1$  کی صورت میں درج ذیل قیمت اختیار کرتا ہے۔

$$(12.55) \quad |\hat{V}_C|_{\text{بلندتر}} \approx Q|\hat{V}_m|$$

مثال 12.14: شکل 12.29 میں  $L = 10 \text{ mH}$  اور  $C = 1 \mu\text{F}$  ہیں۔ مزاحمت کی قیمت  $1 \Omega$  اور  $50 \Omega$  ہونے کی صورت میں  $\omega_0$  اور بلندتر  $\omega$  دریافت کریں۔

حل: گمکی تعدد پر مزاحمت کا کوئی اثر نہیں ہے۔

$$\omega_0 = \frac{1}{\sqrt{LC}} = \frac{1}{\sqrt{10 \times 10^{-3} \times 1 \times 10^{-6}}} = 10 \text{ krad s}^{-1}$$

مزاحمت  $50 \Omega$  کی صورت میں

$$Q = \frac{\omega_0 L}{R} = \frac{10000 \times 10 \times 10^{-3}}{50} = 2$$

اور

$$\begin{aligned}
 \omega_{\text{بلندتر}} &= \omega_0 \sqrt{1 - \frac{1}{2Q^2}} \\
 &= 10000 \sqrt{1 - \frac{1}{2 \times 2^2}} \\
 &= 9354 \text{ rad s}^{-1}
 \end{aligned}$$

مزاحمت  $1 \Omega$  کی صورت میں

$$Q = \frac{\omega_0 L}{R} = \frac{10000 \times 10 \times 10^{-3}}{1} = 100$$

اور

$$\begin{aligned}
 \omega_{\text{بلندتر}} &= \omega_0 \sqrt{1 - \frac{1}{2Q^2}} \\
 &= 10000 \sqrt{1 - \frac{1}{2 \times 100^2}} \\
 &\approx 10000 \text{ rad s}^{-1}
 \end{aligned}$$

اصل ہوتے ہیں۔

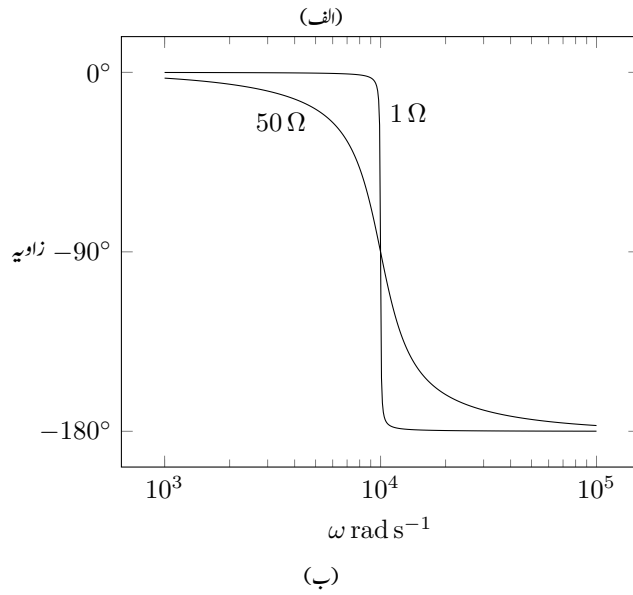
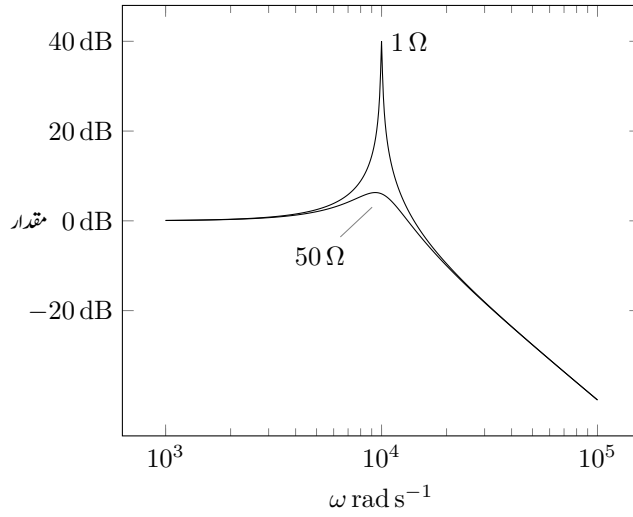
آئیں تبادلہ تفاعل  $\frac{\hat{V}_C}{\hat{V}_m}$  کے خطوط کھینچیں۔ مساوات 12.50 سے  $R = 50 \Omega$  کی صورت میں تبادلہ تفاعل لکھتے ہیں۔

$$(12.56) \quad \frac{\hat{V}_C}{\hat{V}_m} = \frac{1}{1 - 10^{-8}\omega^2 + j50 \times 10^{-6}\omega}$$

اسی طرح  $R = 1 \Omega$  کی صورت میں تبادلہ تفاعل لکھتے ہیں۔

$$(12.57) \quad \frac{\hat{V}_C}{\hat{V}_m} = \frac{1}{1 - 10^{-8}\omega^2 + j1 \times 10^{-6}\omega}$$

ان تبادلہ تفاعل کو شکل 12.30 میں دکھایا گیا ہے۔ آپ نے دیکھا کہ زیادہ  $Q$  والا جال باریک بینی سے تعدد چتا ہے جبکہ کم  $Q$  والا جال اتنی باریک بینی سے تعدد نہیں چتا ہے۔



شکل 12.30: مثال 12.14 کے خطوط۔



## متوازی گمک

اب تک ہم سلسلہ وار RLC کے گمک پر غور کرتے رہے ہیں۔ حقیقت میں متوازی جڑے اور سلسلہ وار جڑے RLC میں مشابہت زیادہ اور فرق کم پایا جاتا ہے۔ شکل 12.31 میں متوازی RLC دکھایا گیا ہے جس کی کرخوف مساوات رو لکھتے ہیں

$$\begin{aligned}
 \hat{I} &= \hat{I}_R + \hat{I}_L + \hat{I}_C \\
 &= \frac{\hat{V}_d}{R} + j\omega C \hat{V}_d + \frac{\hat{V}_d}{j\omega L} \\
 &= \hat{V}_d \left[ G + j \left( \omega C - \frac{1}{\omega L} \right) \right]
 \end{aligned}
 \tag{12.58}$$

جہاں آخری قدم پر  $\frac{1}{R} = G$  لکھا گیا ہے۔ گمکی تعدد  $\omega_0$  پر رو کم سے کم ہوگی۔ کم سے کم رو  $\omega_0 C = \frac{1}{\omega_0 L}$  کی حالت میں حاصل ہوتی ہے جس سے گمکی تعدد حاصل ہوتی ہے۔

$$\omega_0 = \frac{1}{\sqrt{LC}} \quad \text{گمکی تعدد}
 \tag{12.59}$$

مساوات 12.35 میں سلسلہ وار RLC کی گمکی تعدد دی گئی ہے۔ آپ دیکھ سکتے ہیں کہ سلسلہ وار RLC اور متوازی RLC کی گمکی تعدد یکساں ہے۔ گمکی تعدد پر رو درج ذیل ہوگی۔

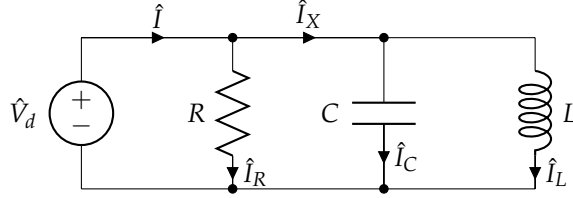
$$\hat{I} = G \hat{V}_d
 \tag{12.60}$$

دور کی داخلی فراوانی  $Y(j\omega)$  لکھتے ہیں

$$Y(j\omega) = G + j\omega C + \frac{1}{j\omega L}
 \tag{12.61}$$

جو گمکی تعدد پر درج ذیل ہوگی۔

$$Y(j\omega_0) = R
 \tag{12.62}$$



شکل 12.31: متوازی RLC کی گمک۔

شکل 12.31 میں گمکی تعدد پر امالی اور برق گیر رو کا مجموعہ حاصل کرتے ہیں۔

$$\begin{aligned}\hat{I}_X &= \hat{I}_C + \hat{I}_L \\ &= j\hat{V}_d \left( \omega_0 C - \frac{1}{\omega_0 L} \right) \\ &= 0 \text{ A}\end{aligned}$$

اس نتیجے کو سمجھنے کی خاطر شکل 12.32 میں دکھائے گئے متوازی جڑے امالہ گیر اور برق گیر کا مجموعی رکاوٹ  $Z_0$  لکھتے ہیں

$$\begin{aligned}\frac{1}{Z_0} &= j\omega_0 C + \frac{1}{j\omega_0 L} \\ &= j \left( \omega_0 C - \frac{1}{\omega_0 L} \right) \\ &= 0\end{aligned}$$

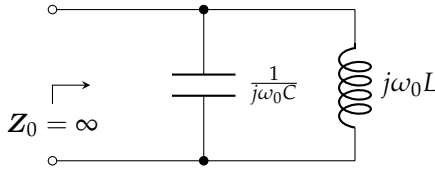
جس سے رکاوٹ لامتناہی حاصل ہوتی ہے۔

(12.63)

$$Z_0 = \infty$$

سلسلہ وار جڑے امالہ گیر اور برق گیر کی گمکی تعدد پر مجموعی رکاوٹ صفر ہوتی ہے جبکہ متوازی جڑے امالہ گیر اور برق گیر کی گمکی تعدد پر رکاوٹ لامتناہی ہوتی ہے۔ لامتناہی رکاوٹ میں رو کی قیمت صفر ہی متوقع ہے۔ اگرچہ گمکی تعدد پر امالہ گیر اور برق گیر کی مجموعی رو صفر کے برابر ہے، ان کی انفرادی رو ہر گز صفر نہیں ہے۔

$$\begin{aligned}\hat{I}_C &= j\omega_0 C \hat{V}_d \\ \hat{I}_L &= -j \frac{\hat{V}_d}{\omega_0 L}\end{aligned}$$



شکل 12.32: گمکی تعدد پر متوازی جڑے امالہ گیر اور برق گیر کی مجموعی رکاوٹ لامتناہی ہے۔

گمکی تعدد پر امالی رو اور برق گیر رو قیمت میں برابر لیکن زاویائی طور پر آپس میں الٹ قدم ( $180^\circ$ ) ہوتی ہیں۔ شکل 12.31 میں گمکی تعدد پر رو  $\hat{I} = G\hat{V}_d$  ہوگی۔ لامتناہی مزاحمت کی صورت میں  $G = 0\text{ S}$  ہوگا لہذا ایسی صورت میں  $\hat{I} = 0\text{ A}$  ہوگی جبکہ  $\hat{I}_C$  اور  $\hat{I}_L$  درج بالا مساوات کے تحت ہوں گی۔ یہاں بھی امالہ گیر اور برق گیر کے مابین توانائی کا تبادلہ ہوتا ہے۔ جیسے جیسے ایک میں توانائی گھٹتی ہے ویسے ویسے دوسرے میں توانائی کا اضافہ ہوتا ہے۔

مساوات 12.58 سے تبدیلی تفاعل  $\frac{\hat{I}}{\hat{V}_d}$  لکھتے ہیں۔

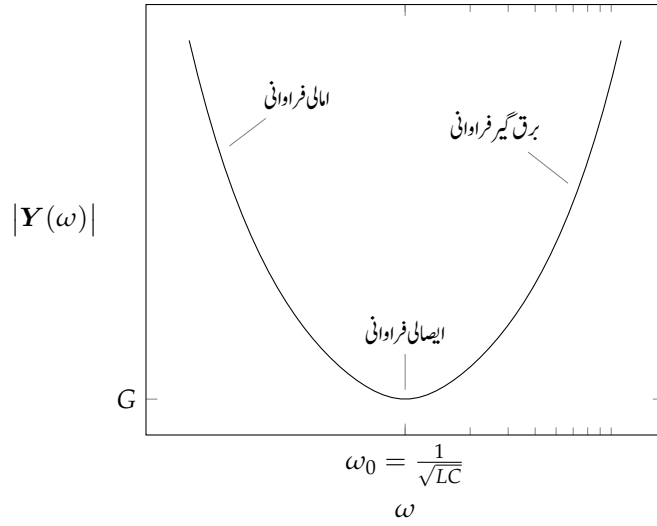
$$(12.64) \quad \frac{\hat{I}}{\hat{V}_d} = Y(j\omega) = G + j\left(\omega C - \frac{1}{\omega L}\right)$$

شکل 12.33 میں اس تبدیلی تفاعل کا حتمی قیمت بالمقابل تعدد خط دکھایا گیا ہے۔ گمکی تعدد پر امالی تاثیر زیادہ غالب ہے جبکہ زیادہ تعدد پر برق گیر تاثیر زیادہ غالب ہے۔ عین گمکی تعدد پر ایصالی فراوانی پائی جاتی ہے۔ شکل 12.34 میں داخلی دباؤ  $\hat{V}_d$  کے حوالے سے متوازی RLC کے دوری سمتیات دکھائے گئے ہیں۔ گمکی تعدد سے کم تعدد پر امالی رو غالب ہے لہذا داخلی دباؤ سے رو پیچھے ہے جبکہ گمکی تعدد سے زیادہ تعدد پر برق گیر رو زیادہ غالب ہے لہذا داخلی دباؤ سے رو آگے ہے۔ عین گمکی تعدد پر داخلی دباؤ اور رو ہم قدم ہیں۔

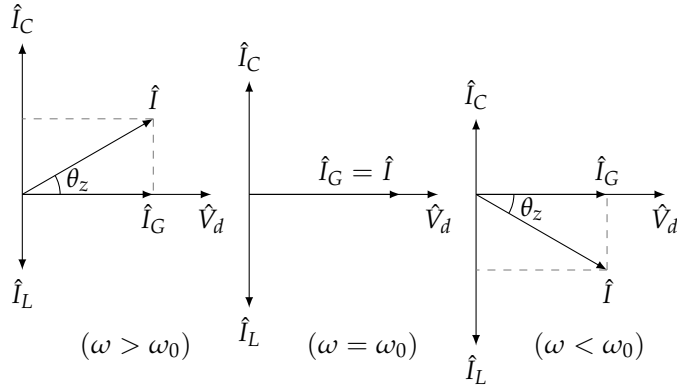
مساوات 12.49 میں معیاری مستقل کی عمومی تعریف بیان کی گئی ہے۔ انہیں اس کو استعمال کرتے ہوئے متوازی RLC دور کا Q دریافت کریں۔

شکل 12.31 میں داخلی دباؤ گمکی تعدد پر تصور کرتے ہوئے  $\hat{V}_d = V_m/0^\circ\text{ V}$  یعنی  $v_d = V_m \cos \omega_0 t\text{ V}$  فرض کریں۔ امالہ گیر کی رو

$$(12.65) \quad \hat{I}_L = \frac{\hat{V}_d}{j\omega_0 L} = \frac{V_m/0^\circ}{j\omega_0 L} = \frac{V_m}{\omega_0 L} \angle -90^\circ$$



شکل 12.33: فراوانی کی مقدار بالمشابہ تعدد۔



شکل 12.34: متوازی RLC کے دوری سمتیات۔

یعنی

$$i_L(t) = \frac{V_m}{\omega_0 L} \cos(\omega_0 t - 90^\circ) = \frac{V_m}{\omega_0 L} \sin \omega_0 t \text{ A}$$

لکھی جائے گی۔ برق گیر اور مزاحمت کی رودرج ذیل لکھی جائے گی۔

$$(12.66) \quad \begin{aligned} \hat{I}_C &= \omega_0 C V_m / 90^\circ \text{ A} \\ \hat{I}_G &= G V_m / 0^\circ \text{ A} \end{aligned}$$

امالہ گیر میں ذخیرہ توانائی

$$(12.67) \quad w_L(t) = \frac{1}{2} L i_L^2(t) = \frac{1}{2} L \left( \frac{V_m}{\omega_0 L} \sin \omega_0 t \right)^2 = \frac{V_m^2}{2\omega_0^2 L} \sin^2 \omega_0 t \text{ J}$$

اور برق گیر میں ذخیرہ توانائی

$$w_C(t) = \frac{1}{2} C v_C^2(t) = \frac{1}{2} C (V_m \cos \omega_0 t)^2 = \frac{C V_m^2}{2} \cos^2 \omega_0 t \text{ J}$$

لکھی جائے گی۔ گمکی تعدد پر  $\omega_0^2 = \frac{1}{LC}$  ہوتا ہے لہذا امالہ گیر کی توانائی کو درج ذیل لکھا جاسکتا ہے۔

$$(12.68) \quad w_L(t) = \frac{V_m^2}{2 \frac{1}{LC} L} \sin^2 \omega_0 t = \frac{C V_m^2}{2} \sin^2 \omega_0 t \text{ J}$$

دور میں کل ذخیرہ توانائی ان دونوں کا مجموعہ ہے

$$(12.69) \quad \begin{aligned} w_{\text{ذخیرہ}} &= w_C(t) + w_L(t) \\ &= \frac{C V_m^2}{2} \cos^2 \omega_0 t + \frac{C V_m^2}{2} \sin^2 \omega_0 t \\ &= \frac{C V_m^2}{2} \end{aligned}$$

جہاں آخری قدم پر  $\cos^2 \theta + \sin^2 \theta = 1$  کا استعمال کیا گیا ہے۔ یوں دور میں کل ذخیرہ توانائی وقت کے ساتھ تبدیل نہیں ہوتی اور اس کی مقدار اٹل ہے۔

آئیں اب گمکی تعدد کے ایک چکر میں توانائی کا ضیاع دریافت کریں۔ امالہ گیر اور برق گیر میں توانائی کا ضیاع ممکن نہیں ہے۔ توانائی صرف  $G$  یعنی  $R$  میں ضائع ہوگی۔ مزاحمت پر  $V_m$  حیطے کا دباؤ لاگو ہے جس کی موثر قیمت  $\frac{V_m}{\sqrt{2}}$  ہے۔ یوں مزاحمت میں طاقی ضیاع درج ذیل ہوگا۔

$$P_G = \frac{\left(\frac{V_m}{\sqrt{2}}\right)^2}{R} = \frac{GV_m^2}{2}$$

گمکی تعدد پر ایک چکر کا دورانیہ  $T = \frac{2\pi}{\omega_0}$  کے برابر ہے جس میں مزاحمتی ضیاع درج ذیل ہوگا۔

$$(12.70) \quad w_{\text{ضیاع}} = TP_G = \frac{2\pi GV_m^2}{2\omega_0}$$

مساوات 12.49 کو استعمال کرتے ہوئے متوازی RLC دور کا معیاری مستقل حاصل کرتے ہیں۔

$$\begin{aligned} Q &= 2\pi \frac{w_{\text{ذخیرہ}}}{w_{\text{ضیاع}}} \\ &= 2\pi \frac{\frac{CV_m^2}{2}}{\frac{2\pi GV_m^2}{2\omega_0}} \\ &= \frac{\omega_0 C}{G} \end{aligned}$$

گمکی تعدد پر  $\omega_0 C = \frac{1}{\omega_0 L}$  ہوتا ہے لہذا متوازی RLC کے معیاری مستقل کو درج ذیل لکھا جاسکتا ہے۔

$$(12.71) \quad Q = \frac{\omega_0 C}{G} = \frac{1}{\omega_0 LG}$$

سلسلہ وار RLC کے  $Q$  کے ساتھ موازنہ کرنے سے آپ دیکھ سکتے ہیں کہ متوازی RLC کا  $Q$  اس کے بالعکس متناسب ہے۔

مساوات 12.65 اور مساوات 12.65 متوازی پرزوں کی رو دیتے ہیں جبکہ مساوات 12.60 منبع کی رو دیتی ہے۔ ان نتائج سے درج ذیل لکھا جاسکتا ہے۔

$$\begin{aligned} I_L &= QI \\ I_C &= QI \\ I_G &= I \end{aligned} \quad (12.72)$$

یوں متوازی RLC دور میں رو کا کردار وہی ہے جو سلسلہ وار RLC میں دباؤ کا تھا۔ متوازی RLC میں  $Q > 1$  کی صورت میں گمکی تعدد پر امالہ گیر اور برق گیر کو رو منبع کی رو سے زیادہ ہوگی۔

مثال 12.15: متوازی جڑے RLC میں  $G = 0.01 \text{ S}$ ،  $L = 1 \text{ mH}$  اور  $C = 10 \mu\text{F}$  ہیں۔ اس کو گمکی تعدد پر  $\hat{V}_d = 22 \angle 0^\circ \text{ V}$  دباؤ فراہم کی جاتی ہے۔ گمکی تعدد اور پروزوں میں رو دریافت کریں۔

حل: گمکی تعدد دریافت کرتے ہیں۔

$$\omega_0 = \frac{1}{\sqrt{LC}} = \frac{1}{\sqrt{10^{-3} \times 10 \times 10^{-6}}} = 10 \text{ krad s}^{-1}$$

یوں پروزوں کی رو درج ذیل ہوگی۔

$$\hat{I}_G = G \hat{V}_d = 0.01 \times 22 \angle 0^\circ = 0.22 \angle 0^\circ \text{ A}$$

$$\hat{I}_L = \frac{\hat{V}_d}{j\omega_0 L} = \frac{22 \angle 0^\circ}{j10000 \times 0.001} = 2.2 \angle -90^\circ \text{ A}$$

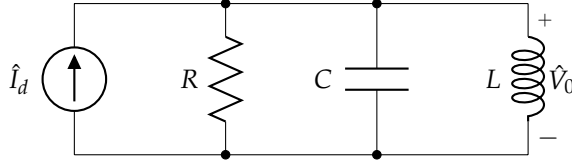
$$\hat{I}_C = j\omega_0 C \hat{V}_d = j10000 \times 10 \times 10^{-5} \times 22 \angle 0^\circ = 2.2 \angle 90^\circ \text{ A}$$

منبع کی روان تینوں کا مجموعہ ہو گا جو  $\hat{I}_G$  کے برابر ہو گا۔

$$\begin{aligned} \hat{I} &= \hat{I}_G + \hat{I}_L + \hat{I}_C \\ &= 0.22 \angle 0^\circ \text{ A} \\ &= \hat{I}_G \end{aligned}$$

اس مثال میں امالی رو اور برق گیر رو کی قیمتیں منبع کی رو سے دس گنا زیادہ ہیں۔

مثال 12.16: شکل 12.35 میں متوازی RLC دور دیا گیا ہے۔ اس کا تبادلی تفاعل  $\frac{\hat{V}}{\hat{I}}$  حاصل کرتے ہوئے نچلا اور بالائی کونا دریافت کریں۔ عرض پٹی بھی حاصل کریں۔



شکل 12.35: مثال 12.16 کا دور۔

حل: دور کی فراوانی

$$Y = G + j(\omega C - \frac{1}{\omega L})$$

استعمال کرتے ہوئے خارجی دباؤ لکھتے ہوئے

$$\begin{aligned} \hat{V}_0 &= \frac{\hat{I}_d}{Y} \\ &= \frac{\hat{I}_d}{G + j(\omega C - \frac{1}{\omega L})} \end{aligned}$$

تبادلی تفاعل حاصل کرتے ہیں۔

$$(12.73) \quad \frac{\hat{V}_0}{\hat{I}_d} = \frac{1}{G + j(\omega C - \frac{1}{\omega L})}$$

تبادلی تفاعل عین گمکی تعدد پر زیادہ سے زیادہ ہوتا ہے۔ یوں گمکی تعدد پر قوسین صفر کے برابر ہوگی جس سے گمکی تعدد لکھی جاسکتی ہے۔

$$(12.74) \quad \omega_0 = \frac{1}{\sqrt{LC}}$$

گمکی تعدد پر مساوات 12.73 میں قوسین صفر کے برابر ہے لہذا اس کو درج ذیل لکھا جاسکتا ہے جو تفاعل کی زیادہ سے زیادہ قیمت ہے۔

$$(12.75) \quad \frac{\hat{V}_0}{\hat{I}_d} = \frac{1}{G}$$

گمکی تعدد پر تبادلی تفاعل کی مقدار زیادہ سے زیادہ مقدار کی  $\frac{1}{\sqrt{2}}$  گنا ہوگی۔ یوں کونوں پر درج ذیل لکھا جاسکتا ہے۔

$$(12.76) \quad \frac{1}{\sqrt{G^2 + (\omega C - \frac{1}{\omega L})^2}} = \left(\frac{1}{G}\right) \left(\frac{1}{\sqrt{2}}\right)$$



دونوں اطراف کا مربع لیتے اور ترتیب دیتے ہوئے درج ذیل حاصل ہوتا ہے

$$(12.77) \quad \omega^2 \mp \omega \frac{G}{C} - \frac{1}{LC} = 0$$

جس کے مثبت تعددی جوابات لکھتے ہیں۔

$$(12.78) \quad \omega_L = -\frac{G}{2C} + \sqrt{\left(\frac{G}{2C}\right)^2 + \frac{1}{LC}}$$

$$(12.79) \quad \omega_H = +\frac{G}{2C} + \sqrt{\left(\frac{G}{2C}\right)^2 + \frac{1}{LC}}$$

ان کونوں سے عرض پٹی حاصل کرتے ہیں۔

$$(12.80) \quad BW = \omega_H - \omega_L = \frac{G}{C} = \frac{1}{RC}$$

معیاری مستقل حاصل کرتے ہیں۔

$$(12.81) \quad Q = \frac{\omega_0}{BW} = \frac{1}{G} \sqrt{\frac{C}{L}} = R \sqrt{\frac{C}{L}}$$

گمکی تعدد، معیاری مستقل اور عرض پٹی کے مساوات استعمال کرتے ہوئے کونوں کی تعدد کو درج ذیل لکھا جاسکتا ہے۔

$$(12.82) \quad \omega_L = \omega_0 \left[ -\frac{1}{2Q} + \sqrt{\frac{1}{(2Q)^2} + 1} \right]$$

$$(12.83) \quad \omega_H = \omega_0 \left[ +\frac{1}{2Q} + \sqrt{\frac{1}{(2Q)^2} + 1} \right]$$

مثال 12.17: متوازی RLC میں  $R = 1 \text{ k}\Omega$ ،  $L = 1 \text{ mH}$  اور  $C = 20 \text{ }\mu\text{F}$  ہیں۔ گمکی تعدد، معیاری مستقل اور عرض پٹی دریافت کریں۔

حل:

$$\omega_0 = \frac{1}{\sqrt{LC}} = \frac{1}{\sqrt{10^{-3} \times 20 \times 10^{-6}}} = 7071 \text{ rad s}^{-1}$$

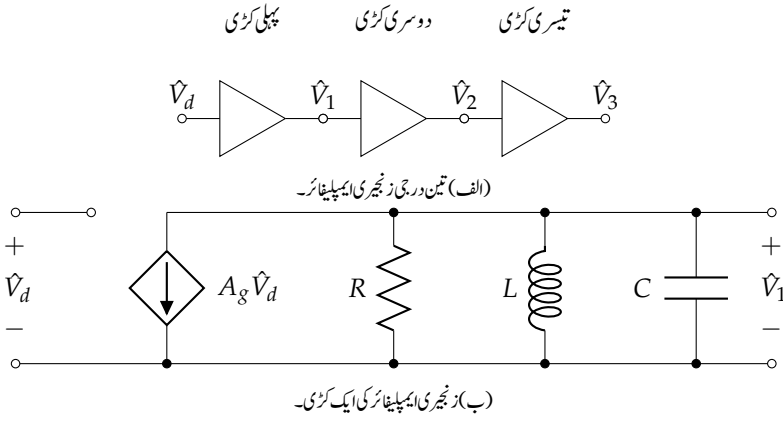
$$Q = R \sqrt{\frac{C}{L}} = 1000 \sqrt{\frac{10^{-3}}{20 \times 10^{-6}}} = 141$$

$$BW = \frac{1}{RC} = \frac{1}{1000 \times 20 \times 10^{-6}} = 50 \text{ rad s}^{-1}$$

مثال 12.18: برقناطیسی امواج<sup>38</sup> کو اینٹینا<sup>39</sup> کے ذریعہ خلاء سے حاصل کرتے ہوئے ہمسر ایمپلیفائر<sup>40</sup> تک پہنچایا جاتا ہے۔ ہمسر ایمپلیفائر مخصوص عرض پٹی کے اشارات کا حیثہ بڑھاتے ہوئے بقایا تعدد کے اشارات کو گھٹاتا ہے۔ تعددی طور پر دو قریبی اشارات کو علیحدہ کرنے کے لئے ضروری ہے کہ ہمسر دور کی عرض پٹی اتنی تنگ ہو کہ اس میں سے صرف درکار اشارات گزر سکے۔ بعض اوقات ایک عدد RLC دور سے اشارات کو علیحدہ کرنا ممکن نہیں ہوتا۔ ایسی صورت میں متعدد ہمسر ایمپلیفائر کو زنجیری جوڑا جاتا ہے جہاں پہلے ایمپلیفائر کا خارجی اشارہ دوسرے ایمپلیفائر کو بطور داخلی اشارہ مہیا کیا جاتا ہے۔ آئیں دیکھیں کہ زنجیری ایمپلیفائر سے کیسے عرض پٹی مزید تنگ کی جاتی ہے۔

شکل 12.36- الف میں زنجیری ایمپلیفائر دکھایا گیا ہے۔ داخلی اشارہ  $\hat{V}_d$  زنجیری ایمپلیفائر کے پہلی کڑی کو مہیا کیا گیا ہے۔ پہلی کڑی کا خارجی اشارہ  $\hat{V}_1$  ہے جو دوسری کڑی کو بطور داخلی اشارہ مہیا کیا گیا ہے۔ اسی طرح دوسری کڑی کا خارجی اشارہ  $\hat{V}_2$  تیسری کڑی کو مہیا کیا گیا ہے۔ شکل-ب میں ایک عدد ہمسر ایمپلیفائر کا مساوی دور دکھایا گیا ہے۔ ہمسر ایمپلیفائر کے دور میں  $\hat{I}_d = -A_g \hat{V}_1$  لینے سے شکل 12.35 حاصل ہوتا ہے لہذا مساوات 12.73 سے پہلے ہمسر ایمپلیفائر کے لئے

$$(12.84) \quad \hat{V}_1 = \frac{-A_g \hat{V}_d}{G + j(\omega C - \frac{1}{\omega L})}$$



شکل 12.36: زنجیری ہمسرا ایمپلیفائر سے عرض پٹی تنگ کی جاتی ہے۔

لکھا جاسکتا ہے۔ پہلے ایمپلیفائر کا خارجی اشارہ  $\hat{V}_1$  ہے جسے دوسرے ایمپلیفائر کو فراہم کیا جاتا ہے لہذا مساوات 12.73 کو دوبارہ استعمال کرتے ہوئے دوسری کڑی کے لئے درج ذیل لکھا جاسکتا ہے

$$\hat{V}_2 = \frac{-A_g \hat{V}_1}{G + j(\omega C - \frac{1}{\omega L})}$$

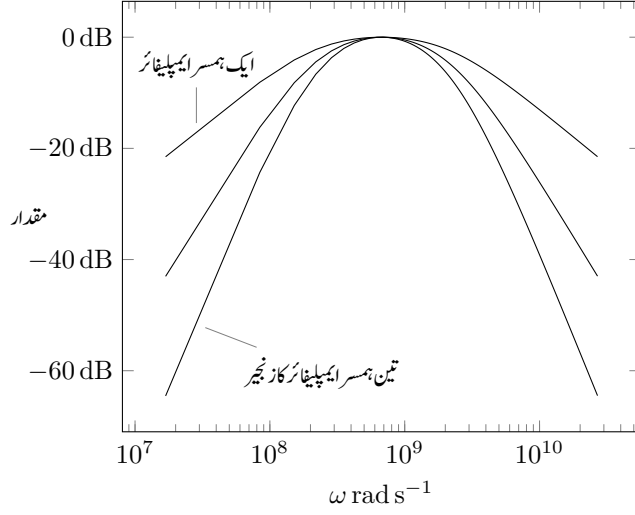
جس میں مساوات 12.84 سے  $\hat{V}_1$  پر کرتے ہوئے درج ذیل ملتا ہے۔

$$(12.85) \quad \hat{V}_2 = \frac{(-A_g)^2 \hat{V}_d}{\left[G + j(\omega C - \frac{1}{\omega L})\right]^2}$$

اسی طرح تیسری کڑی کے لئے درج ذیل لکھ سکتے ہیں۔

$$(12.86) \quad \hat{V}_3 = \frac{(-A_g)^3 \hat{V}_d}{\left[G + j(\omega C - \frac{1}{\omega L})\right]^3}$$

ہمسر دور میں  $A_g = 5 \text{ mS}$ ،  $R = 200 \Omega$ ،  $L = 2.2 \mu\text{H}$  اور  $C = 5 \text{ pF}$  لیتے ہوئے مساوات 12.84، 12.85 اور 12.86 کے مقداری خط شکل 12.37 میں کھینچے گئے ہیں۔ آپ دیکھ سکتے ہیں کہ زیادہ تعداد میں ہمسرا ایمپلیفائرز زنجیری جوڑنے سے عرض پٹی کم ہوتی ہے۔ اس مثال میں تمام ہمسرا ایمپلیفائرز کی گمکی تعداد پر انفرانش دباوا کا  $A_v = 1 \text{ V V}^{-1}$  ہے۔ یہاں رک کر تسلی کر لیں کہ شکل 12.36 میں ایمپلیفائر کو استعمال کئے



شکل 12.37: زنجیری ایک پلٹاؤ سے عرض پٹی ننگ کرنے کا عمل۔

بغیر تین عدد متوازی RLC ادوار کو زنجیری جوڑنے سے مساوات 12.86 نہیں ملتی۔ بغیر ایک پلٹاؤ کے تین مزاحمت متوازی بڑ جاتے ہیں جن کا مجموعہ  $\frac{R}{3}$  ہو گا۔ اسی طرح تین امالہ گیر متوازی جوڑنے سے  $\frac{L}{3}$  ملتا ہے اور تین برق گیر متوازی جوڑنے سے  $3C$  ملتا ہے۔ یوں صرف RLC زنجیری جوڑنے سے ایک عدد RLC ملتا ہے۔

مشق 12.13: متوازی RLC میں  $1 \text{ k}\Omega$ ،  $L = 0.5 \text{ mH}$  اور  $C = 10 \mu\text{F}$  ہیں۔ گہمی تعدد، معیاری مستقل اور عرض پٹی دریافت کریں۔

جوابات:  $\omega_0 = 14.142 \text{ krad s}^{-1}$ ،  $Q = 141.42$ ،  $\text{BW} = 100 \text{ rad s}^{-1}$

مشق 12.14: متوازی  $RLC$  میں  $R = 4 \text{ k}\Omega$  ،  $BW = 2 \text{ krad s}^{-1}$  اور  $Q = 80$  ہیں۔ گمکی تعدد  $\omega_0$  ، امالہ اور برق گیر دریافت کریں۔

جوابات:  $\omega_0 = 160 \text{ krad s}^{-1}$  ،  $L = 0.31 \text{ mH}$  ،  $C = 0.125 \text{ }\mu\text{F}$

عموماً امالہ گیر کی اندرونی مزاحمت کو نظر انداز نہیں کیا جاسکتا۔ متوازی جڑے امالہ گیر اور برق گیر کا بہتر مساوی دور شکل 12.38 میں دکھایا گیا ہے جس کی داخلی فراوانی درج ذیل ہے۔

$$\begin{aligned} Y(j\omega) &= j\omega C + \frac{1}{R + j\omega L} \\ &= j\omega C + \frac{R - j\omega L}{R^2 + \omega^2 L^2} \\ &= \frac{R}{R^2 + \omega^2 L^2} + j \left( \omega C - \frac{\omega L}{R^2 + \omega^2 L^2} \right) \end{aligned}$$

گمکی تعدد  $\omega'_0$  پر فراوانی حقیقی مقدار ہوگی اور خیالی جزو صفر کے برابر ہوگا یعنی

$$(12.87) \quad \omega'_0 C - \frac{\omega'_0 L}{R^2 + \omega'^2_0 L^2} = 0$$

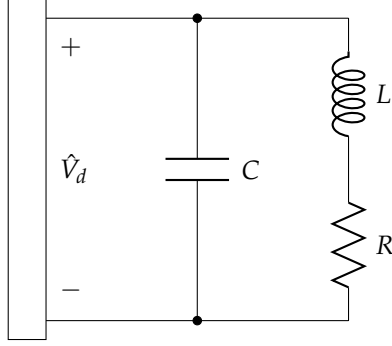
جس سے گمکی تعدد حاصل ہوتی ہے۔

$$(12.88) \quad \omega'_0 = \sqrt{\frac{1}{LC} - \frac{R^2}{L^2}}$$

مثال 12.19: شکل 12.38 میں  $L = 5 \text{ mH}$  اور  $C = 2.2 \text{ }\mu\text{F}$  ہیں۔ تعدد  $\omega_0$  اور  $\omega'_0$  کو  $R = 20 \text{ }\Omega$  اور  $R = 0.5 \text{ }\Omega$  کے لئے حاصل کریں۔

حل: دی گئی معلومات سے

$$\begin{aligned} \omega_0 &= \frac{1}{\sqrt{LC}} \\ &= \frac{1}{\sqrt{5 \times 10^{-3} \times 2.2 \times 10^{-6}}} \\ &= 9535.6 \text{ rad s}^{-1} \end{aligned}$$



شکل 12.38: متوازی LC کا بہتر مساوی دور۔

حاصل ہوتا ہے۔ مزاحمت  $R = 20 \Omega$  کے لئے

$$\begin{aligned}\omega'_0 &= \sqrt{\frac{1}{LC} - \frac{R^2}{L^2}} \\ &= \sqrt{\frac{1}{5 \times 10^{-3} \times 2.2 \times 10^{-6}} - \left(\frac{20}{5 \times 10^{-3}}\right)^2} \\ &= 8655 \text{ rad s}^{-1}\end{aligned}$$

اور مزاحمت  $R = 0.5 \Omega$  کے لئے

$$\begin{aligned}\omega'_0 &= \sqrt{\frac{1}{LC} - \frac{R^2}{L^2}} \\ &= \sqrt{\frac{1}{5 \times 10^{-3} \times 2.2 \times 10^{-6}} - \left(\frac{0.5}{5 \times 10^{-3}}\right)^2} \\ &= 9534.1 \text{ rad s}^{-1}\end{aligned}$$

حاصل ہوتے ہیں۔

آپ دیکھ سکتے ہیں کہ کم مزاحمت پر  $\omega'_0$  اور  $\omega_0$  تقریباً برابر ہوتے ہیں۔

آئیں گمکی دور کی معلومات کو بوڈاخط کے ساتھ جوڑیں۔ سلسلہ وار RLC کی فراوانی درج ذیل ہے۔

$$\begin{aligned} Y(j\omega) &= \frac{1}{R + j\left(\omega L - \frac{1}{\omega C}\right)} \\ (12.89) \quad &= \frac{j\omega C}{(j\omega)^2 LC + j\omega RC + 1} \end{aligned}$$

مساوات 12.30 کا نسب نما بوڈاخط کا دو درجی جزو دیا گیا ہے

$$(j\omega\tau)^2 + 2\zeta(j\omega\tau) + 1$$

جہاں  $\tau = \frac{1}{\omega_0}$  کے برابر ہے لہذا دو درجی جزو کو درج ذیل لکھا جاسکتا ہے۔

$$(12.90) \quad \frac{(j\omega)^2}{\omega_0^2} + j\frac{2\zeta\omega}{\omega_0} + 1$$

مساوات 12.90 کا مساوات 12.89 کے نسب نما سے موازنہ کرتے ہوئے درج ذیل لکھا جاسکتا ہے۔

$$\begin{aligned} \omega_0^2 &= \frac{1}{LC} \\ \frac{2\zeta}{\omega_0} &= RC \\ \zeta &= \frac{R}{2} \sqrt{\frac{C}{L}} \end{aligned}$$

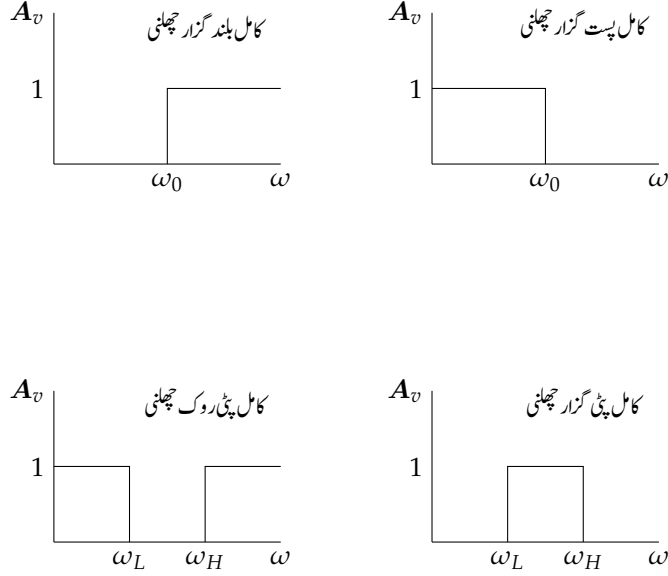
مساوات 12.37 سلسلہ وار RLC کا Q دیتی ہے

$$(12.91) \quad Q = \frac{1}{R} \sqrt{\frac{L}{C}}$$

لہذا درج ذیل لکھا جاسکتا ہے۔

$$(12.92) \quad Q = \frac{1}{2\zeta}$$

مساوات 12.89 کا صفر  $\omega = 0$  پر پایا جاتا ہے لہذا اس کے بوڈاخط کی ابتدائی ڈھلوان مثبت ہیں ڈیسی بیل فی دہائی ہے۔ اب Q کی مقدار درج بالا مساوات کے ذریعہ  $\zeta$  سے بندھی ہے لہذا زیادہ  $\zeta$  کی صورت میں Q کی قیمت کم ہوگی جبکہ کم  $\zeta$  کی صورت میں Q کی قیمت زیادہ ہوگی۔ شکل 12.26 میں Q بالمقابل تعدد دکھایا گیا ہے جہاں آپ دیکھ سکتے ہیں کہ زیادہ Q کی صورت میں عرض پٹی تنگ ہو جاتی ہے۔ یہی اثر بوڈاخط میں  $\omega_0$  پر بطور چوٹی نظر آتا ہے۔



شکل 12.39: کامل چھلنیوں کے خط۔

## 12.5 چھلنی

اشارات کو تعدد کی بنیاد پر علیحدہ کرنے کے لئے چھلنی<sup>41</sup> استعمال کی جاتی ہے۔ ان میں پست گزار، بلند گزار، پٹی گزار اور پٹی روک چھلنی نہایت مقبول ہیں جن کے خط شکل 12.39 میں دکھائے گئے ہیں۔ پست گزار چھلنی<sup>42</sup> کسی مخصوص تعدد  $\omega_0$  سے کم تعدد کے اشارات کو گزرنے دیتی ہے جبکہ بقایا تعدد کے اشارات کو روکتی ہے۔ بلند گزار چھلنی<sup>43</sup> کسی مخصوص تعدد  $\omega_0$  سے زیادہ تعدد کے اشارات کو گزرنے دیتی ہے جبکہ بقایا تعدد کے اشارات کو روکتی ہے۔ پٹی گزار چھلنی<sup>44</sup> کسی مخصوص تعددی پٹی  $\omega_L$  تا  $\omega_H$  کے اشارات کو گزرنے دیتی ہے جبکہ بقایا تعدد کے اشارات کو روکتی ہے۔ پٹی روک چھلنی<sup>45</sup> کسی مخصوص تعددی پٹی  $\omega_L$  تا  $\omega_H$  کے اشارات کو روکتی ہے جبکہ بقایا تعدد کے اشارات کو گزرنے دیتی ہے۔

<sup>41</sup> filter

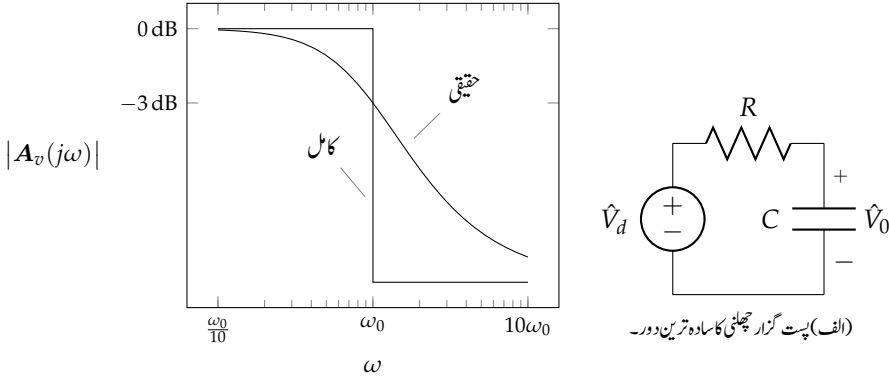
<sup>42</sup> low-pass filter

<sup>43</sup> high-pass filter

<sup>44</sup> band-pass filter

<sup>45</sup> band-stop filter





(ب) کامل اور حقیقی پست گزار چھلنی کے خط۔

شکل 12.40: پست گزار چھلنی۔

شکل 12.40-الف میں پست گزار چھلنی کا سادہ ترین دور دکھایا گیا ہے جس کی افزائش دباؤ  $\hat{V}_d$  اور  $\hat{V}_0$  درج ذیل ہے

$$A_v(j\omega) = \frac{1}{1 + j\omega RC}$$

$$= \frac{1}{1 + j\omega\tau}$$

جہاں  $RC = \tau$  وقتی مستقل<sup>46</sup> کہلاتا ہے۔ افزائش دباؤ کی مقدار  $\tau$  خصلت<sup>47</sup> اور زاویائی خصلت<sup>48</sup> لکھتے ہیں۔

$$|A_v(\omega)| = \frac{1}{\sqrt{1 + \omega^2\tau^2}}$$

$$\angle A_v(\omega) = -\tan^{-1} \omega\tau$$

شکل 12.40-ب میں کامل پست گزار چھلنی اور شکل-الف کے حقیقی چھلنی کے خط دکھائے گئے ہیں۔ اگرچہ ہم چاہتے ہیں کہ پست گزار چھلنی کسی مخصوص تعدد  $\omega_0$  سے کم تعدد کو جوں کا توں گزارے اور اس سے بلند تعدد کو قطعاً نہیں گزارے، حقیقی ادوار ایسا کرنے سے قاصر ہوتے ہیں۔ کامل پست گزار چھلنی انقطاعی تعدد<sup>49</sup>  $\omega_0$  سے کم تعدد کو مکمل طور پر گزارتی ہے جبکہ اس سے زیادہ تعدد کو مکمل طور پر روکتی ہے۔ حقیقی پست گزار چھلنی بھی یہی کچھ کرتی ہے البتہ انقطاعی تعدد کے قریبی تعدد پر اس کی کارکردگی کامل نہیں ہوتی۔ جیسا شکل-ب میں دکھایا گیا ہے، انقطاعی تعدد  $\omega_0$  پر

<sup>46</sup> time constant

<sup>47</sup> magnitude characteristic

<sup>48</sup> phase characteristic

<sup>49</sup> cut-off frequency

حقیقی پست گزار چھلنی کی افزائش دباو  $A_v$  تین ڈیسی بیل کم ہوتی ہے۔ جیسا آپ نے بوڈا خطوط میں پڑھا تھا، انقطاعی تعدد کی تعریف یہ ہے کہ اس پر اشارے کی طاقت نصف ہو جائے۔ اشارے کا حیطہ  $\frac{1}{\sqrt{2}}$  گنا ہونے سے اس کی طاقت آدھی ہوتی ہے۔ جیسا شکل-ب سے واضح ہے، انقطاعی تعدد سے دور تعدد پر حقیقی پست گزار چھلنی کی کارکردگی یقیناً قابل تعریف ہے۔ انقطاعی تعدد سے دس گنا کم  $\frac{\omega_0}{10}$  یا دس گنا زیادہ  $10\omega_0$  تعدد پر اس کی کارکردگی تقریباً کامل چھلنی جیسے ہے۔

شکل 12.40-الف میں دئے پست گزار چھلنی کو اس طرح سمجھا جاسکتا ہے کہ کم تعدد پر برق گیر کی رکاوٹ زیادہ ہوتی ہے لہذا تقسیم دباو کے کلیے سے ظاہر ہے کہ برق گیر پر زیادہ دباو پایا جائے گا۔ اس کے برعکس زیادہ تعدد پر برق گیر کی رکاوٹ کم ہوتی ہے لہذا تقسیم دباو کے کلیے کے تحت اس پر دباو گھٹ جائے گا۔ انتہائی بلند تعدد پر برق گیر کی رکاوٹ انتہائی کم ہو گی اور اس پر دباو قابل نظر انداز ہو گا۔

شکل 12.41-الف میں بلند گزار چھلنی کا سادہ ترین دور دکھایا گیا ہے جس کی تبدلی تفاعل لکھتے ہیں جہاں  $RC = \tau$  لکھا گیا ہے۔

$$\begin{aligned} A_v(j\omega) &= \frac{R}{R + \frac{1}{j\omega C}} \\ &= \frac{j\omega C}{1 + j\omega RC} \\ &= \frac{j\omega\tau}{1 + j\omega\tau} \end{aligned}$$

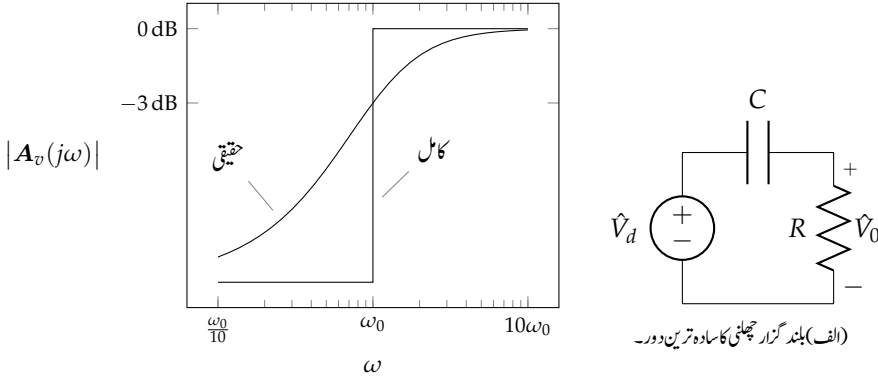
تبدلی تفاعل کی مقداری اور زاویائی تفاعل لکھتے ہیں۔

$$(12.93) \quad |A_v(\omega)| = \frac{\omega\tau}{\sqrt{1 + \omega^2\tau^2}}$$

$$(12.94) \quad \angle A_v(\omega) = 90^{\text{circ}} - \tan^{-1} \omega\tau$$

شکل-ب میں تبدلی تفاعل کا مقداری خط دکھایا گیا ہے۔ ساتھ ہی کامل بلند گزار چھلنی کا خط بھی دکھایا گیا ہے۔ یہاں بھی حقیقی چھلنی کی افزائش دباو انقطاعی تعدد پر اشارے کی طاقت آدھی کرتی ہے۔

شکل 12.41-الف میں دئے بلند گزار چھلنی کو اس طرح سمجھا جاسکتا ہے کہ صفر تعدد کے قریب برق گیر کی رکاوٹ انتہائی زیادہ ہو گی لہذا تقسیم دباو کے کلیے سے ظاہر ہے کہ مزاحمت پر دباو انتہائی کم ہو گا۔ اس کے برعکس انتہائی زیادہ تعدد پر برق گیر کی رکاوٹ انتہائی کم ہو گی لہذا تقسیم دباو کے کلیے کے تحت پورا دباو مزاحمت پر پایا جائے گا۔



(ب) کامل اور حقیقی بلند گزار چھلنی کے خط۔

شکل 12.41: بلند گزار چھلنی۔

پٹی گزار چھلنی کا سادہ ترین دور شکل 12.42 میں دکھایا گیا ہے۔ اس کی افزائش دباؤ لکھتے ہوئے

$$\begin{aligned}
 A_v(j\omega) &= \frac{R}{R + j\left(\omega L - \frac{1}{\omega C}\right)} \\
 &= \frac{\omega RC}{\omega RC + j(\omega^2 LC - 1)}
 \end{aligned}
 \quad (12.95)$$

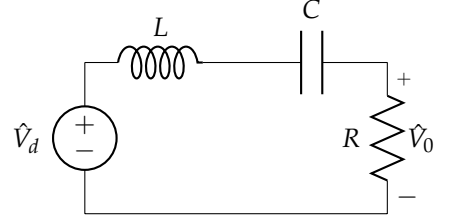
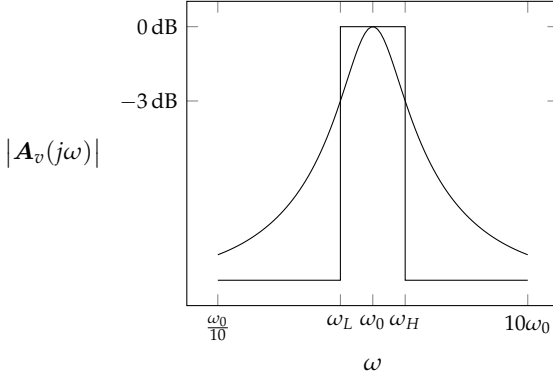
مقداری تفاعل لکھتے ہیں

$$|A_v(\omega)| = \frac{\omega RC}{\sqrt{(\omega RC)^2 + (\omega^2 LC - 1)^2}} \quad (12.96)$$

جس کو شکل-ب میں دکھایا گیا ہے۔ اس کی کارکردگی یوں سمجھی جاسکتی ہے کہ درمیانی تعدد یعنی گمکی تعدد  $\omega_0$  پر  $\omega L - \frac{1}{\omega C} = 0$  ہوتا ہے لہذا داخلی اشارہ جوں کا توں مزاحمت پر پہنچتا ہے۔ گمکی تعدد سے بہت کم تعدد پر برق گیر کی رکاوٹ بہت بڑھ جاتی ہے لہذا تقسیم دباؤ کے کلیے سے ظاہر ہے کہ مزاحمت پر دباؤ بہت کم ہوگی۔ اسی طرح گمکی تعدد سے بہت زیادہ تعدد پر امالی رکاوٹ کی قیمت بہت بڑھ جاتی ہے جس کی وجہ سے مزاحمت پر دباؤ بہت کم ہوتی ہے۔

مساوات 12.95 میں صرف  $\omega$  متغیر مقدار ہے۔ افزائش دباؤ کی زیادہ سے زیادہ قیمت اس تعدد  $\omega_0$  پر حاصل ہوگی جس پر نسب نما میں قوسین کی قیمت صفر کے برابر ہو یعنی

$$\omega_0 = \frac{1}{\sqrt{LC}} \quad (12.97)$$



(الف) پٹی گزار چھلنی کا سادہ ترین دور۔

(ب) کامل اور حقیقی پٹی گزار چھلنی کے خط۔

شکل 12.42: پٹی گزار چھلنی۔

اس تعدد پر  $|A_v(\omega_0)| = 1 \text{ V V}^{-1}$  حاصل ہوتا ہے۔ انقطاعی تعدد پر افزائش دباؤ  $|A_v(\omega_0)|$  کے  $\frac{1}{\sqrt{2}}$  گنا ہوگی۔ یوں مساوات 12.96 کو استعمال کرتے ہوئے انقطاعی تعدد کے لئے درج ذیل لکھا جاسکتا ہے۔

$$\frac{\omega RC}{\sqrt{(\omega RC)^2 + (\omega^2 LC - 1)^2}} = \frac{1}{\sqrt{2}}$$

دونوں جانب مربع لیتے اور ترتیب دیتے ہوئے درج ذیل

$$(\omega^2 LC - 1)^2 = (\omega RC)^2$$

یعنی

$$\omega^2 LC - 1 = \pm \omega RC$$

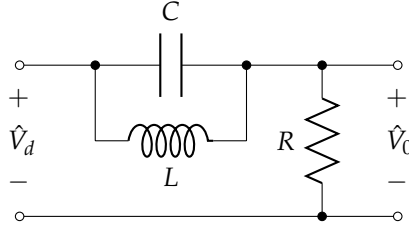
یا

$$\omega^2 LC \pm \omega RC - 1 = 0$$

ملتا ہے۔ اس دو درجی مساوات کے حل لکھتے ہیں

$$(12.98) \quad \omega_L = \frac{-\frac{R}{L} + \sqrt{\left(\frac{R}{L}\right)^2 + \frac{1}{LC}}}{2}$$

$$(12.99) \quad \omega_H = \frac{+\frac{R}{L} + \sqrt{\left(\frac{R}{L}\right)^2 + \frac{1}{LC}}}{2}$$



شکل 12.43: دندانه چھلنی کی مدد سے 50 Hz سے چھٹکارا حاصل کیا جاتا ہے۔

جن سے پٹی گزار چھلنی کی عرض پٹی BW حاصل ہوتی ہے۔

$$(12.100) \quad BW = \omega_H - \omega_L = \frac{R}{L}$$

مثال 12.20: اگر آپ کو حساس اشارات کے ساتھ کام کرنا پڑے تو آپ دیکھیں گے کہ ان میں واپڈا کا 50 Hz پایا جاتا ہے جس سے چھٹکارا حاصل کرنا نہایت مشکل ہوتا ہے۔ موبائل ٹیلیفون کے زمانے سے پہلے زمینی تار والے ٹیلیفون استعمال کئے جاتے تھے جن کی تاروں میں عموماً 50 Hz کا غیر مطلوب اشارہ گھس جاتا تھا جو شہد کی مکھی کی طرح ہوں ہوں کرتا سنائی دیتا تھا۔

میری بیٹی عفت بریجنڈ نے انجینئرنگ کے آخری سال میں برقی قلب نگار<sup>50</sup> بنایا۔ انہیں مسلسل 50 Hz کے غیر مطلوب اشارے کا سامنہ کرنا پڑا۔ پچاس ہرٹز کے غیر مطلوب اشارے کی خاصیت یہ ہے کہ اس کی تعدد اٹل ہے۔ اس سے دندانه چھلنی<sup>51</sup> کی مدد سے چھٹکارا حاصل کیا جاتا ہے۔ شکل میں دندانه چھلنی کا دور دکھایا گیا ہے۔ تار کے ٹیلیفون میں R سپیکر کی مزاحمت ہوگی۔ برقی قلب نگار میں R اگلے دور کا داخلی تھون مزاحمت ہوگا۔

متوازی امالہ گیر اور برقی گیر کی رکاوٹ Z لکھتے ہیں۔

$$Z = \frac{(j\omega L)(\frac{1}{j\omega C})}{j\omega L + \frac{1}{j\omega C}} \\ = \frac{\frac{L}{C}}{j\omega L + \frac{1}{j\omega C}}$$

electrocardiogram, ecg<sup>50</sup>  
notch filter<sup>51</sup>

تقسیم دباؤ کے کلیے سے خارجی دباؤ لکھتے ہیں

$$\begin{aligned}\hat{V}_0 &= \left( \frac{R}{R + Z} \right) \hat{V}_d \\ &= \frac{R \hat{V}_d}{R + \frac{\frac{1}{j\omega C}}{1 + j\omega L}}\end{aligned}$$

جس سے درج ذیل تبادلی تفاعل حاصل ہوتا ہے۔

$$\frac{\hat{V}_0}{\hat{V}_d} = \frac{(j\omega)^2 + \frac{1}{LC}}{(j\omega)^2 + \left( \frac{j\omega}{RC} \right) + \frac{1}{LC}}$$

غیر مطلوب اشارے سے چھٹکارے کے لئے ضروری ہے کہ 50 Hz یعنی  $100\pi \text{ rad s}^{-1}$  پر تبادلی تفاعل صفر کے برابر ہو۔ یوں تبادلی تفاعل کا شمار کنندہ اس تعدد پر صفر کے برابر درکار ہے جس سے درج ذیل شرط حاصل ہوتی ہے۔

$$(12.101) \quad \omega_0 = \frac{1}{\sqrt{LC}} = 100\pi$$

یوں برق گیر کی قیمت  $100 \mu\text{F}$  چنتے ہوئے امالہ کی قیمت  $101.3 \text{ mH}$  حاصل ہوتی ہے۔ دندانہ چھلنی کی کارکردگی دیکھنے کی خاطر داخلی اشارے  $v_d(t)$  کو 50 Hz اور 1000 Hz کے سائن نما اشارات کا مجموعہ تصور کرتے ہیں۔

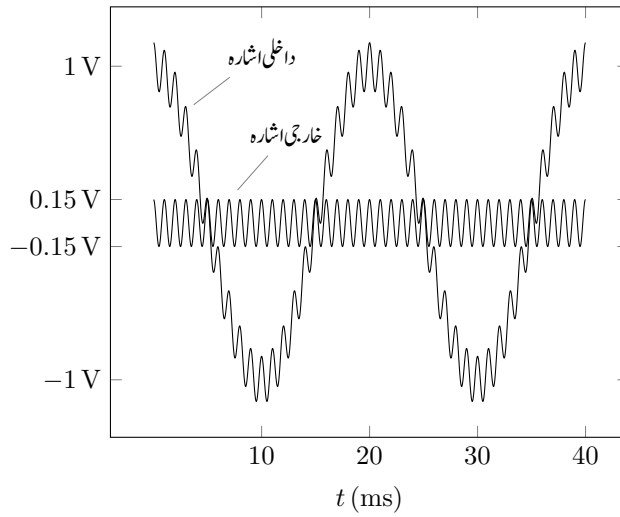
$$v_d(t) = 1 \cos(2\pi 50t) + 0.15 \cos(2\pi 1000t)$$

مزاہمت کو  $32 \Omega$  لیتے ہوئے شکل 12.44 میں داخلی اور خارجی اشارات دکھائے گئے ہیں۔ آپ دیکھ سکتے ہیں کہ 50 Hz سے مکمل چھٹکارا حاصل ہوا ہے۔

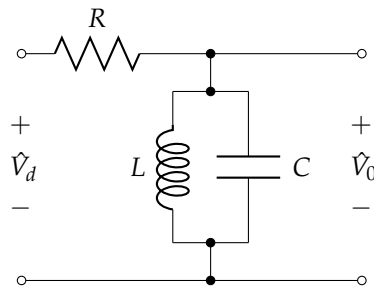
مشق 12.15: شکل 12.45 میں تبادلی تفاعل حاصل کرتے ہوئے چھلنی کی قسم دریافت کریں۔

جواب: یہ دندانہ گزار چھلنی ہے جو ایک مخصوص تعدد کو گزرنے دیتی ہے۔

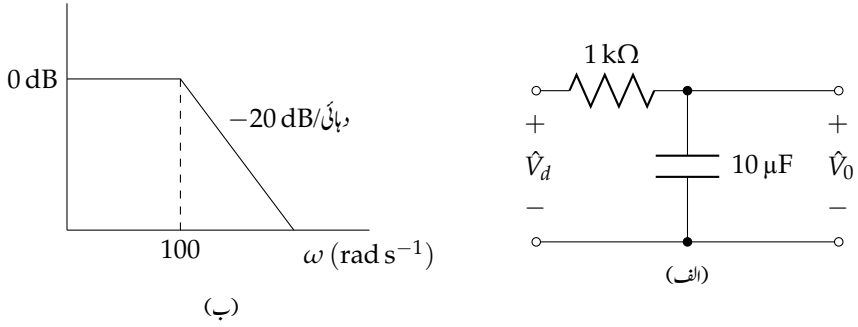
$$\frac{\hat{V}_0}{\hat{V}_d} = \frac{1}{1 + \frac{RC}{L} \left( j\omega L + \frac{1}{j\omega C} \right)}$$



شکل 12.44: دندانہ چھلنی کا داخلی اور خارجی اشارہ۔



شکل 12.45: مشتق 12.15 کی چھلنی۔

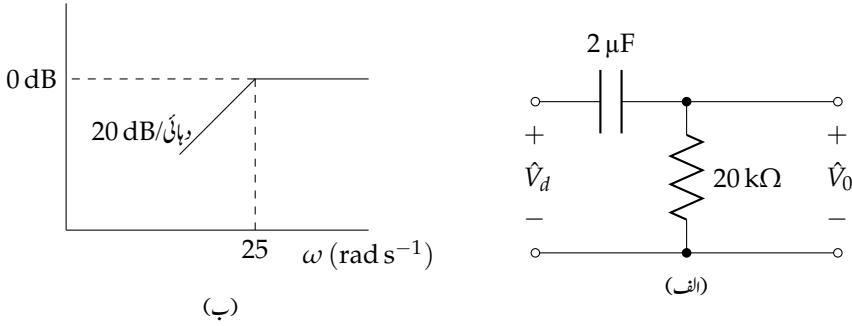


شکل 12.46: مشق 12.16 کی چھانی۔

مشق 12.16: شکل 12.46 میں دکھائے چھانی کا بوڈا مقداری خط کھینچیں۔

مشق 12.17: شکل 12.47 میں دکھائے چھانی کا بوڈا مقداری خط کھینچیں۔





شکل 12.47: مشق 12.17 کی چھلنی۔

### عامل چھلنی

گزشتہ حصے میں پست گزار، بلند گزار، پٹی گزار اور پٹی روک چھلنی پر غور کیا گیا جنہیں غیر عامل پرزوں یعنی مزاحمت، امالہ اور برق گیر سے تخلیق دیا گیا۔ ان تمام چھلنیوں کو عامل پرزوں مثلاً حسابی ایمپلیفائر کی مدد سے بھی تخلیق دیا جاسکتا ہے۔ عامل پرزے استعمال کرتے ہوئے اشارے کا حیطہ بڑھایا بھی جاسکتا ہے۔ آئیں حسابی ایمپلیفائر سے انہیں تخلیق دیں۔

شکل 12.48- الف میں منفی ایمپلیفائر دکھایا گیا ہے جس کا تبادلی تفاعل درج ذیل ہے۔

$$A_v(j\omega) = \frac{\hat{V}_0}{\hat{V}_d} = -\frac{Z_2}{Z_1}$$

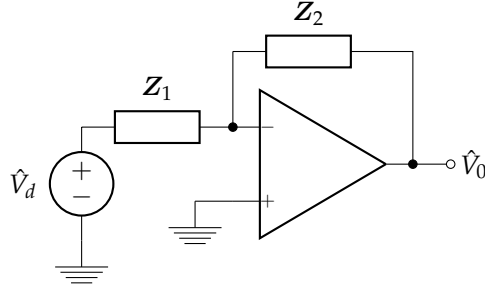
شکل 12.48- ب میں  $Z_1$  کی جگہ  $R_1$  نسب کیا گیا ہے جبکہ  $Z_2$  کی جگہ مزاحمت  $R_2$  اور برق گیر  $C$  متوازی جوڑے گئے ہیں لہذا

$$Z_1 = R_1$$

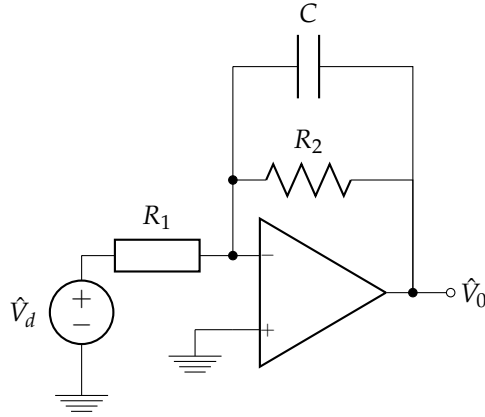
$$Z_2 = \frac{R_2}{1 + j\omega R_2 C}$$

ہوں گے جن سے تبادلی تفاعل درج ذیل ملتا ہے جو پست گزار چھلنی کا تفاعل ہے۔ آپ دیکھ سکتے ہیں کہ داخلی اشارے کا حیطہ  $-\frac{R_2}{R_1}$  گنا بڑھایا گیا ہے اور انتظامی تعدد  $\omega_0 = \frac{1}{R_2 C}$  ہے۔

$$(12.102) \quad A_v(j\omega) = \frac{-\frac{R_2}{R_1}}{1 + j\omega R_2 C}$$



(الف)



(ب)

شکل 12.48: منفی ایملیفائر۔

شکل 12.49- الف میں مثبت ایملیفائر دکھایا گیا ہے جس کا تبدیلی تفاعل

$$\begin{aligned} A_v(j\omega) &= \frac{\hat{V}_0}{\hat{V}_d} \\ &= 1 + \frac{Z_2}{Z_1} \end{aligned}$$

ہے۔ شکل 12.49-ب میں رکاوٹ کی جگہ نسب پرزے دکھائے گئے ہیں جہاں سے

$$Z_1 = \frac{1}{j\omega C_1}$$

$$Z_2 = \frac{R}{1 + j\omega RC_2}$$

لکھا جاسکتا ہے۔ یوں تبدیلی تفاعل درج ذیل ہو گا جہاں آخری قدم پر  $\omega_1 = \frac{1}{R(C_1+C_2)}$  اور  $\omega_2 = \frac{1}{RC_2}$  لکھے گئے ہیں۔ چونکہ  $\omega_1 < \omega_2$  ہے لہذا یہ تفاعل بلند گزار چھلنی کا تفاعل ہے۔

$$A_v(j\omega) = 1 + \frac{\frac{R}{1+j\omega RC_2}}{\frac{1}{j\omega C_1}}$$

$$= \frac{1 + j\omega R(C_1 + C_2)}{1 + j\omega RC_2}$$

$$= \frac{1 + j\frac{\omega}{\omega_1}}{1 + j\frac{\omega}{\omega_2}}$$

### سوالات

سوال 12.1: شکل 12.50 میں داخلی رکاوٹ  $Z(s)$  حاصل کریں۔

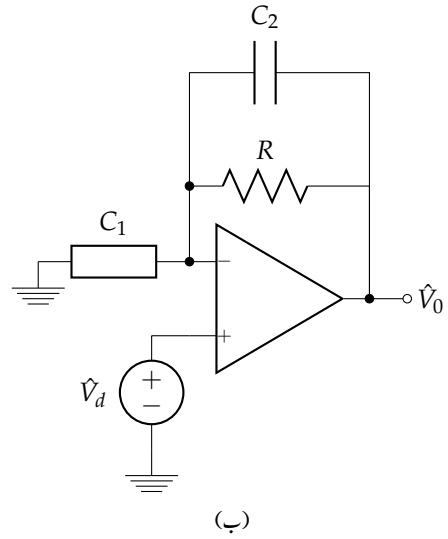
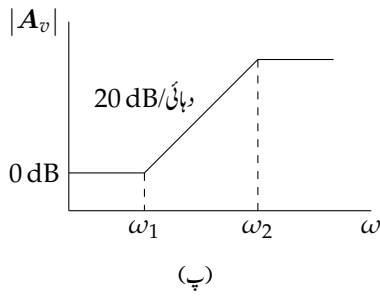
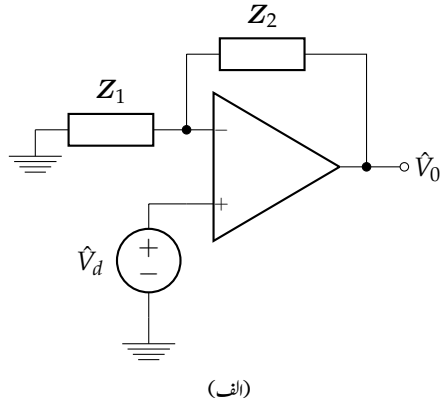
$$Z(s) = R_1 \frac{sR_2L}{s^2R_2LC + sL + R_2} \text{ جواب:}$$

سوال 12.2: شکل 12.51 میں داخلی رکاوٹ  $Z(s)$  حاصل کریں۔

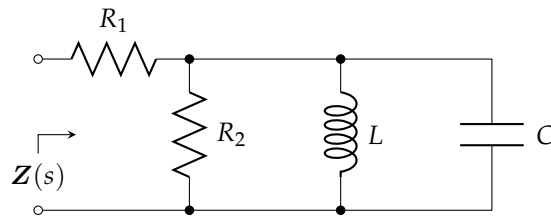
$$Z(s) = \frac{sL_1}{s^2L_1C_1 + 1} + \frac{s^2L_2C_2 + 1}{sC_2} \text{ جواب:}$$

سوال 12.3: شکل 12.51 میں تبدیلی تفاعل  $\frac{V_0(s)}{V_d(s)}$  لکھیں۔

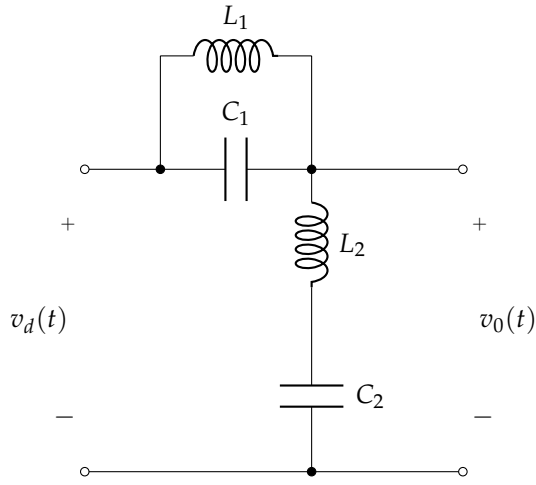
$$\frac{V_0(s)}{V_d(s)} = \frac{s^4L_1L_2C_1C_2 + s^2(L_1C_1 + L_2C_2) + 1}{s^4L_1L_2C_1C_2 + s^2*(L_1C_1 + L_2C_2 + L_1C_2) + 1} \text{ جواب:}$$



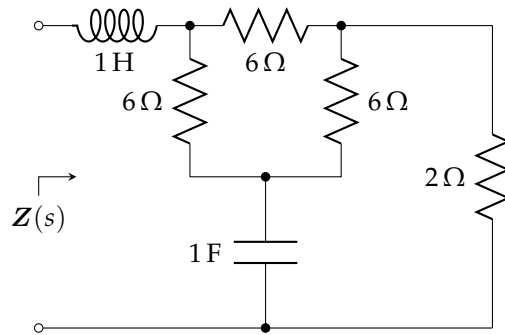
شکل 12.49: ثبت ایملیناژ۔



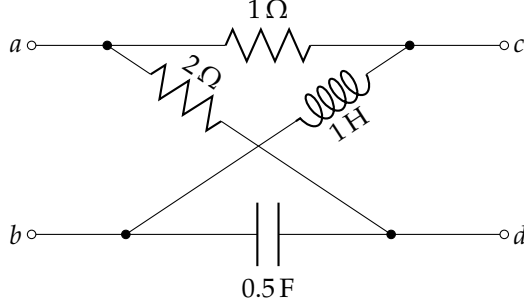
شکل 12.50: سوال 12.1 کا دور۔



شکل 12.51: سوال 12.2 اور سوال 12.3 کا دور۔



شکل 12.52: سوال 12.4 کا دور۔



شکل 12.53: سوال 12.5 کا دور۔

سوال 12.4: شکل 12.52 کی داخلی رکاوٹ  $Z(s)$  دریافت کریں۔

جواب:  $Z(s) = \frac{6s^2 + 21s + 6}{6s + 1}$

سوال 12.5: شکل 12.53 میں  $c$  اور  $d$  کو کھلے سر رکھتے ہوئے  $a$  اور  $b$  کے مابین رکاوٹ دریافت کریں۔

جواب:  $Z = \frac{2s+2}{s+2}$

سوال 12.6: شکل 12.53 میں  $c$  اور  $d$  کو آپس میں قصر دور کرتے ہوئے  $a$  اور  $b$  کے مابین رکاوٹ دریافت کریں۔

جواب:  $Z : \frac{2s^2 + 6s + 4}{3s^2 + 6}$

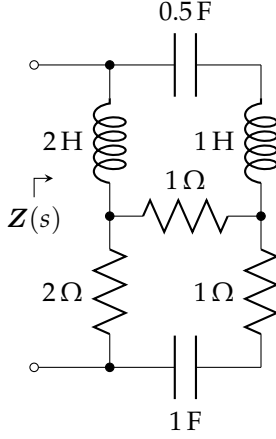
سوال 12.7: شکل 12.53 میں  $c$  اور  $d$  کے مابین  $1\Omega$  مزاحمت نسب کرتے ہوئے  $a$  اور  $b$  کے مابین رکاوٹ دریافت کریں۔

جواب:  $Z(s) = \frac{4s^2 + 10s + 6}{4s^2 + 3s + 8}$

سوال 12.8: شکل 12.54 میں داخلی رکاوٹ  $Z(s)$  دریافت کریں۔

جواب:  $Z(s) = \frac{8s^4 + 12s^3 + 26s^2 + 14s + 4}{12s^3 + 6s^2 + 9s + 2}$

سوال 12.9: تبدیلی تفاعل  $H(j\omega) = \frac{1}{(j\omega + 1)(0.1j\omega + 1)}$  کا بوڈا خط کھینچیں۔



شکل 12.54: سوال 12.8 کا دور۔

سوال 12.10: تبدلی تفاعل  $H(j\omega) = \frac{100j\omega}{(j\omega+1)(j\omega+10)(j\omega+50)}$  کا بوڈا خط کھینچیں۔

سوال 12.11: تبدلی تفاعل  $H(j\omega) = \frac{100}{(j\omega)^2(j\omega+100)}$  کا بوڈا خط کھینچیں۔

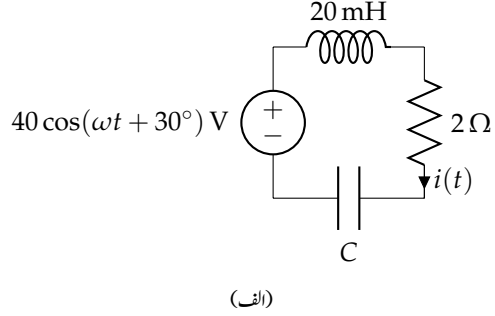
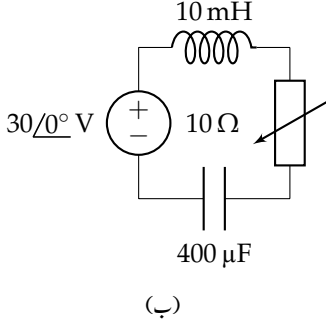
سوال 12.12: تبدلی تفاعل  $H(j\omega) = \frac{500(j\omega+2)(j\omega+100)}{-\omega^2(j\omega+1000)^2}$  کا بوڈا خط کھینچیں۔

سوال 12.13: شکل 12.55-الف میں منبع کی تعدد  $\omega$  قابل تبدیل ہے۔ دور کی قدرتی لمبی تعدد  $500 \text{ rad s}^{-1}$  ہونے کی صورت میں C کی قیمت کا تخمینہ لگائیں۔ قدرتی تعدد  $\omega_0$  پر دور میں رو  $i(t)$  دریافت کریں۔ تعدد  $2\omega_0$  اور  $\frac{\omega_0}{2}$  پر بھی رو دریافت کریں۔

جوابات:  $2.640 \cos(250t + 112.4^\circ) \text{ A}$  ،  $2.640 \cos(1000t - 52.4^\circ) \text{ A}$  ،  $20 \cos(500t + 30^\circ) \text{ A}$

سوال 12.14: شکل 12.55-ب میں عرض پٹی دریافت کریں۔ متغیر مزاحمت کی قیمت تبدیل کرتے ہوئے عرض پٹی آدھی کریں۔ مزاحمت کی قیمت کیا ہوگی؟

جوابات:  $R = 5 \Omega$  ،  $BW = 1000 \text{ rad}$



شکل 12.55: سوال 12.13 اور سوال 12.13 کے ادوار۔

سوال 12.15: ایک سلسلہ وار RLC دور کی گئی تعدد  $\omega_0 = 2 \text{ krad s}^{-1}$  ہے جبکہ  $C = 40 \mu\text{F}$  اور گئی تعدد پر کل رکاوٹ  $2.2 \Omega$  ہے۔ مزاحمت اور امالہ کی قیمت دریافت کریں۔ دور کی عرض پٹی اور معیاری مستقل بھی حاصل کریں۔

جوابات:  $Q = 5.682$  ،  $BW = 352 \text{ rad}$  ،  $L = 6.25 \text{ mH}$  ،  $R = 2.2 \Omega$

سوال 12.16: سلسلہ وار RLC دور کا معیاری مستقل 120 اور گئی تعدد  $15000 \text{ rad s}^{-1}$  ہے۔ دور کی عرض پٹی، بلند انقطاعی تعدد اور پست انقطاعی تعدد دریافت کریں۔

جوابات:  $\omega_L = 14938 \text{ rad s}^{-1}$  ،  $\omega_H = 15063 \text{ rad s}^{-1}$  ،  $BW = 125 \text{ rad}$

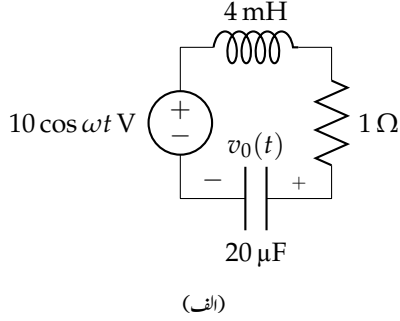
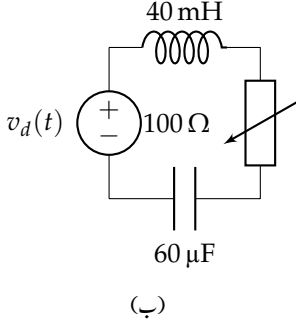
سوال 12.17: شکل 12.56-الف میں گئی تعدد  $\omega_0$  ، معیاری مستقل  $Q$  ، عرض پٹی  $BW$  اور بلند انقطاعی تعدد حاصل کریں۔ زیادہ سے زیادہ  $v_0(t)$  بھی دریافت کریں۔

جوابات:  $BW = 250 \text{ rad}$  ،  $Q = 14.1$  ،  $\omega_0 = 3536 \text{ rad s}^{-1}$  ،  $v_{0\text{تر}} = 141.51 \text{ V}$  ،  $\omega_H = 3663 \text{ rad s}^{-1}$

سوال 12.18: شکل 12.56-ب میں  $v_d(t) = 20 \cos \omega t \text{ V}$  ہے۔ قدرتی تعدد، معیاری مستقل، عرض پٹی اور گئی تعدد پر دور میں طاقت کا ضیاع حاصل کریں۔

جوابات:  $p = 2 \text{ W}$  ،  $BW = 2500 \text{ rad}$  ،  $Q = 0.26$  ،  $\omega_0 = 645 \text{ rad s}^{-1}$





شکل 12.56: سوال 12.17 اور سوال 12.18 کے ادوار۔

سوال 12.19: متوازی RLC کی گمکی تعدد  $\omega_0 = 1000 \text{ rad s}^{-1}$  اور گمکی تعدد پر کل رکاوٹ  $Z = 10 \Omega$  ہے۔ دور میں  $C = 20 \mu\text{F}$  ہے۔ آپ سے گزارش ہے کہ  $R$ ،  $L$ ،  $Q$  اور  $\text{BW}$  دریافت کریں۔

جوابات:  $\text{BW} = 5 \text{ krad}$ ،  $Q = 0.2$ ،  $R = 10 \Omega$ ،  $L = 50 \text{ mH}$

سوال 12.20: متوازی RLC کی گمکی تعدد  $10 \text{ krad s}^{-1}$  اور گمکی تعدد پر فراوانی  $Y = 1 \text{ mS}$  ہے۔ دور میں  $C = 1.5 \mu\text{F}$  ہے۔ امالہ  $L$  اور مزاحمت  $R$  معلوم کریں۔

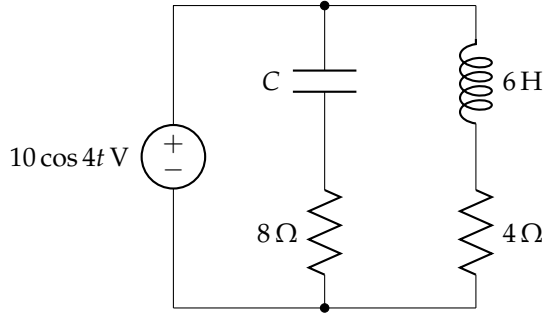
جوابات:  $R = 1 \text{ k}\Omega$ ،  $L = 6.67 \text{ mH}$

سوال 12.21: متوازی RLC کو متغیر تعدد،  $4 \text{ A}$  کے منبع سے طاقت فراہم کیا گیا ہے۔ دور میں  $R = 500 \Omega$ ،  $L = 80 \text{ mH}$  اور  $C = 10 \mu\text{F}$  ہیں۔ دور کی عرض پٹی، انتظامی تعدد اور انتظامی تعدد پر دور کا دباؤ حاصل کریں۔

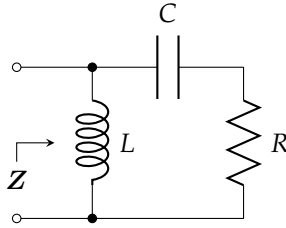
جوابات:  $\text{BW} = 200 \text{ rad}$ ،  $\omega_H = 1222 \text{ rad s}^{-1}$ ،  $\omega_L = 1022 \text{ rad s}^{-1}$ ،  $1414 \text{ V}$

سوال 12.22: ایک متوازی RLC دور کی گمکی تعدد  $1 \text{ Mrad s}^{-1}$  اور عرض پٹی  $100 \text{ rad}$  ہے۔ گمکی تعدد پر دور کی کل رکاوٹ  $2000 \Omega$  ہے۔ دور کی امالہ، برق گیر گنجائش اور معیاری مستقل دریافت کریں۔

جوابات:  $Q = 10000$ ،  $C = 5 \mu\text{F}$ ،  $L = 0.2 \mu\text{H}$



شکل 12.57: سوال 12.24 کا دور۔



شکل 12.58: سوال 12.25 کا دور۔

سوال 12.23:  $100 \Omega$  ،  $100 \mu\text{F}$  اور  $L$  کو متوازی جوڑا گیا ہے۔ دور کی گمکی تعدد  $1000 \text{ rad s}^{-1}$  ہے۔ دور کو  $i_d(t) = \cos 1000t + \cos 1500t \text{ A}$  منبع سے طاقت مہیا کیا گیا ہے۔ امالہ  $L$  ، معیاری مستقل، عرض پٹی  $BW$  اور  $Q$  حاصل کریں۔ دور پر دباؤ  $v_0(t)$  بھی حاصل کریں۔

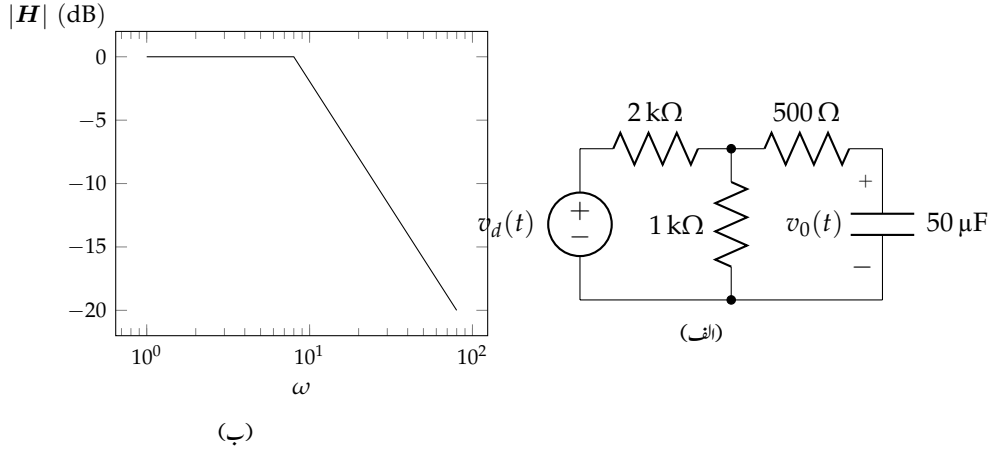
جوابات:  $Q = 10$  ،  $BW = 100 \text{ rad}$  ،  $L = 10 \text{ mH}$  ،  
 $v_0(t) = 100 \cos 1000t + 11.9 \cos(1500t - 83^\circ) \text{ V}$

سوال 12.24: شکل 12.57 میں گمکی تعدد پر ہے۔ برقی گیر گنجائش  $C$  دریافت کریں۔

جوابات:  $C = \frac{37 \mp \sqrt{793}}{768} \text{ F}$

سوال 12.25: شکل 12.58 کے گمکی تعدد کی مساوات حاصل کریں۔

جوابات:  $\omega_0 = \frac{1}{\sqrt{|C^2 R^2 - CL|}}$



شکل 12.59: سوال 12.26 کا دور۔

سوال 12.26: شکل 12.59-الف کا تبادلی تقاعل  $\frac{V_0(j\omega)}{V_d(j\omega)}$  لکھیں اور اس کا بوڈا مقداری خط کھینچیں۔

جواب:  $\frac{V_0(j\omega)}{V_d(j\omega)} = \frac{1}{1+j\frac{\omega}{8}}$ ، بوڈا مقداری خط شکل-ب میں دکھایا گیا ہے۔

سوال 12.27: شکل 12.60-الف کا تبادلی تقاعل  $\frac{V_0(\omega)}{V_d(\omega)}$  لکھیں۔ چسائی کی قسم لکھیں۔

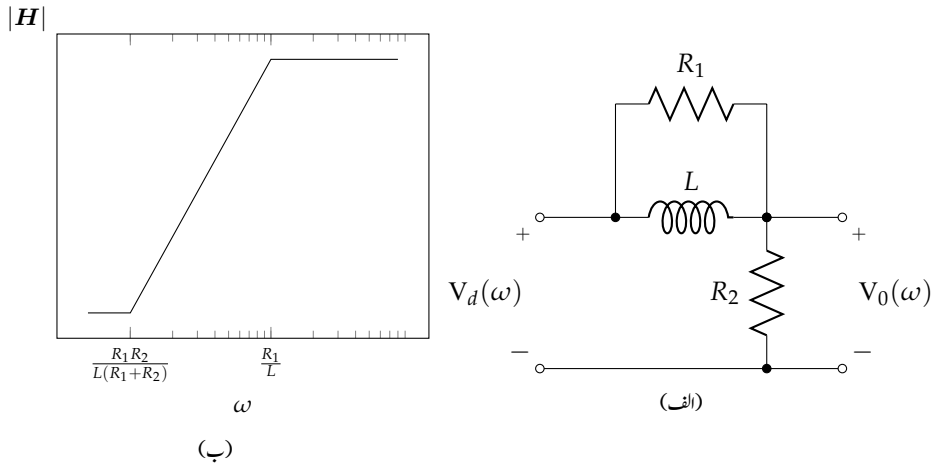
جواب:  $H = \frac{R_2 L(j\omega + \frac{R_1}{L})}{j\omega + \frac{R_1 R_2}{L(R_1 + R_2)}}$ ، بلند گزار چسائی۔

سوال 12.28: شکل 12.61 کا تبادلی تقاعل  $\frac{V_0(\omega)}{V_d(\omega)}$  لکھیں۔

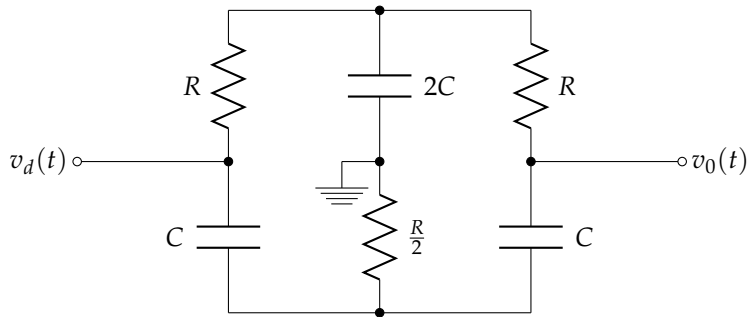
جواب:  $\frac{-\omega^2 + \frac{1}{R^2 C^2}}{-\omega^2 + \frac{j4\omega}{RC} + \frac{1}{R^2 C^2}}$

سوال 12.29: شکل 12.62 کا تبادلی تقاعل  $\frac{V_0(\omega)}{V_d(\omega)}$  لکھیں۔

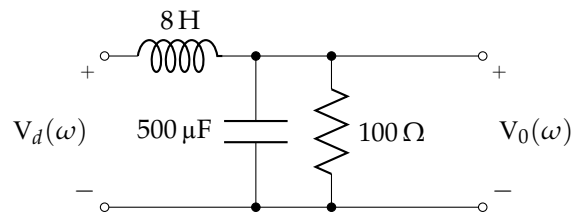
جواب:  $H = \frac{250}{-\omega^2 + j20\omega + 250}$



شکل 12.60: سوال 12.27 کا دور



شکل 12.61: سوال 12.28 کا دور



شکل 12.62: سوال 12.29 کا دور